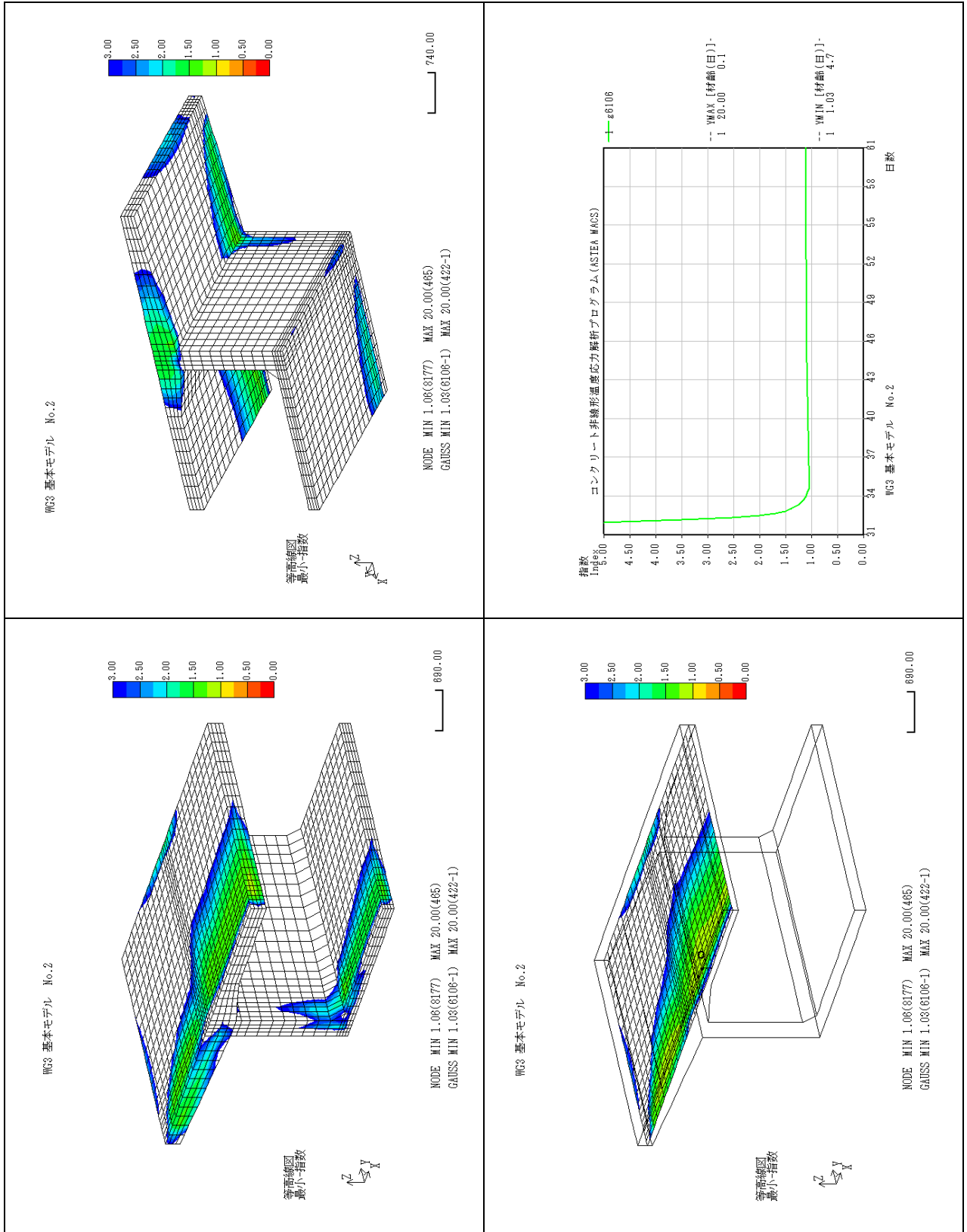


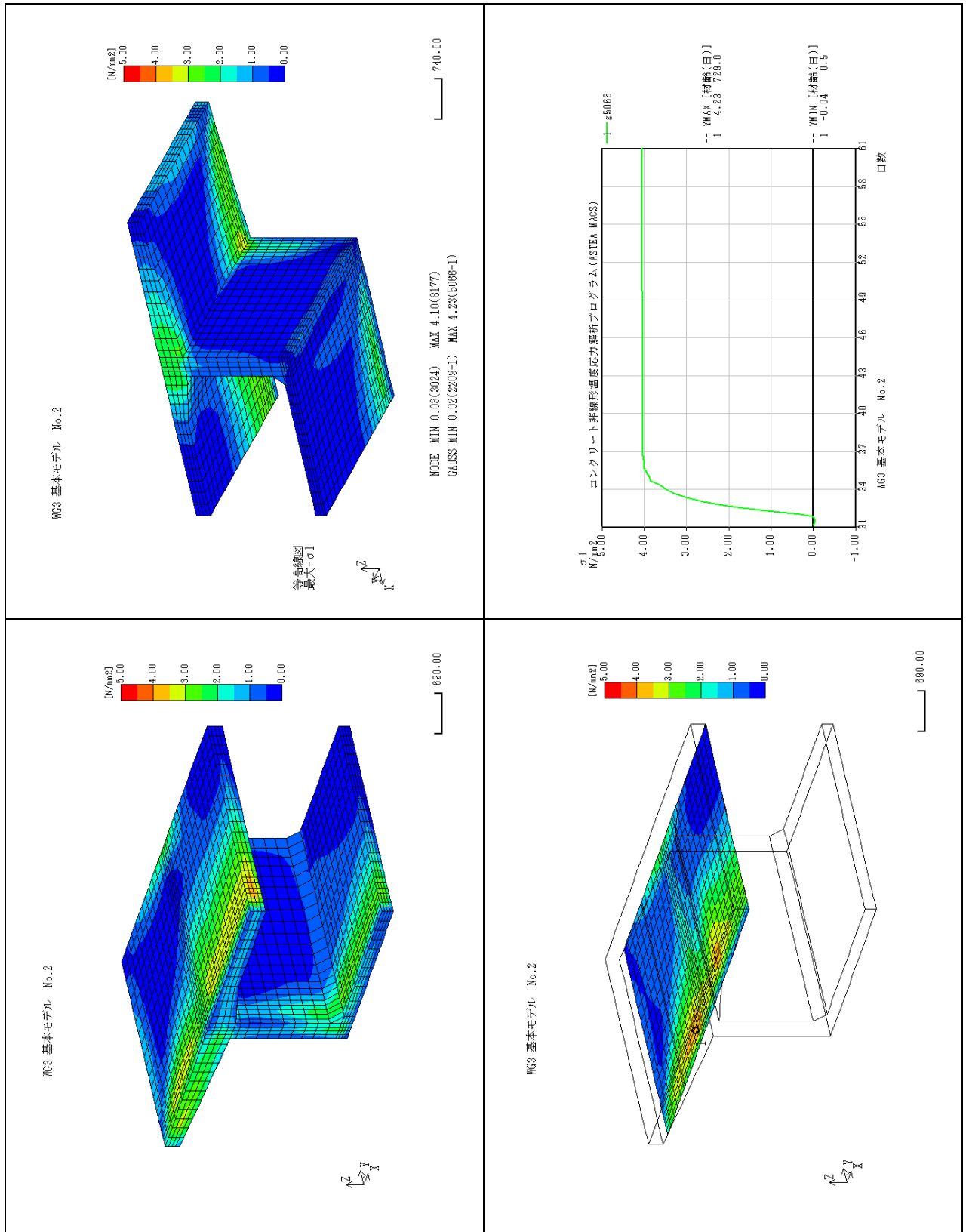
参考資料3：パラメータ解析データ（分割施工における新旧打継目のひび割れ）

- ケース 01. 温度 30℃
- ケース 02. 温度 5℃
- ケース 03. セメント量 350 kg/m³
- ケース 04. 養生 10 日
- ケース 05. メタル型枠
- ケース 06. 引張応力最少組合せ
- ケース 07. 基本モデル（表 3.5.1 パラメータ解析の条件設定参照）
- ケース 08. 張出先端モデル
- ケース 09. 中央閉合モデル
- ケース 10. 桁高 6m
- ケース 11. 幅員 7.6m
- ケース 12. ウェブ厚 0.6m
- ケース 13. 下床版厚 0.5m
- ケース 14. ブロック長 2.0m

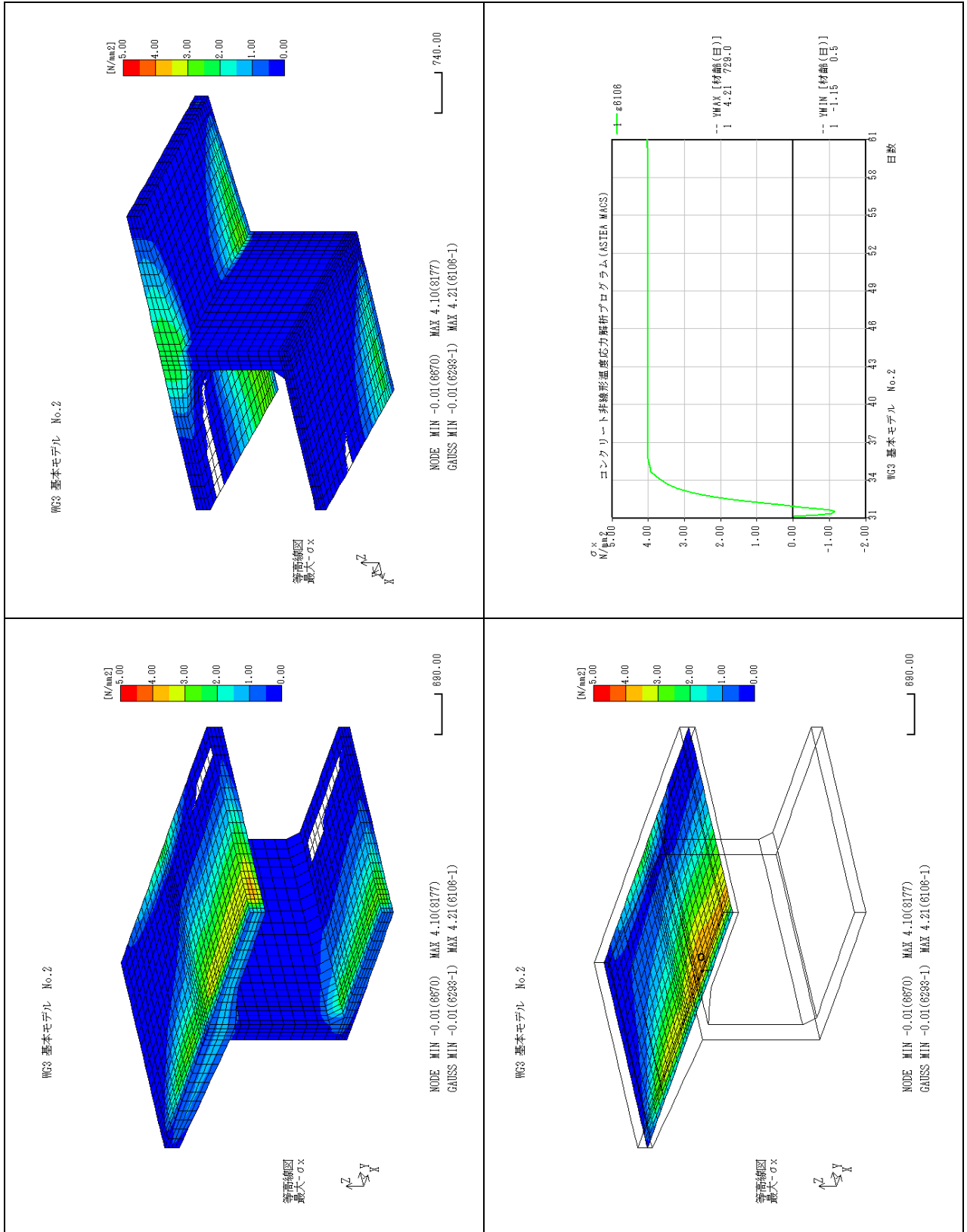
参表-3.1.1.2 指数結果



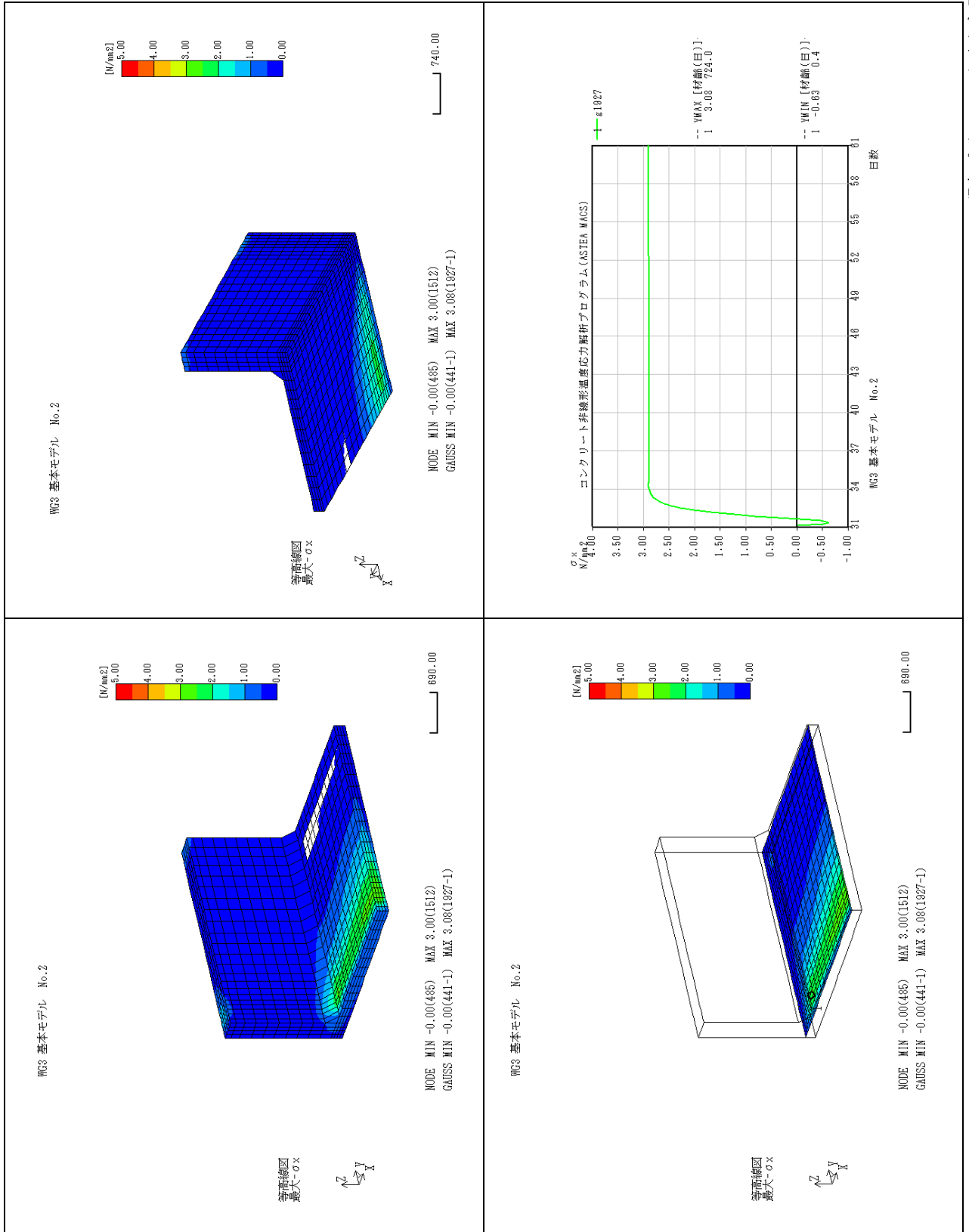
参表-3. 1. 3 主応力結果



参表-3.1.4 上床版着目 成分応力 (σ_x) 結果

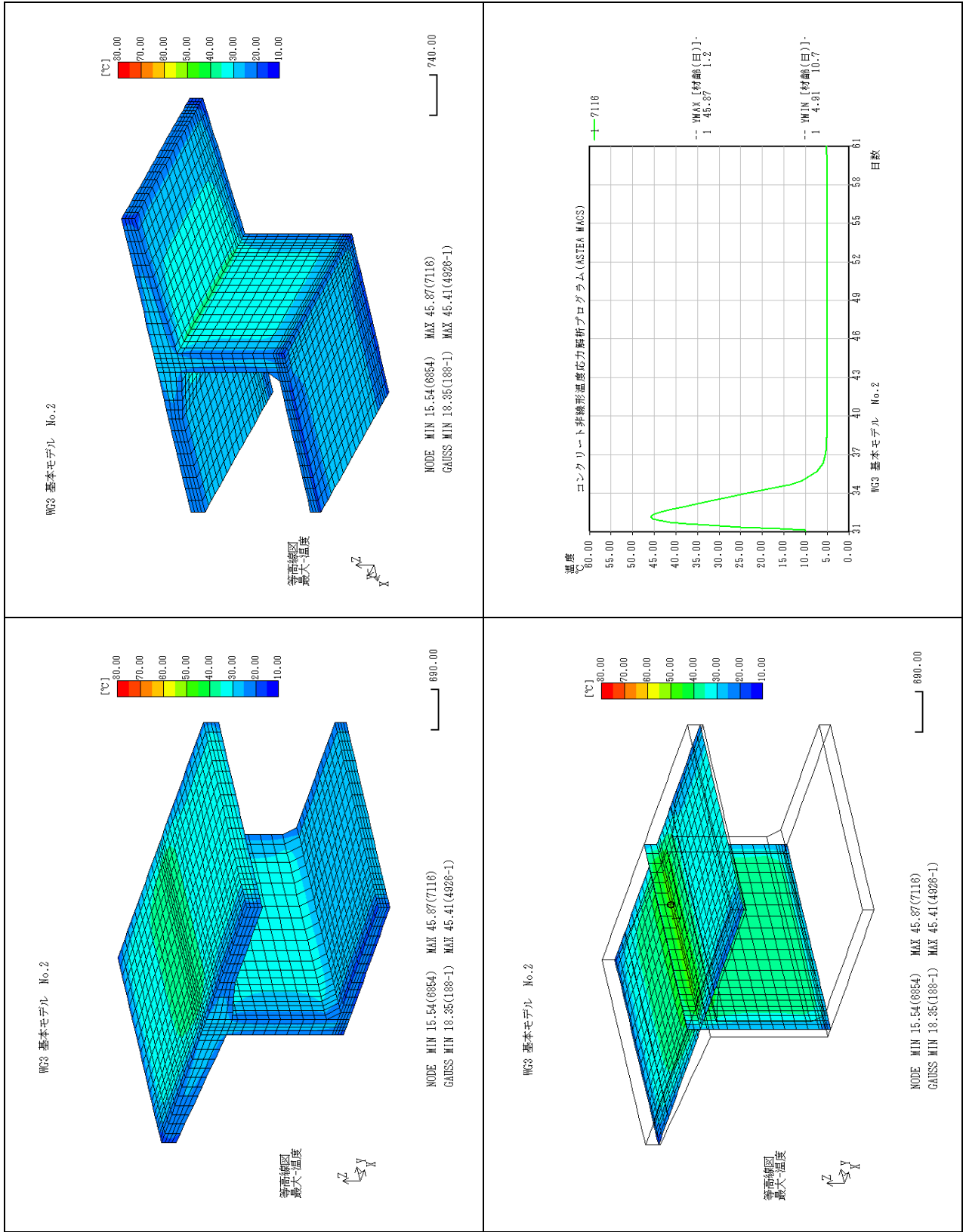


参表-3.1.1.6 下床版着目 成分応力 (σ_x) 結果

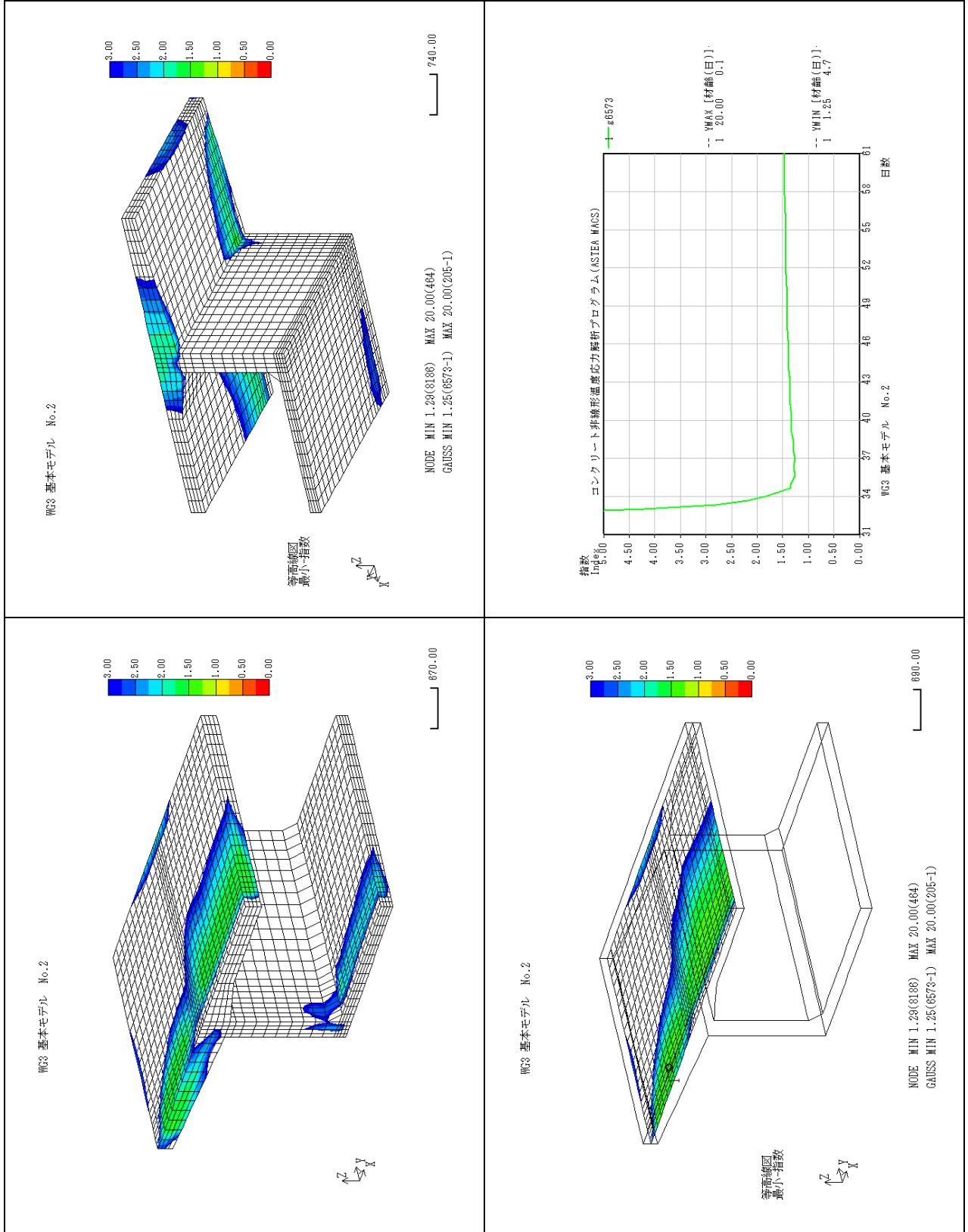


2. 温度5°C(d-0 a-1-3)

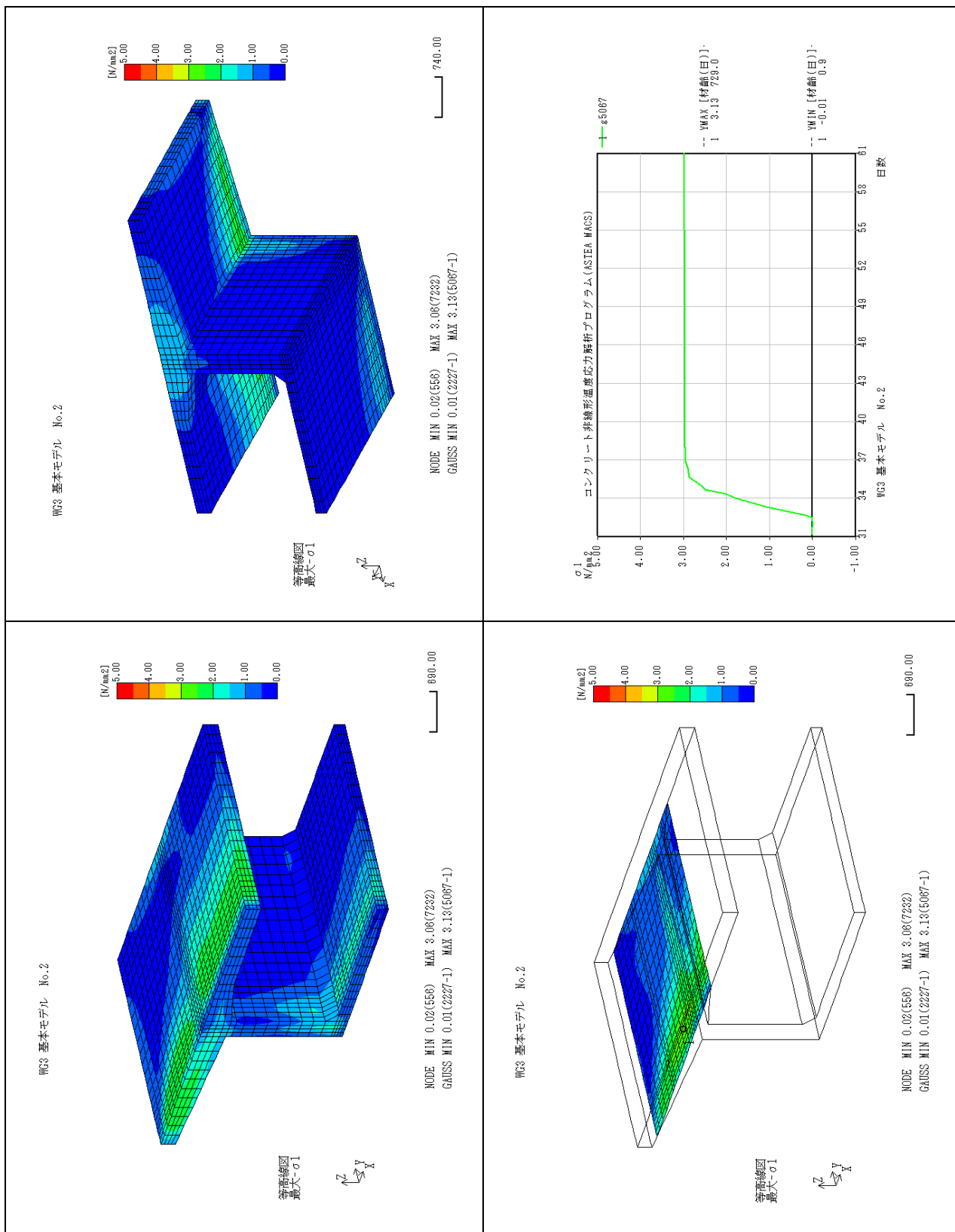
参考-3.2.1 温度結果



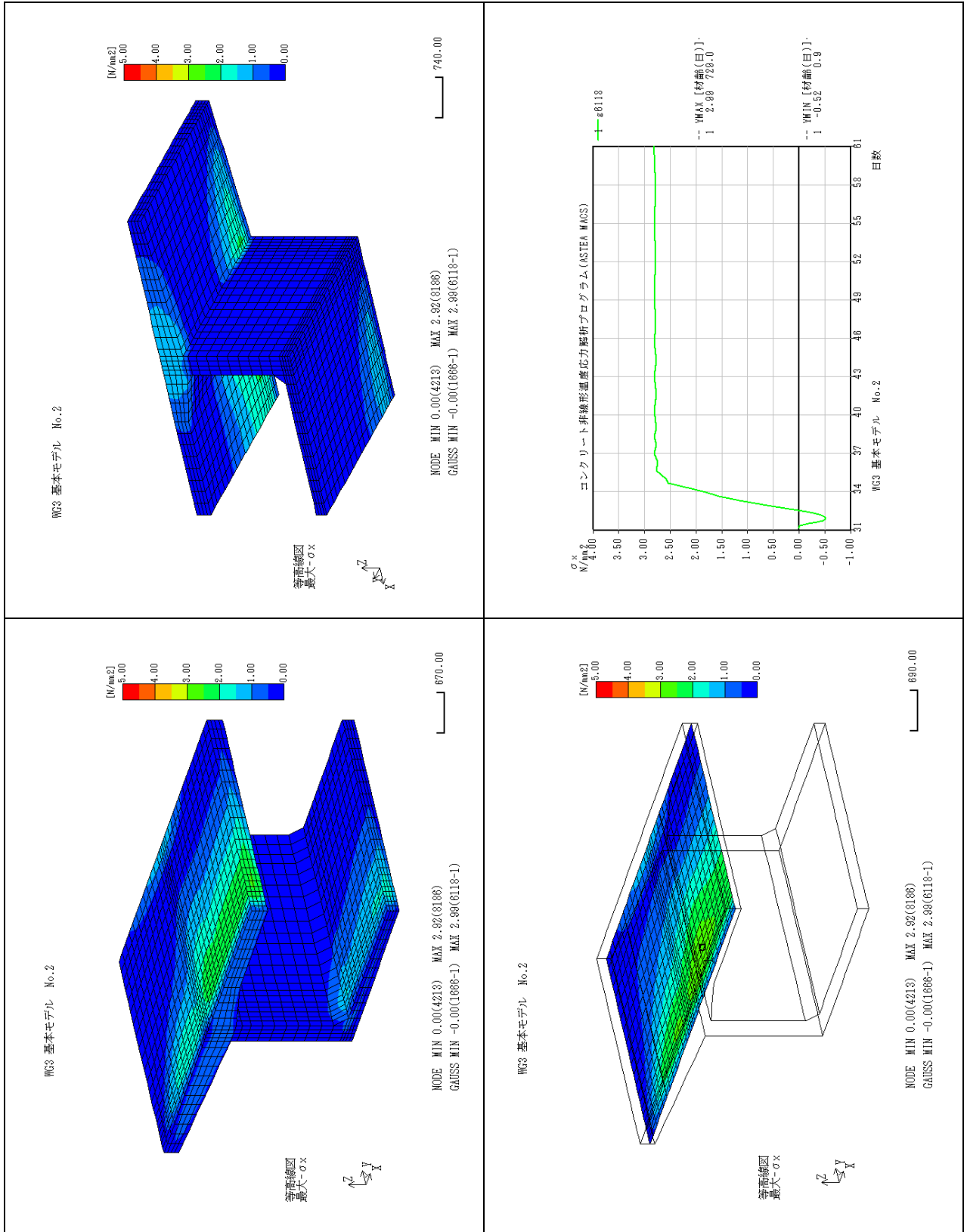
参表-3.2.2 指数結果



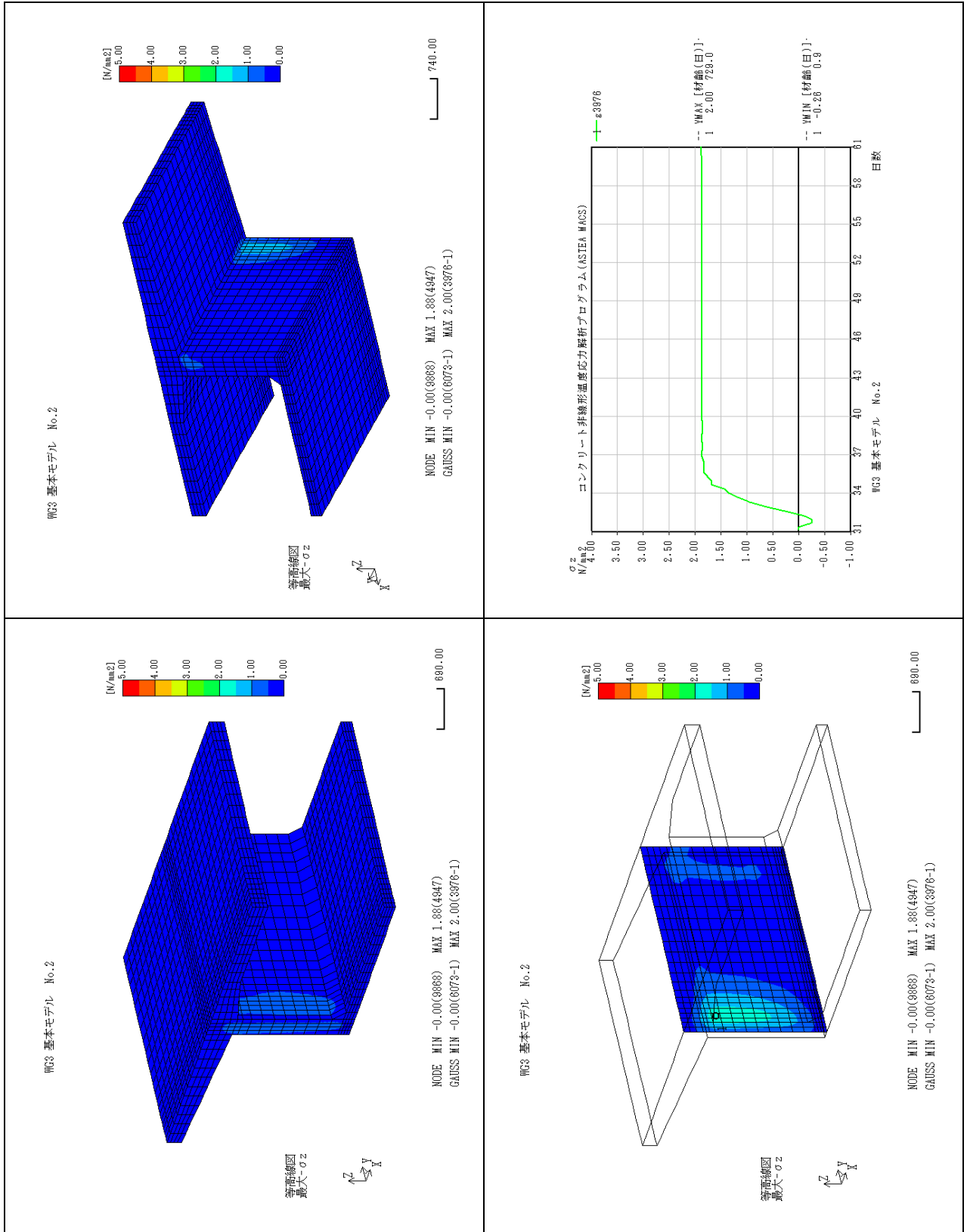
参表-3.2.3 主応力結果



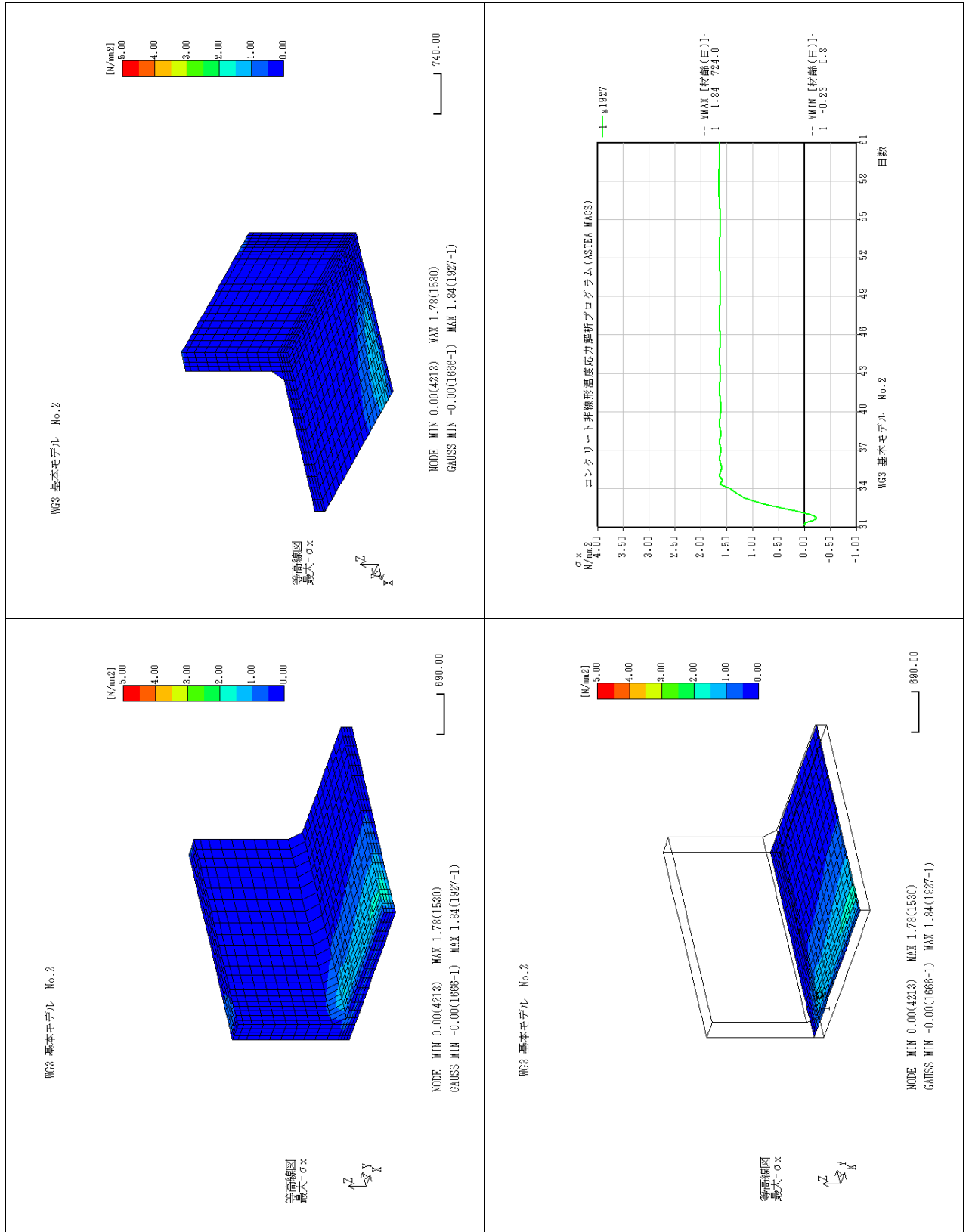
参表-3.2.4 上床版着目 成分応力 (σ_x) 結果



参表-3.2.5 ウェブ着目 成分応力 (σ_z) 結果

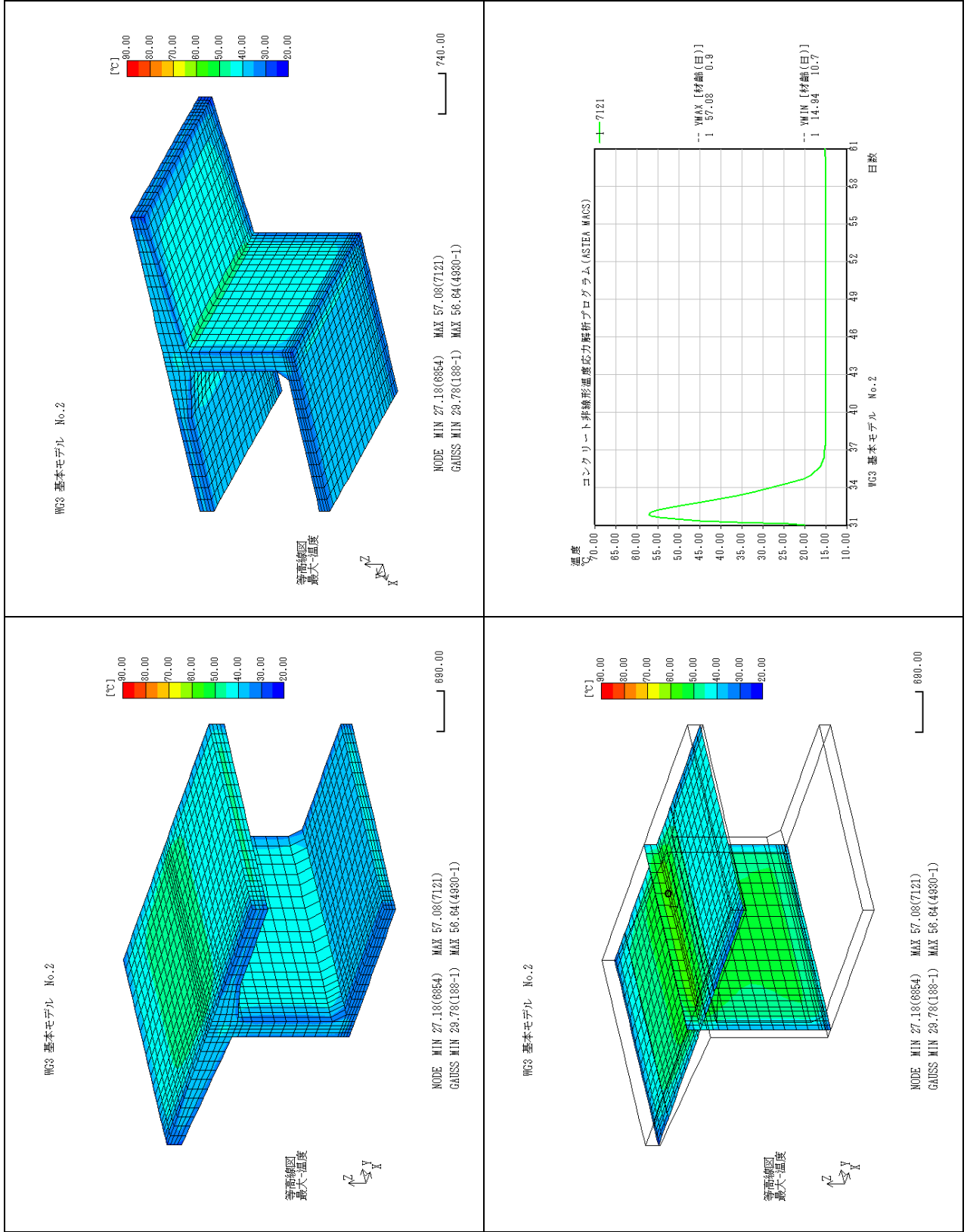


参表-3.2.6 下床版着目 成分応力 (σ_x) 結果

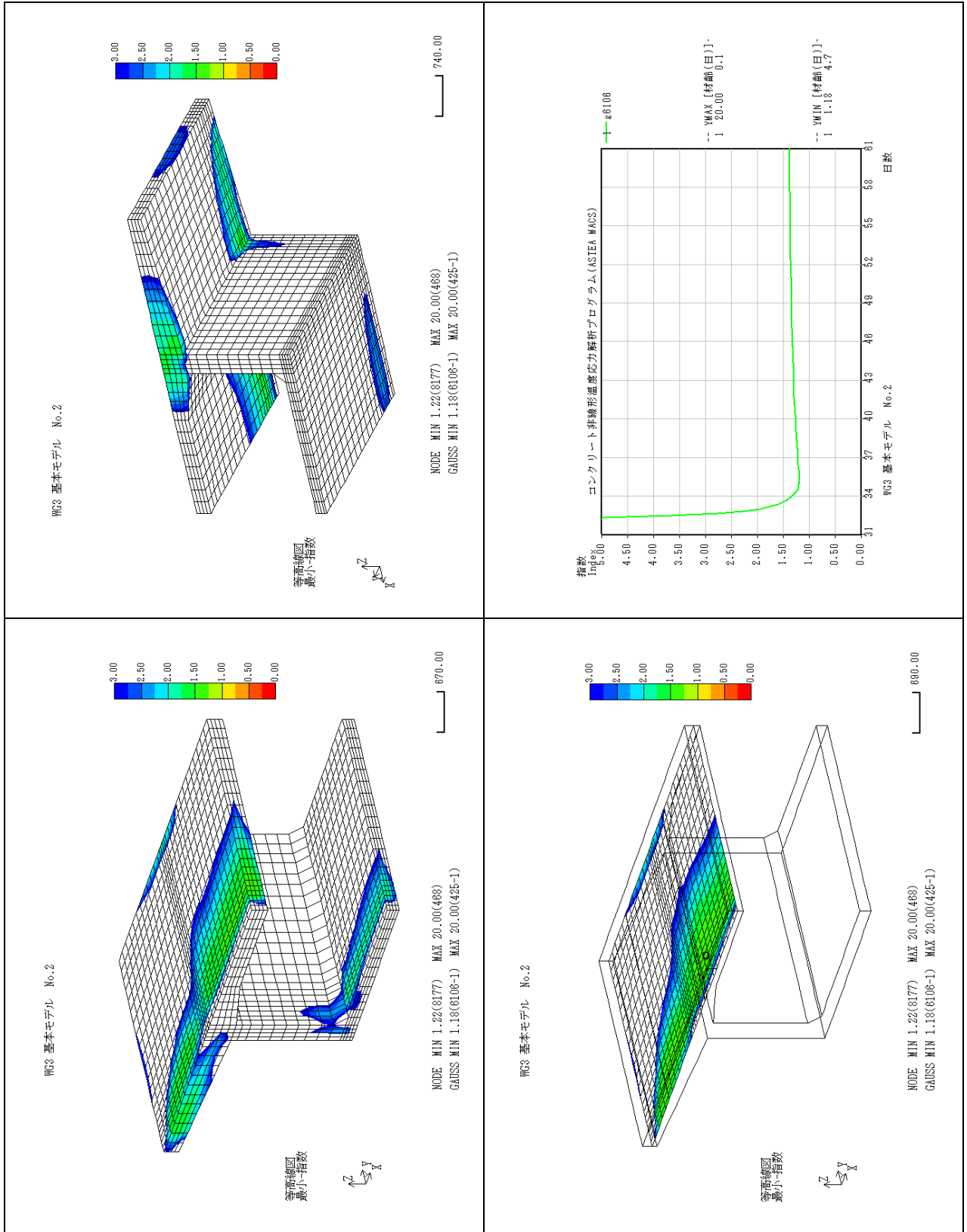


3. セメント量350kg/m3(d-0 b-1-2)

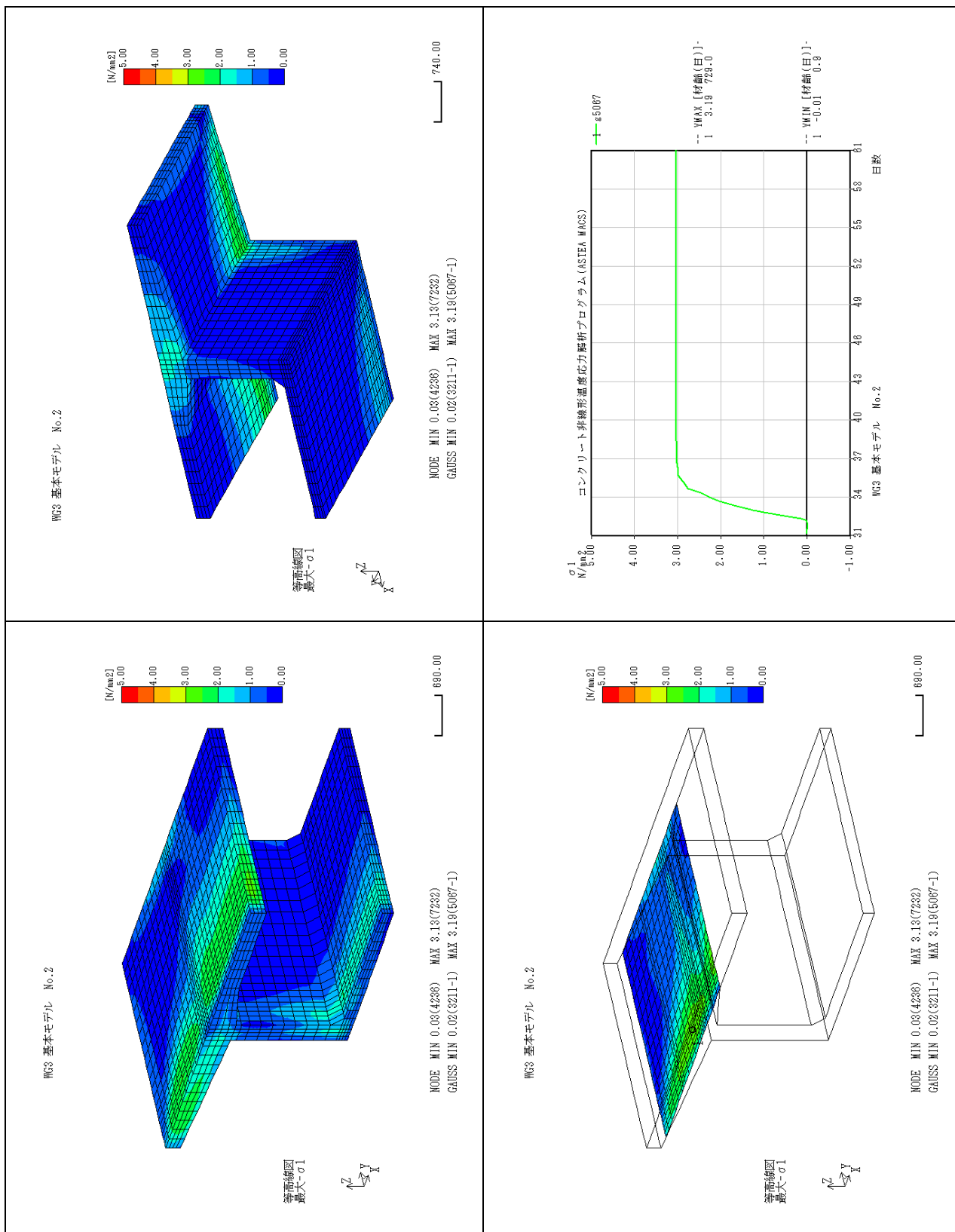
参表-3.3.1 温度結果



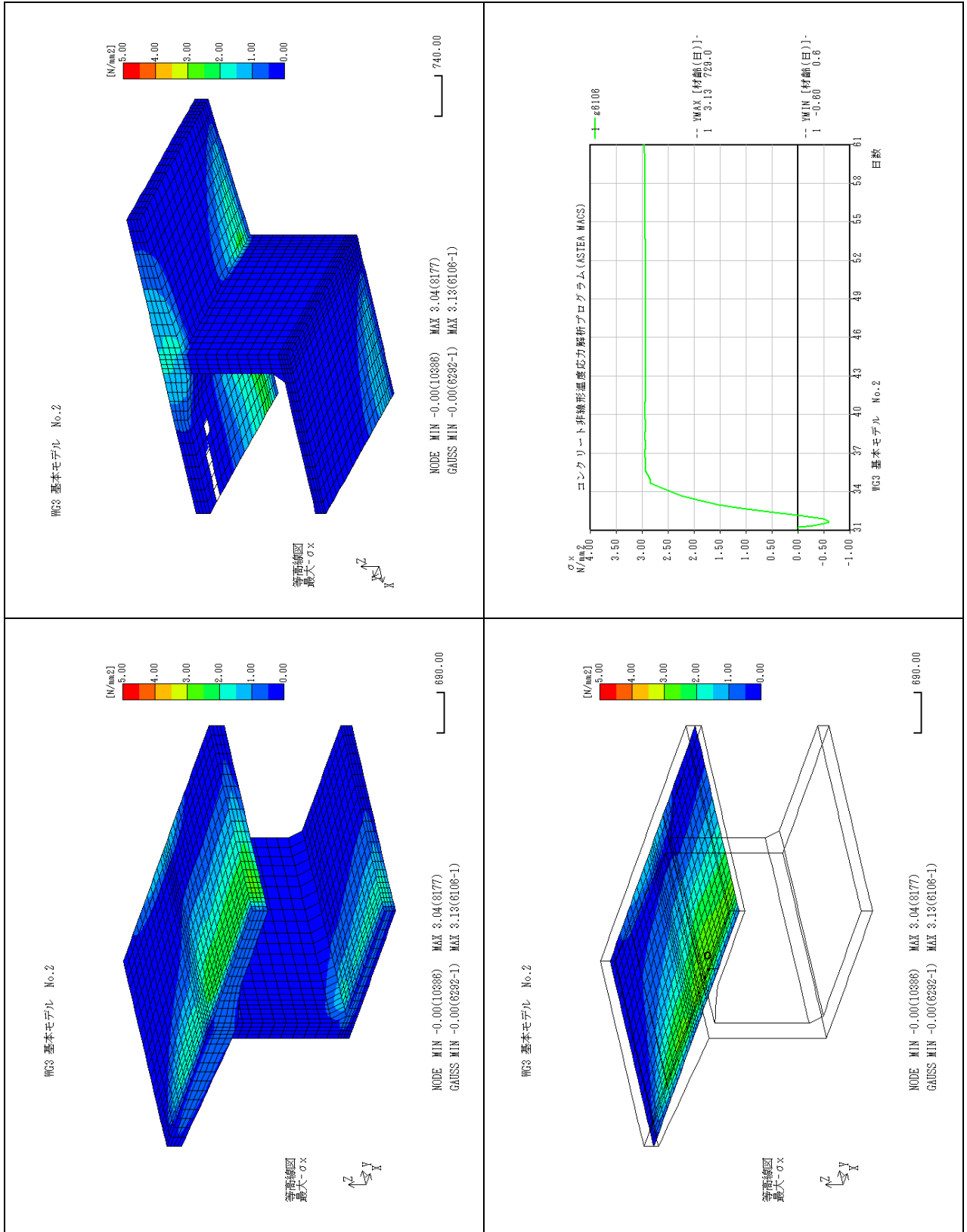
参表-3.3.2 指数結果



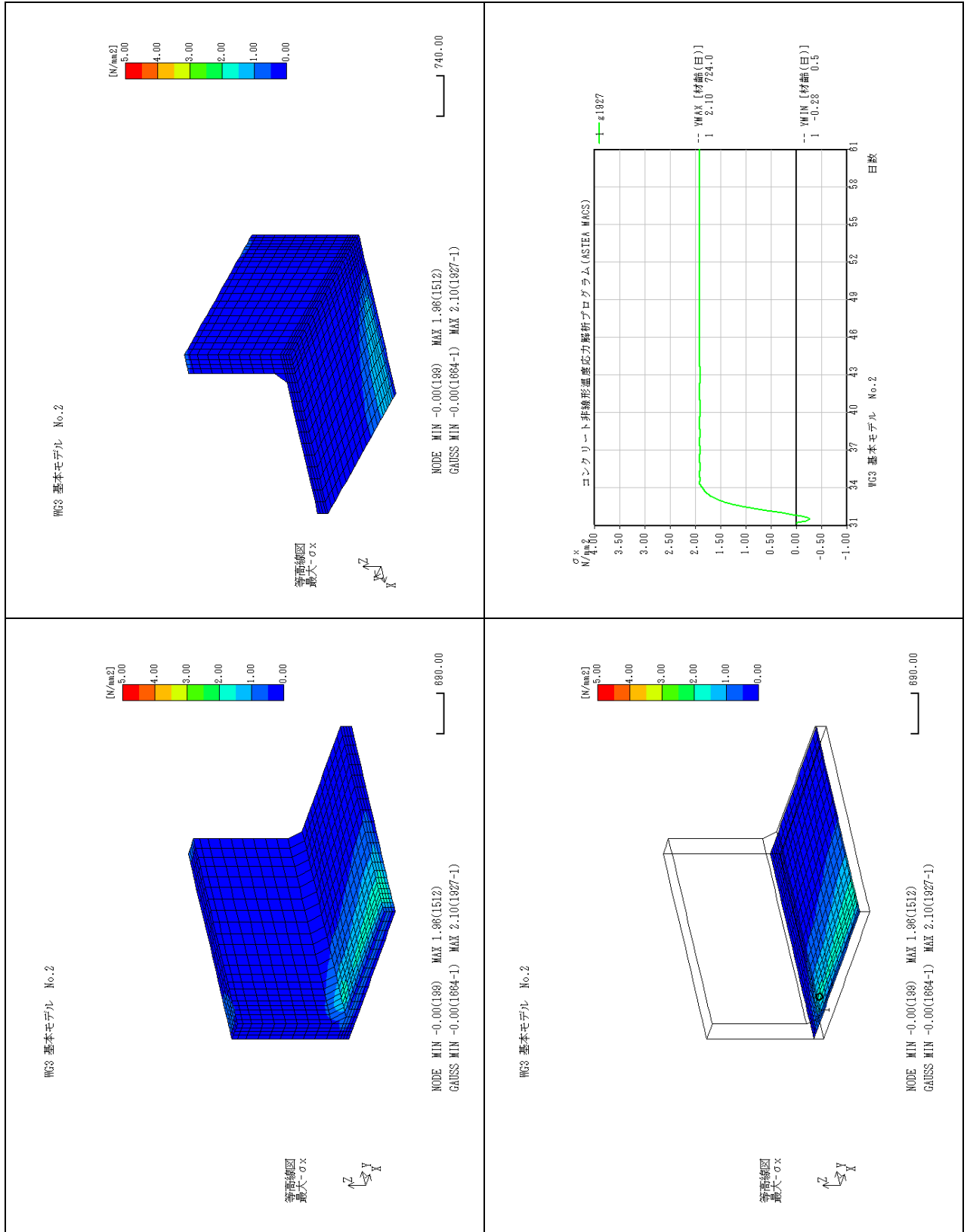
参考-3.3.3 主応力結果



参表-3.3.4 上床版着目 成分応力 (σ_x) 結果

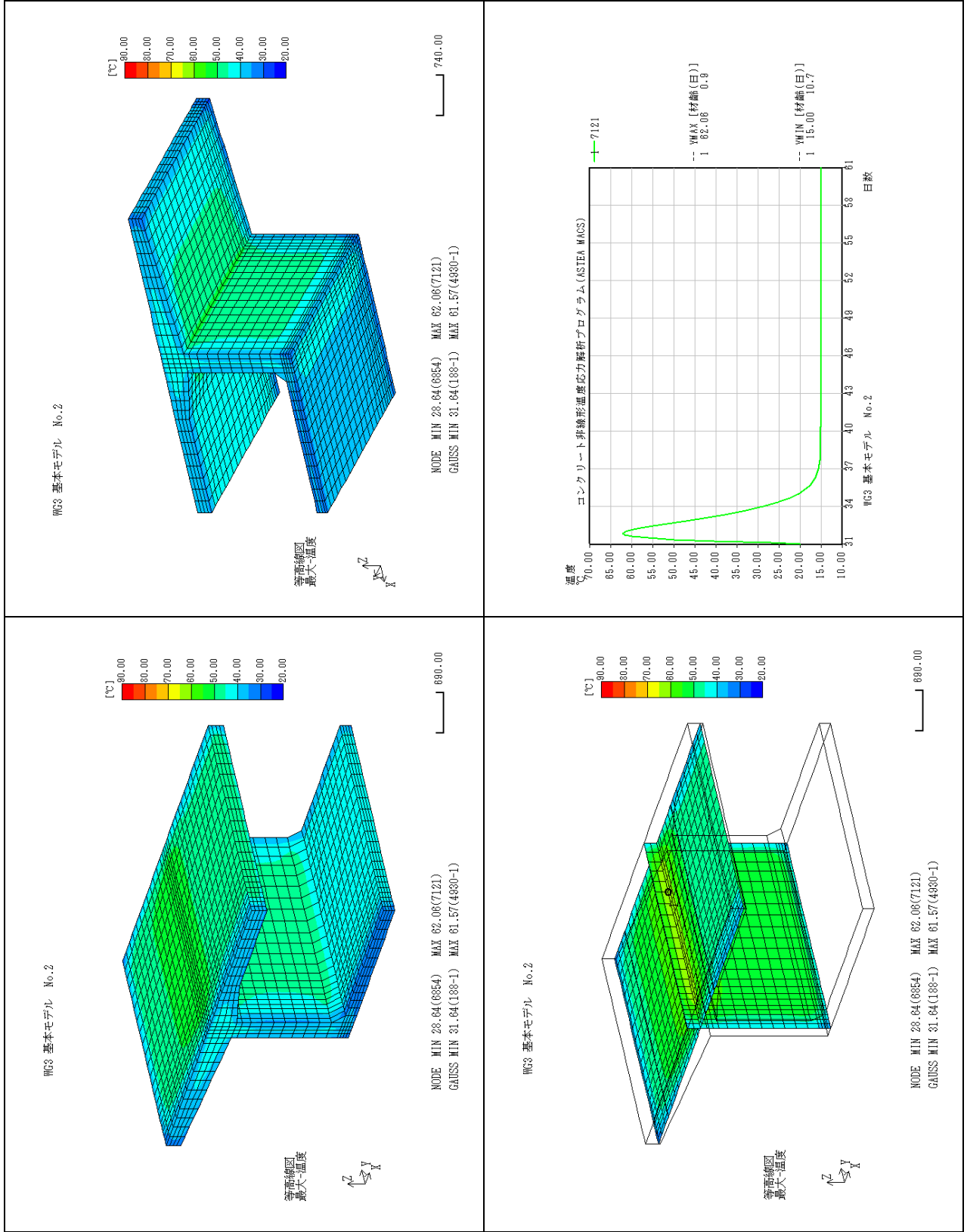


参表-3.3.3.6 下床版着目 成分応力 (σ_x) 結果

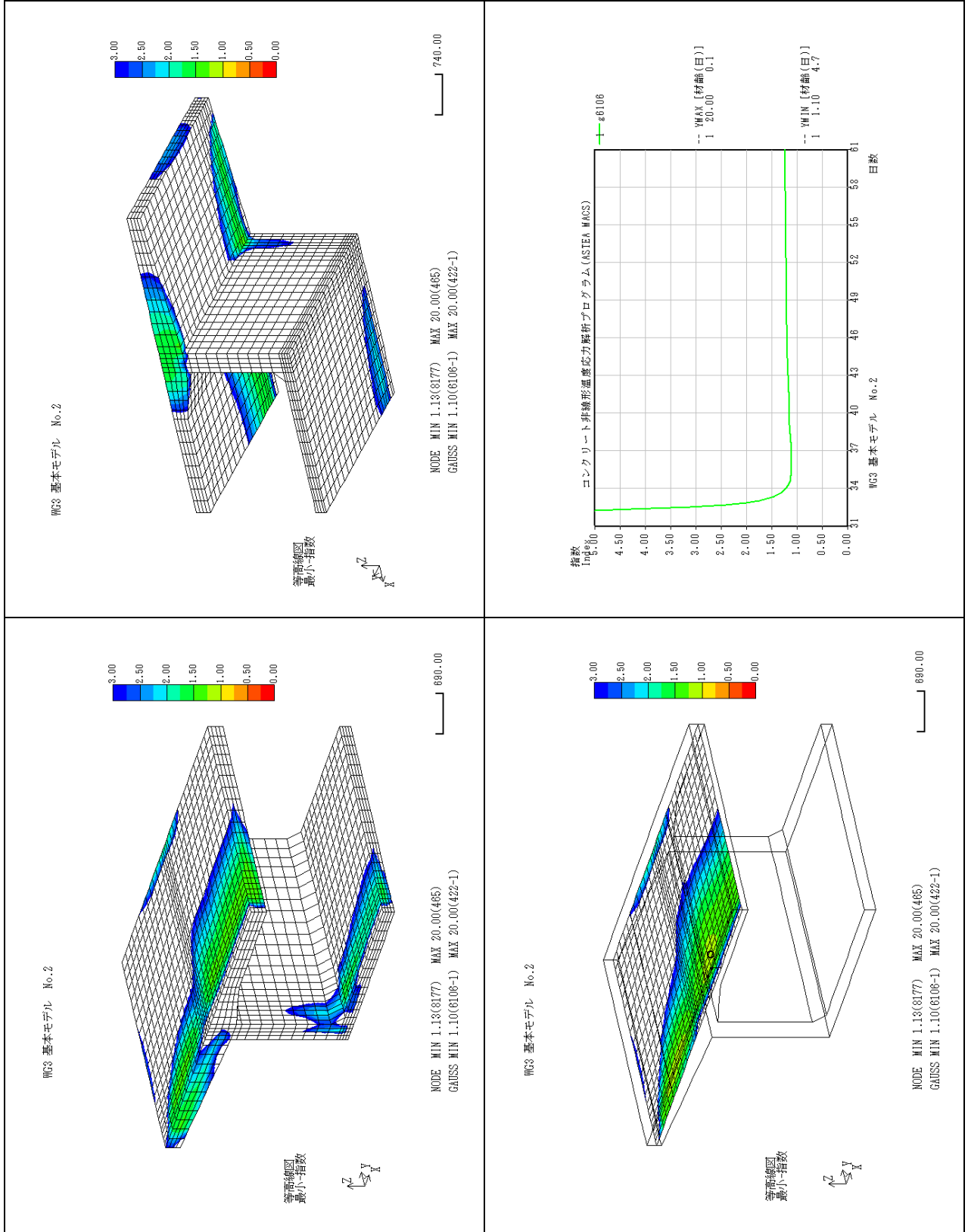


4. 養生10日 (d-0 c-1-2)

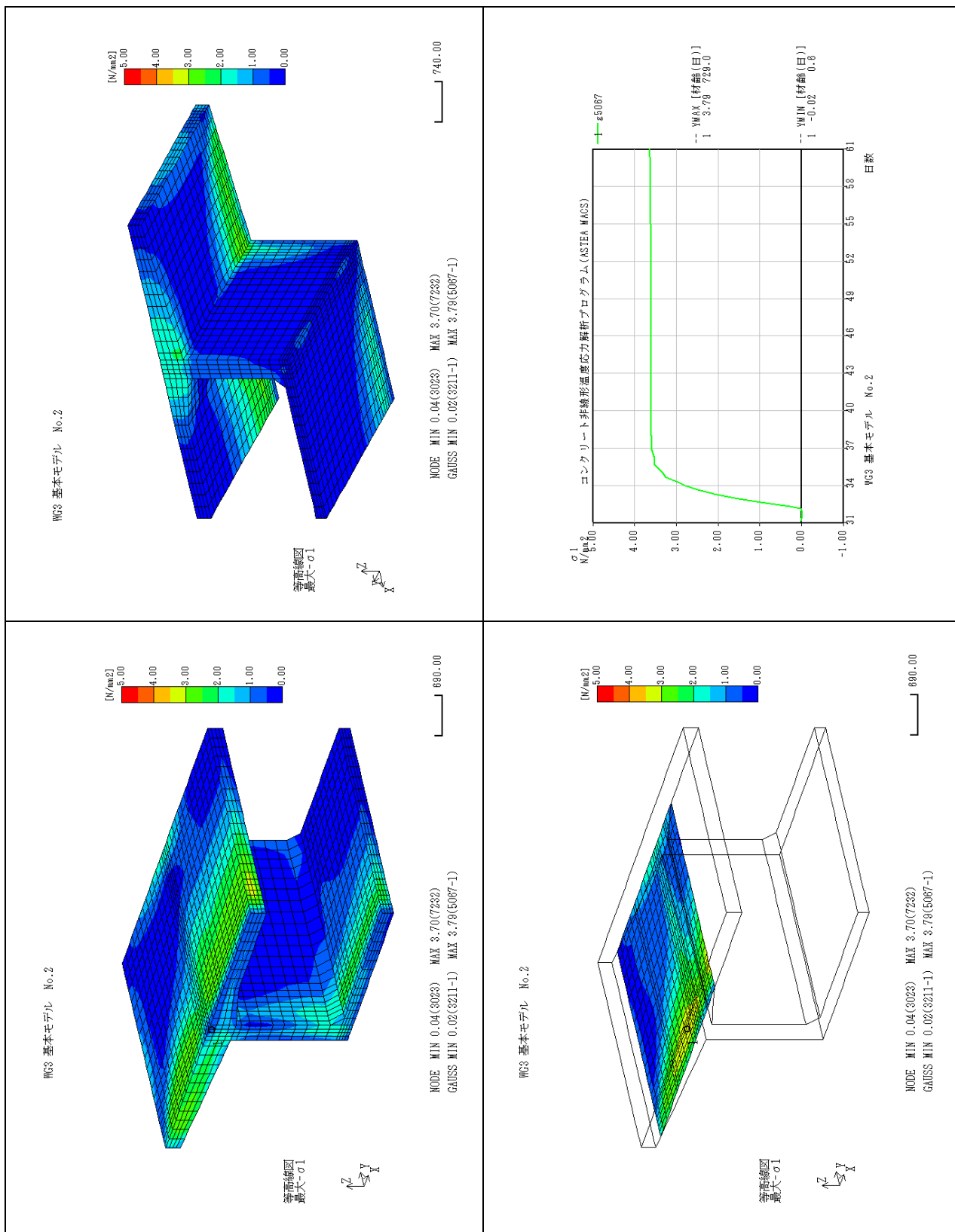
参表-3.4.1 温度結果



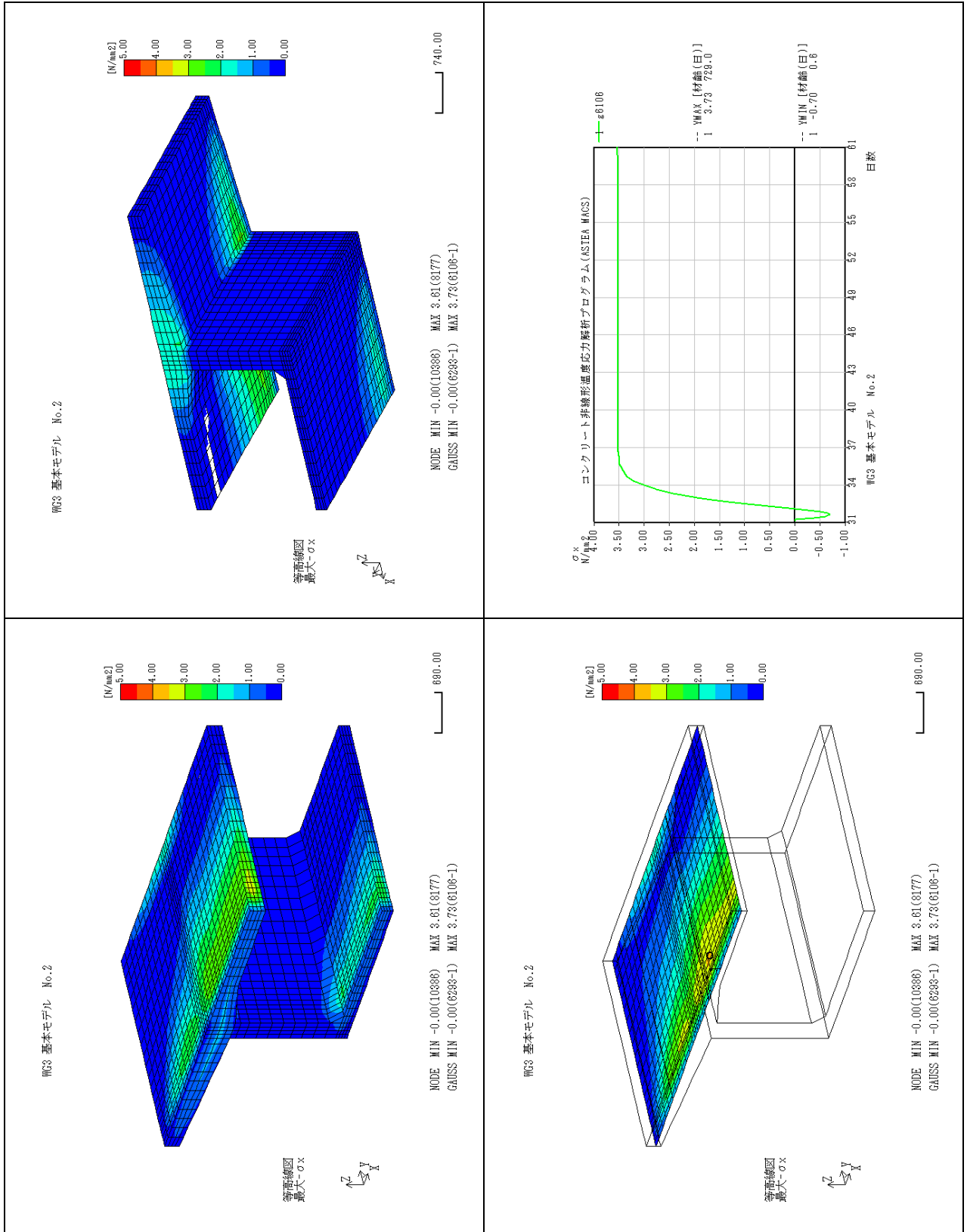
参表-3.4.2 指数結果



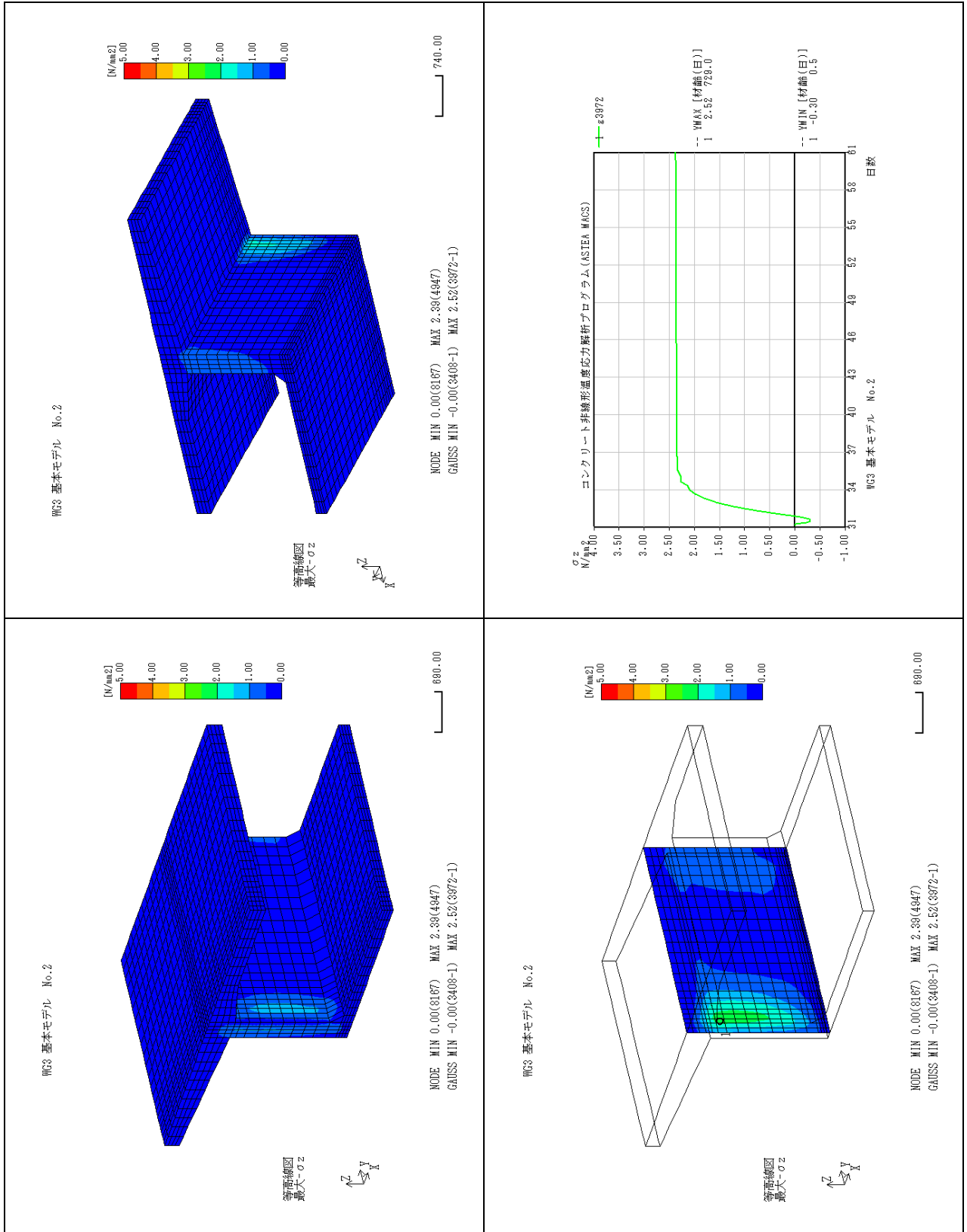
参考-3.4.3 主応力結果



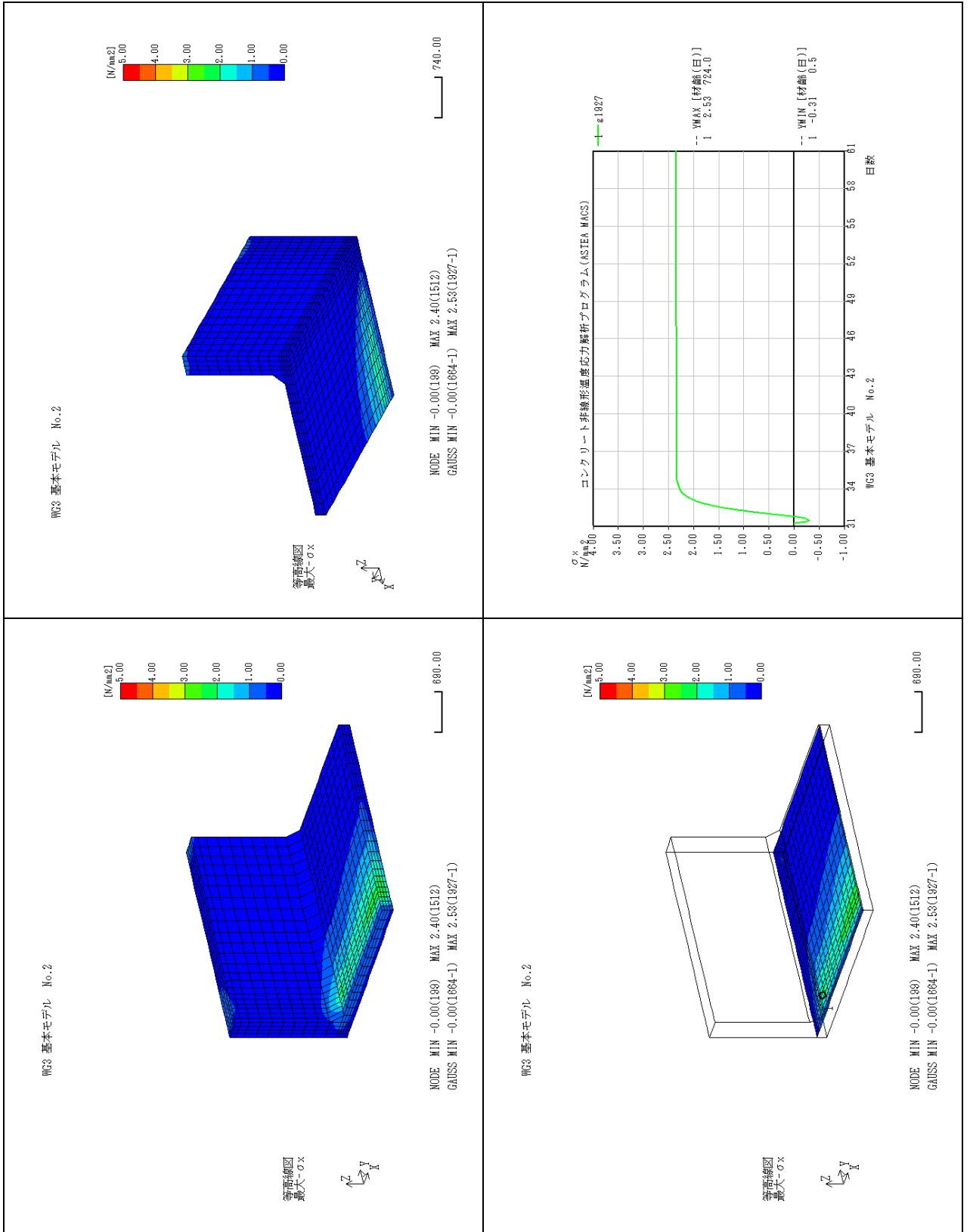
参表-3.4.4 上床版着目 成分応力 (σ_x) 結果



参表-3.4.4.5 ウェブ着目 成分応力 (σ_z) 結果

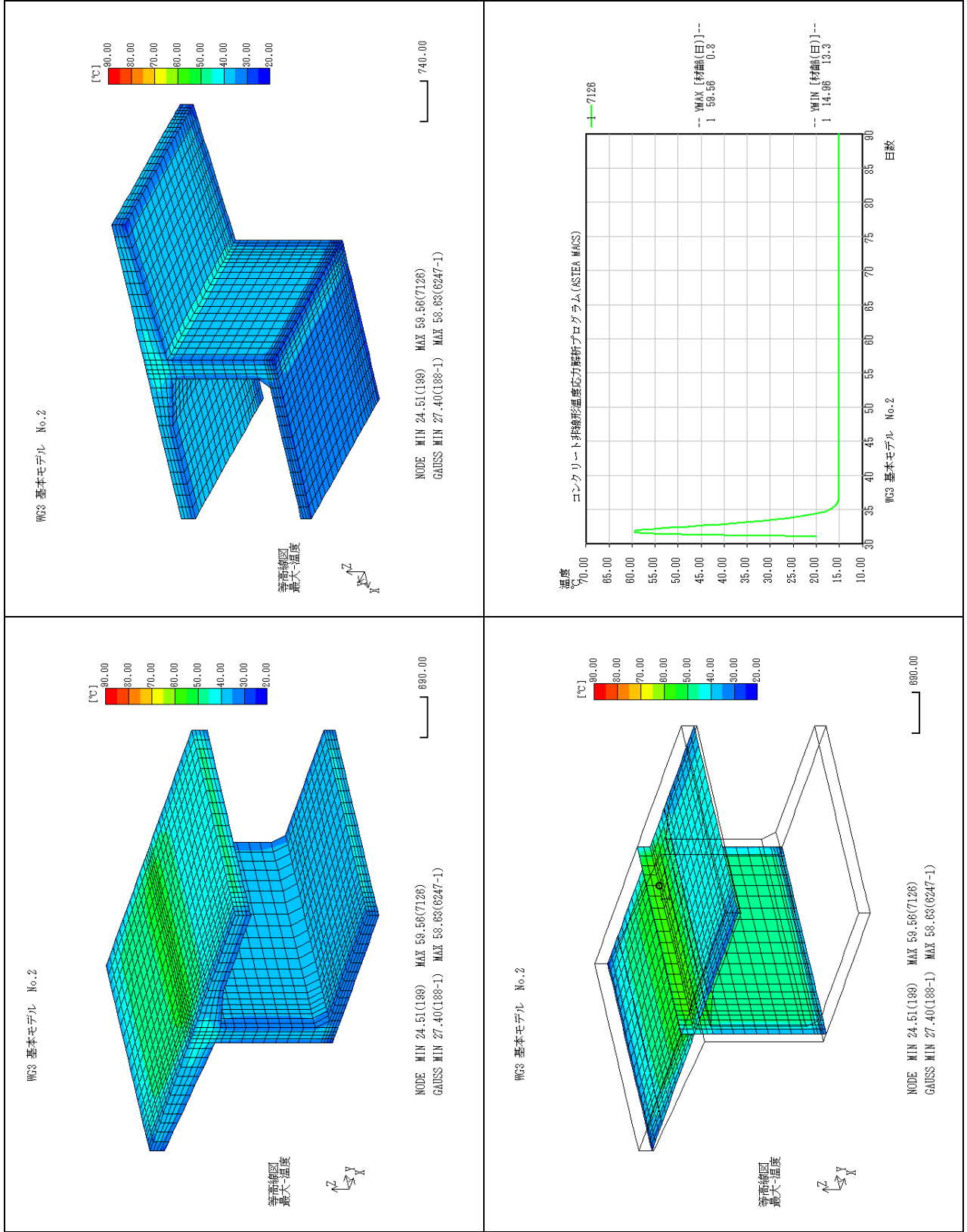


参表-3. 4. 6 下床版着目 成分応力 (σ_x) 結果

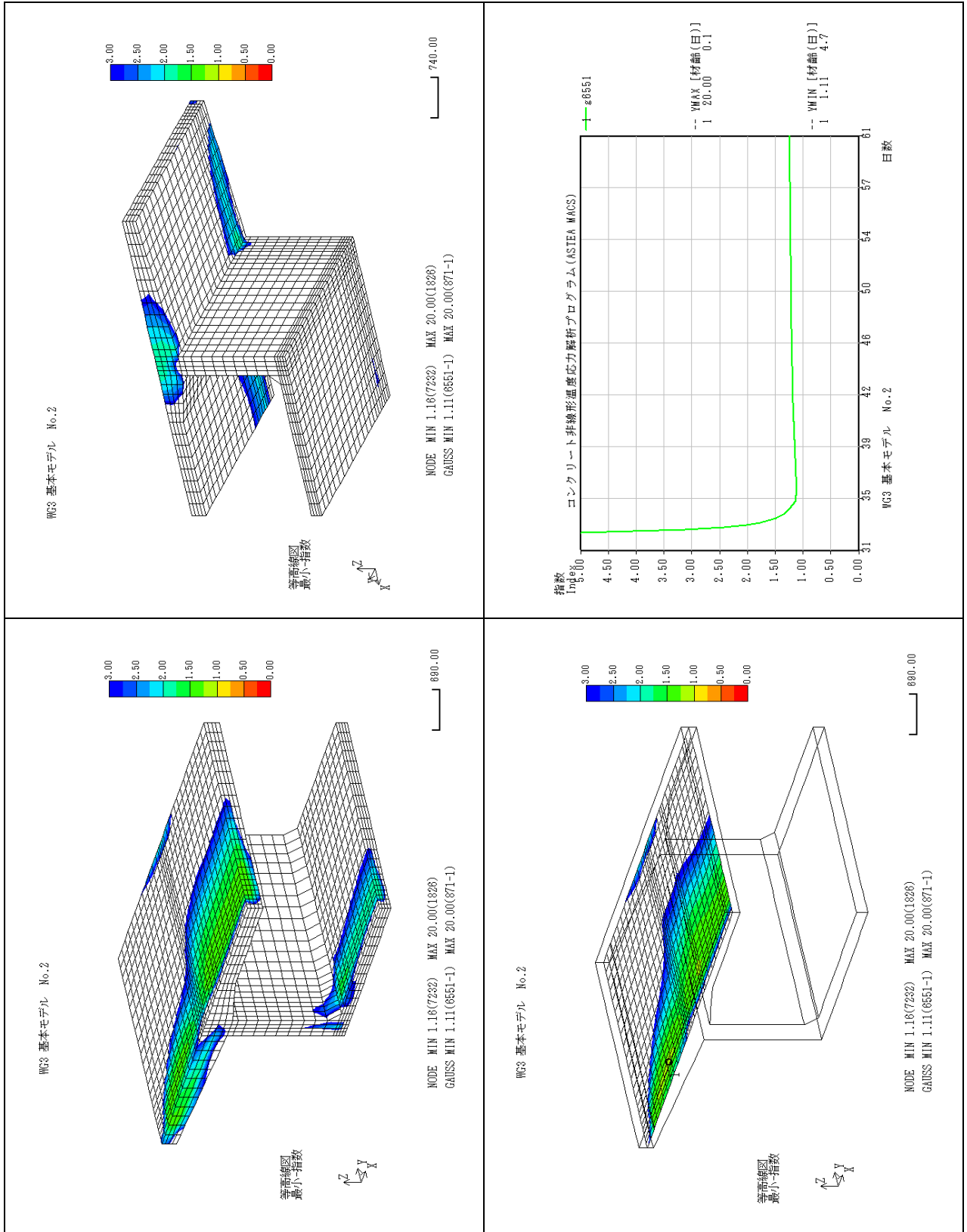


5. メタル枠 (d-0 c-3-2)

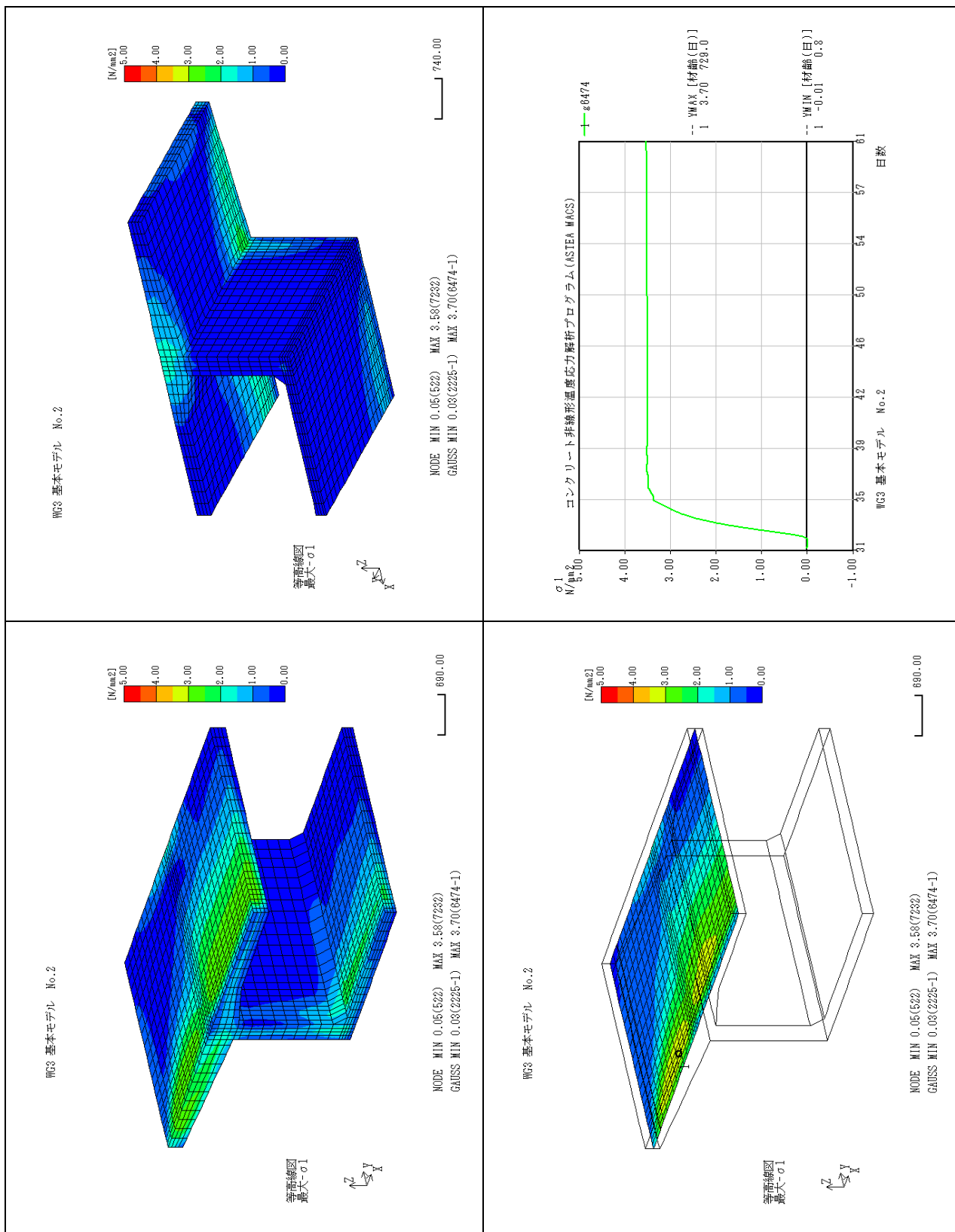
参表-3.5.1 温度結果



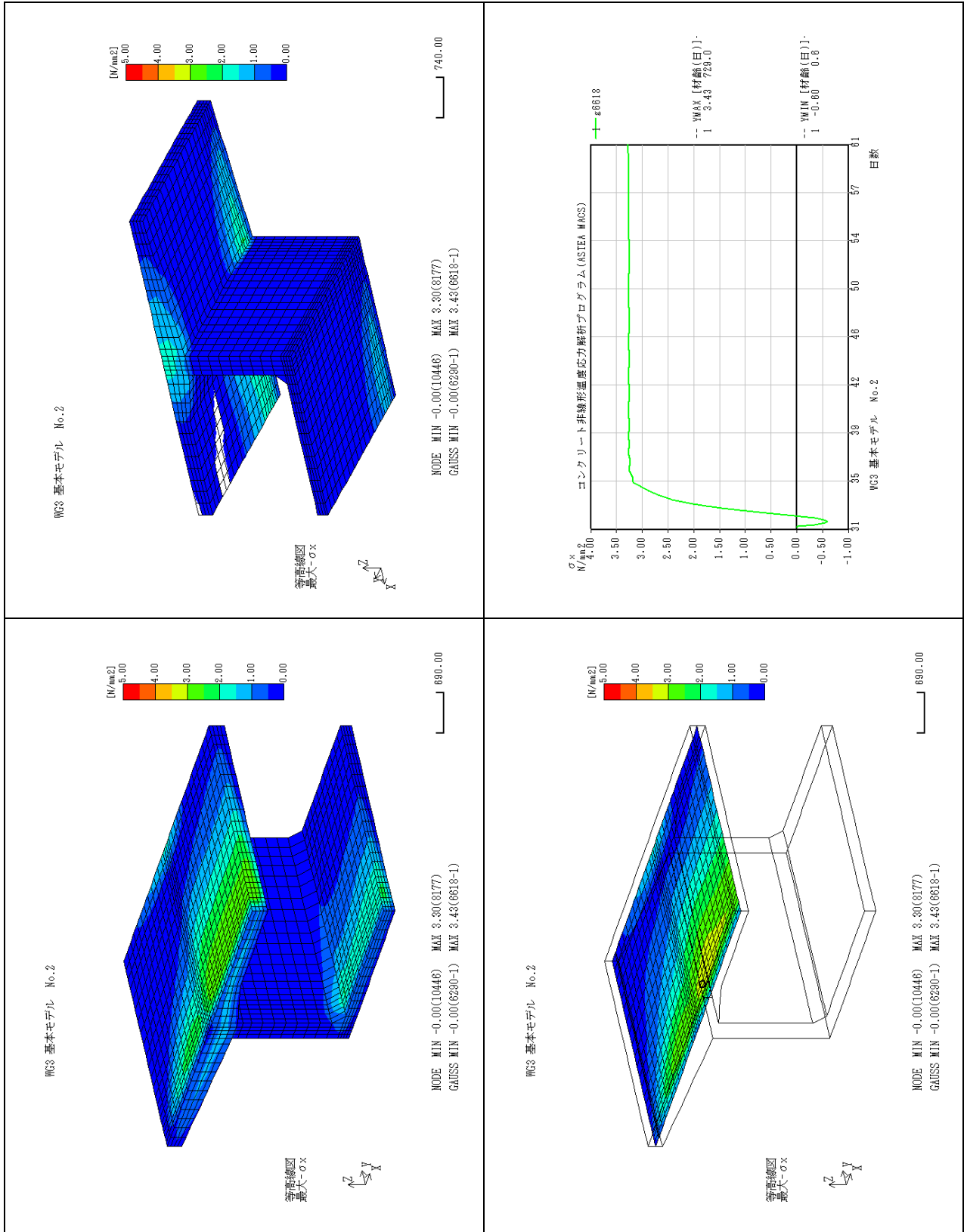
参表-3.5.2 指数結果



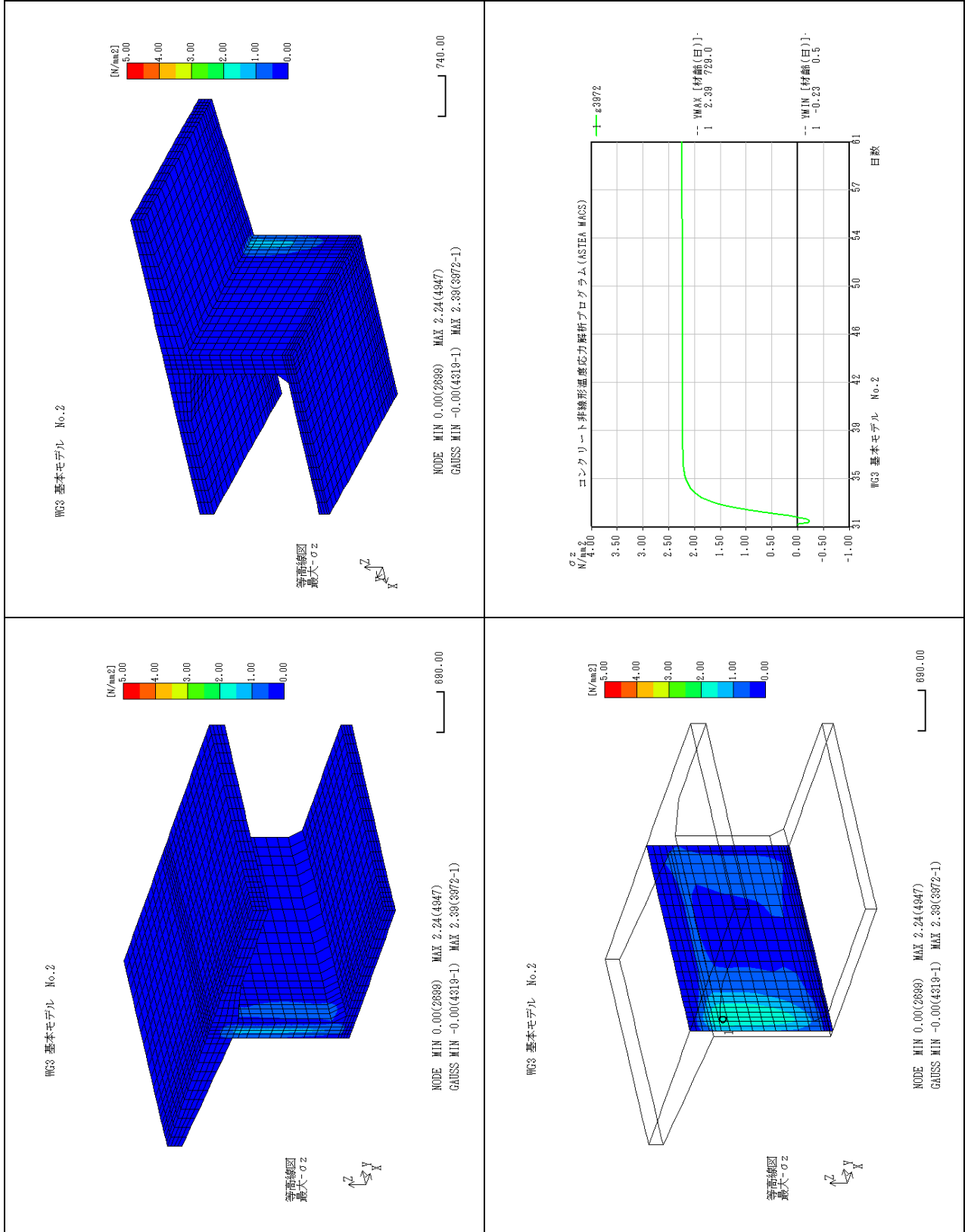
参表-3.5.3 主応力結果



参表-3.5.4 上床版着目 成分応力 (σ_x) 結果

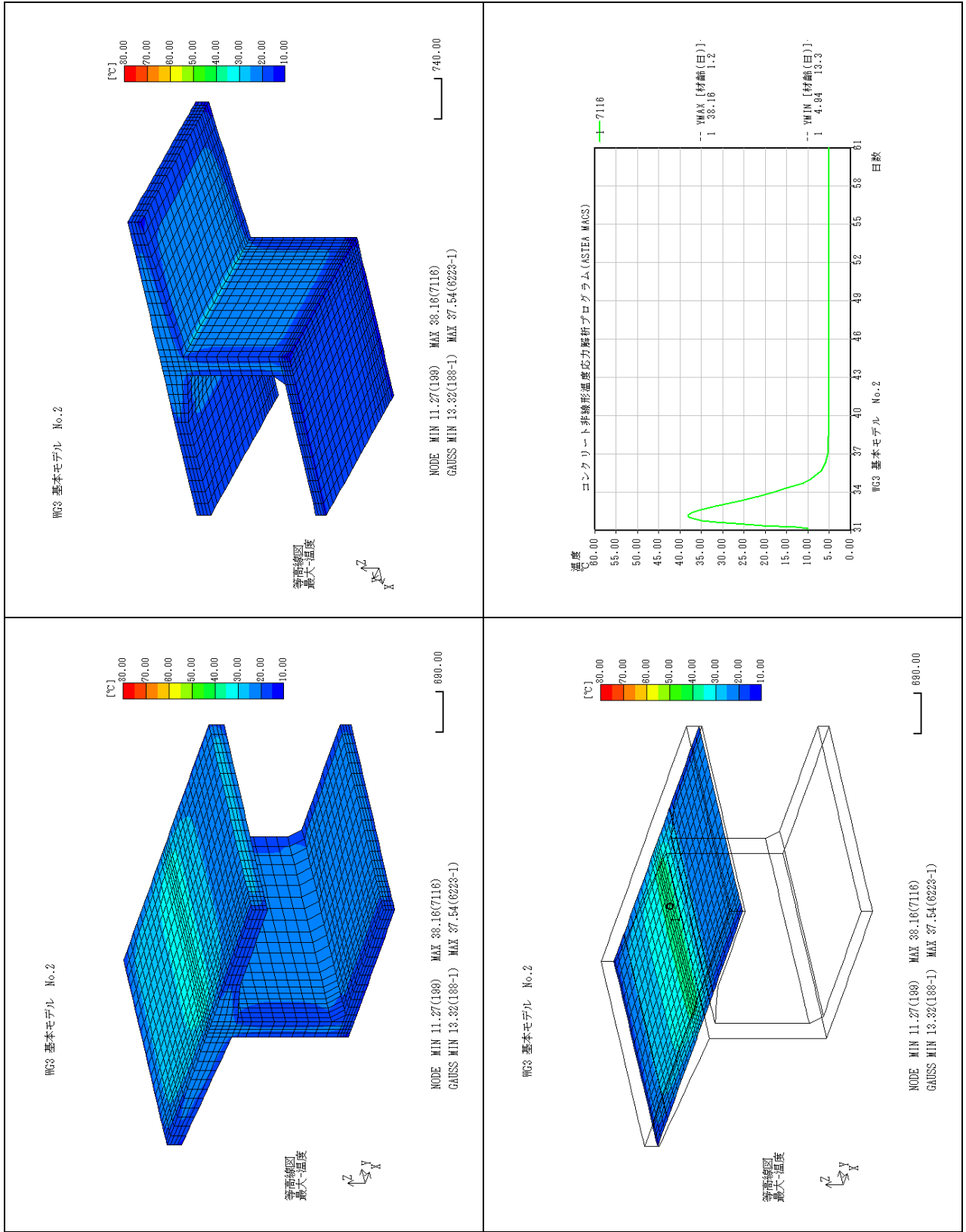


参表-3.5.5 ウェブ着目 成分応力 (σ_z) 結果

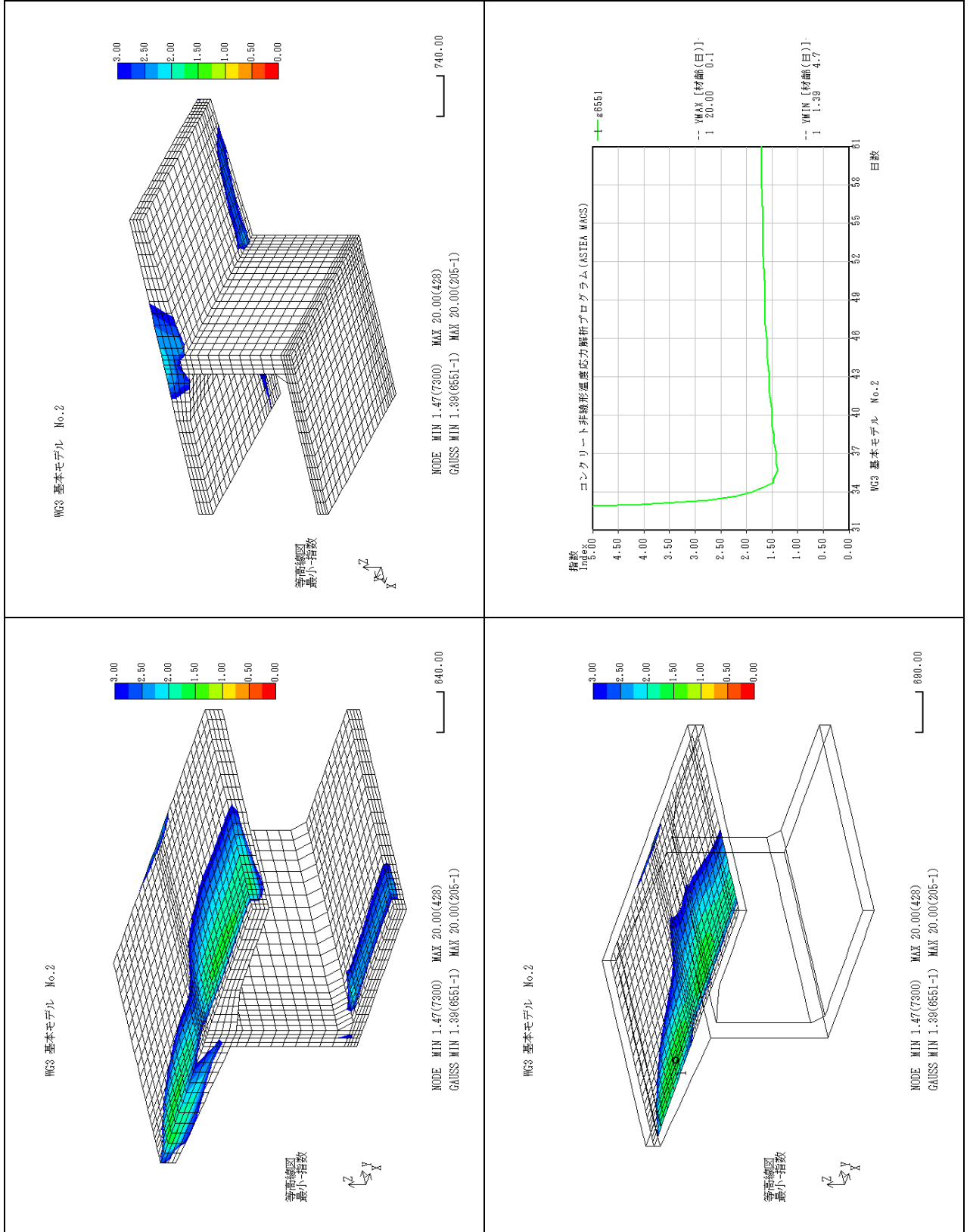


6. 引張応力最小組合せケース

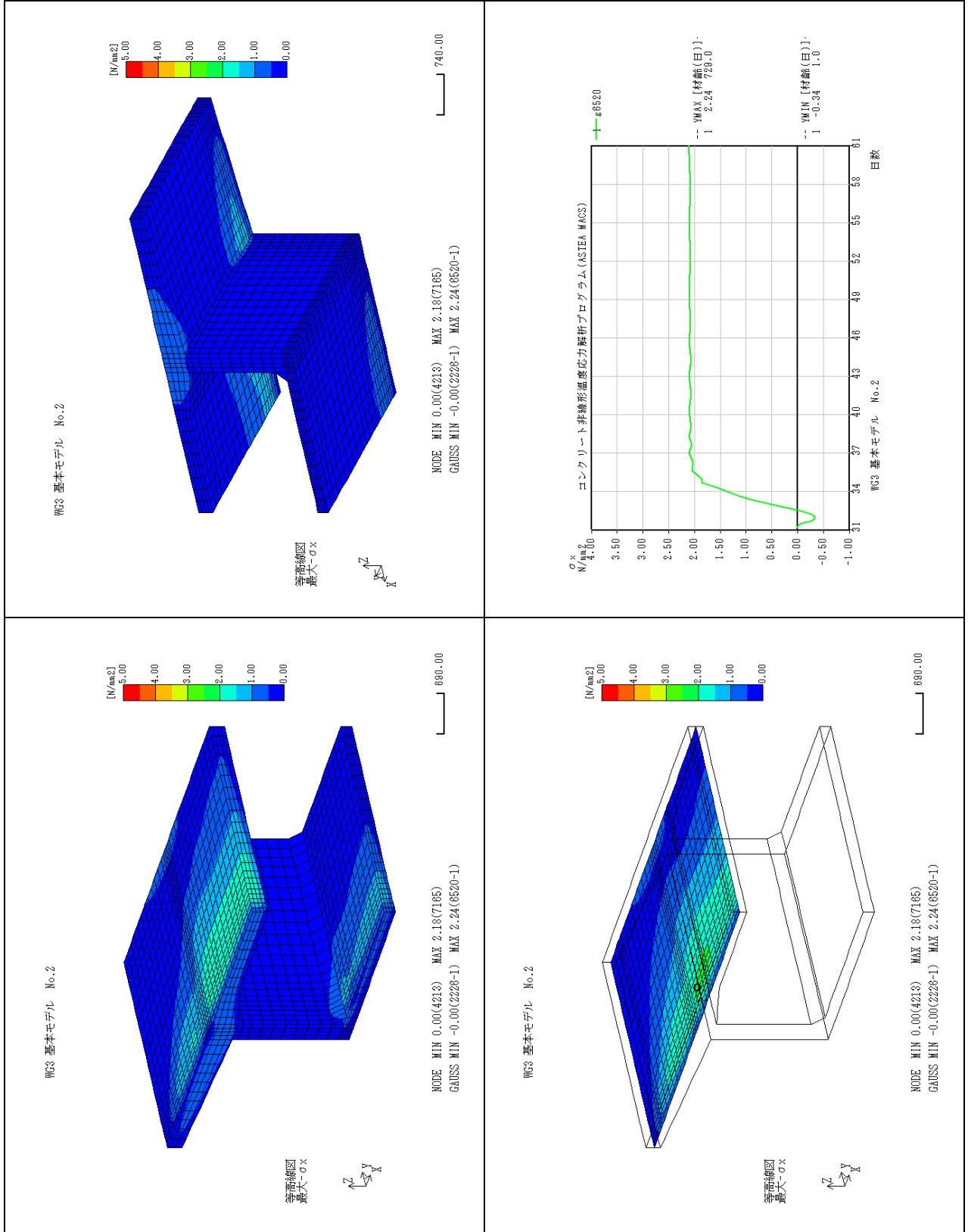
参表-3.6.1 温度結果



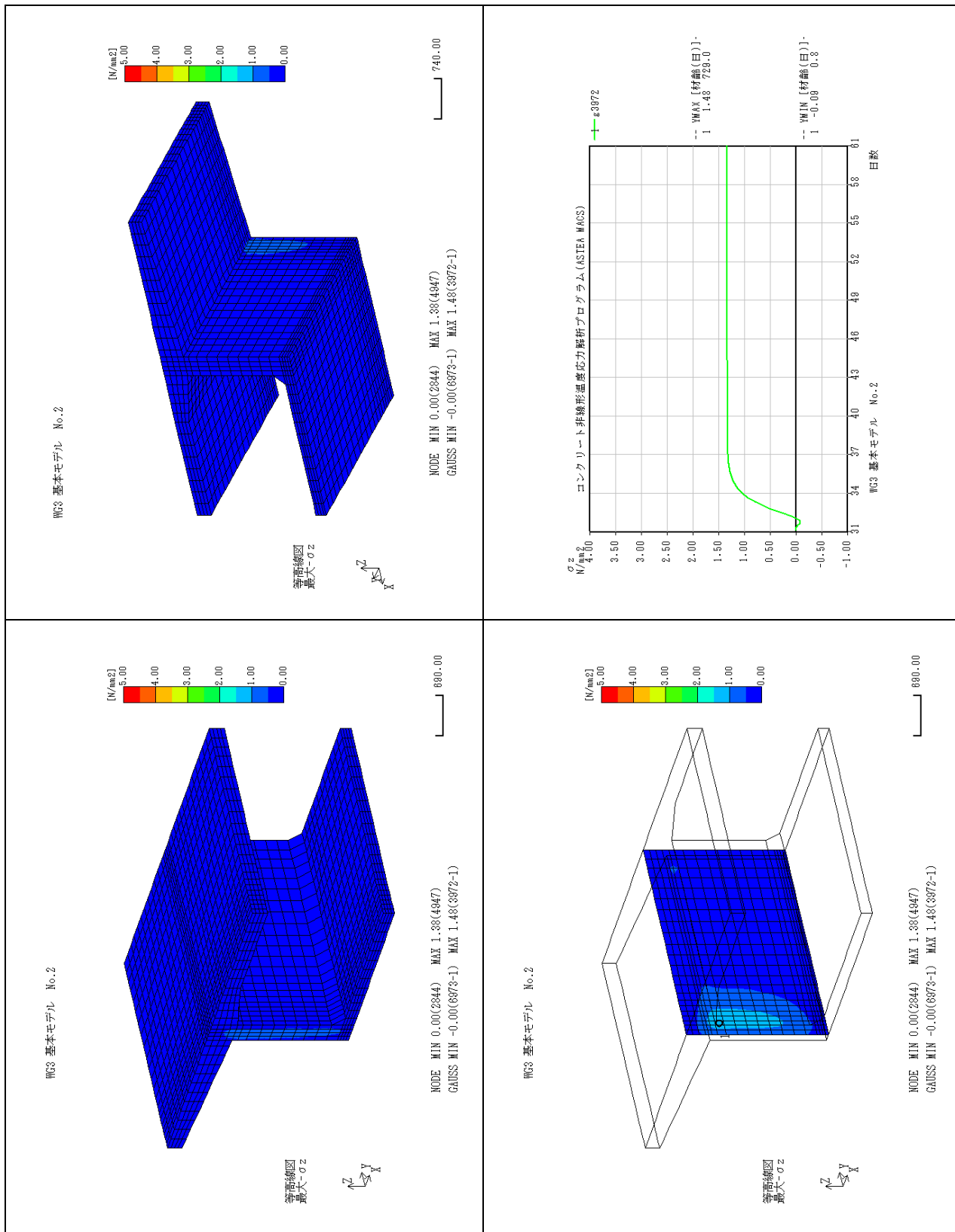
参表-3.6.2 指数結果



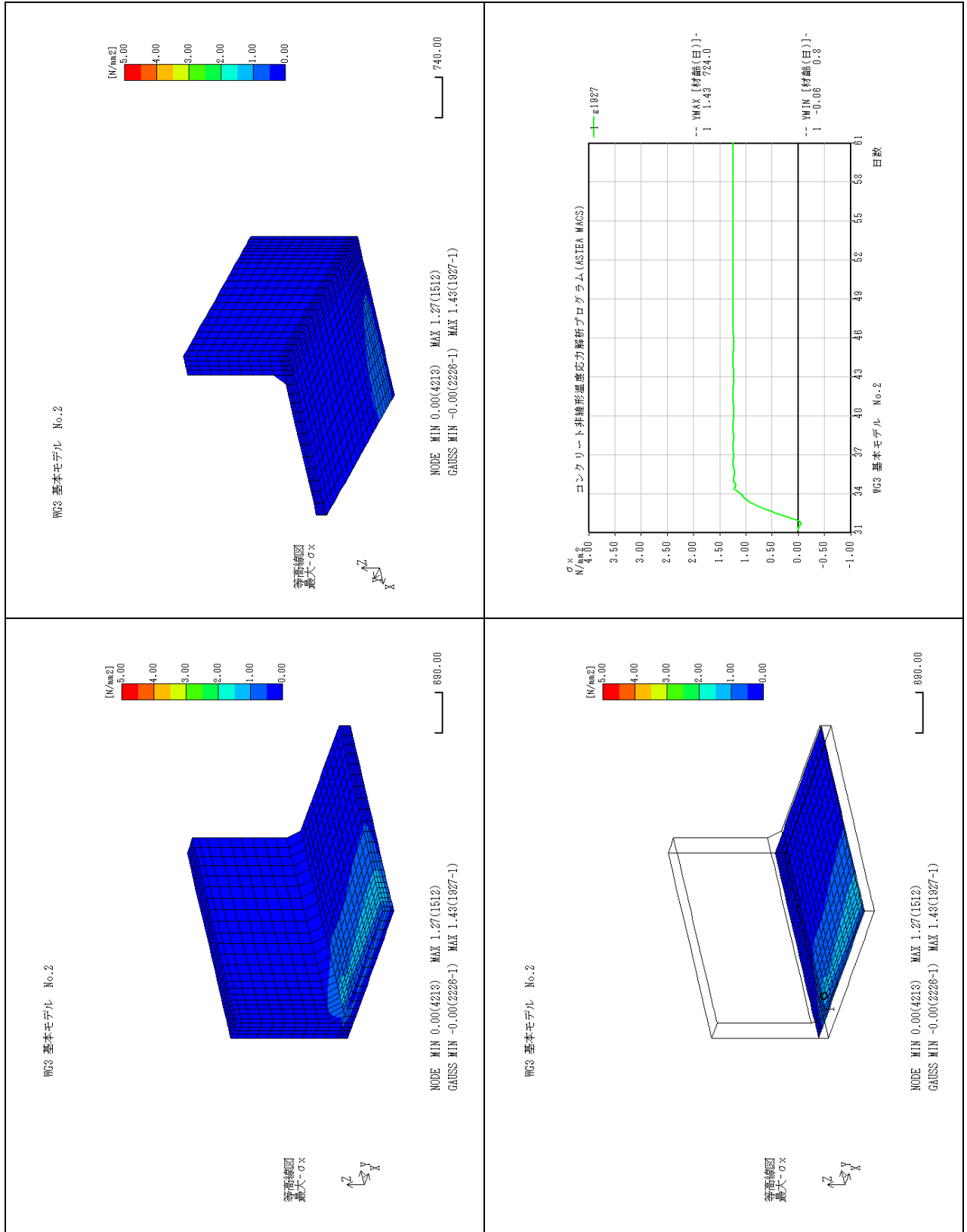
参表-3.6.4 上床版着目 成分応力 (σ_x) 結果



参表-3.6.5 ウェブ着目 成分応力 (σ_z) 結果

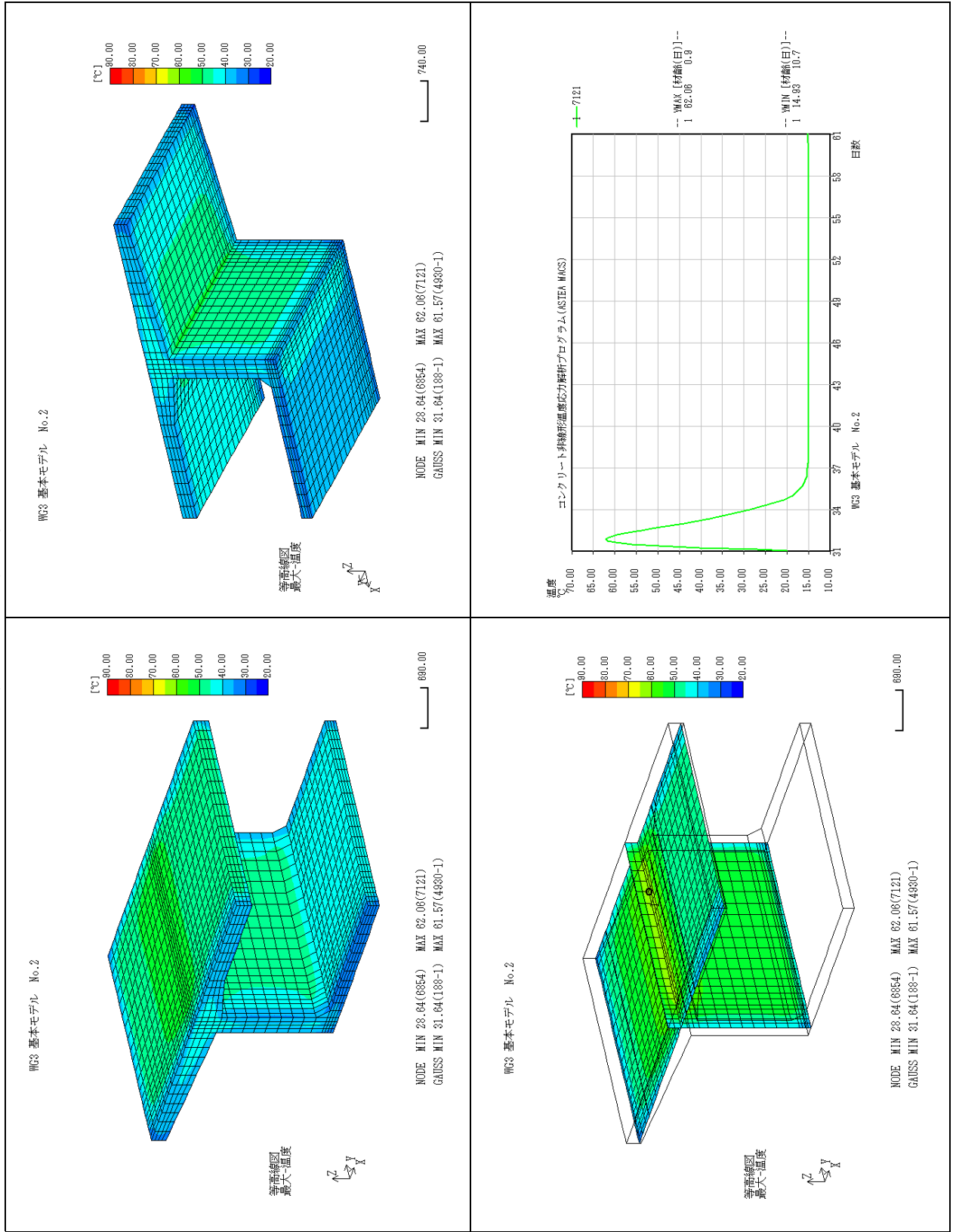


参表-3.6.6 下床版着目 成分応力 (σ_x) 結果

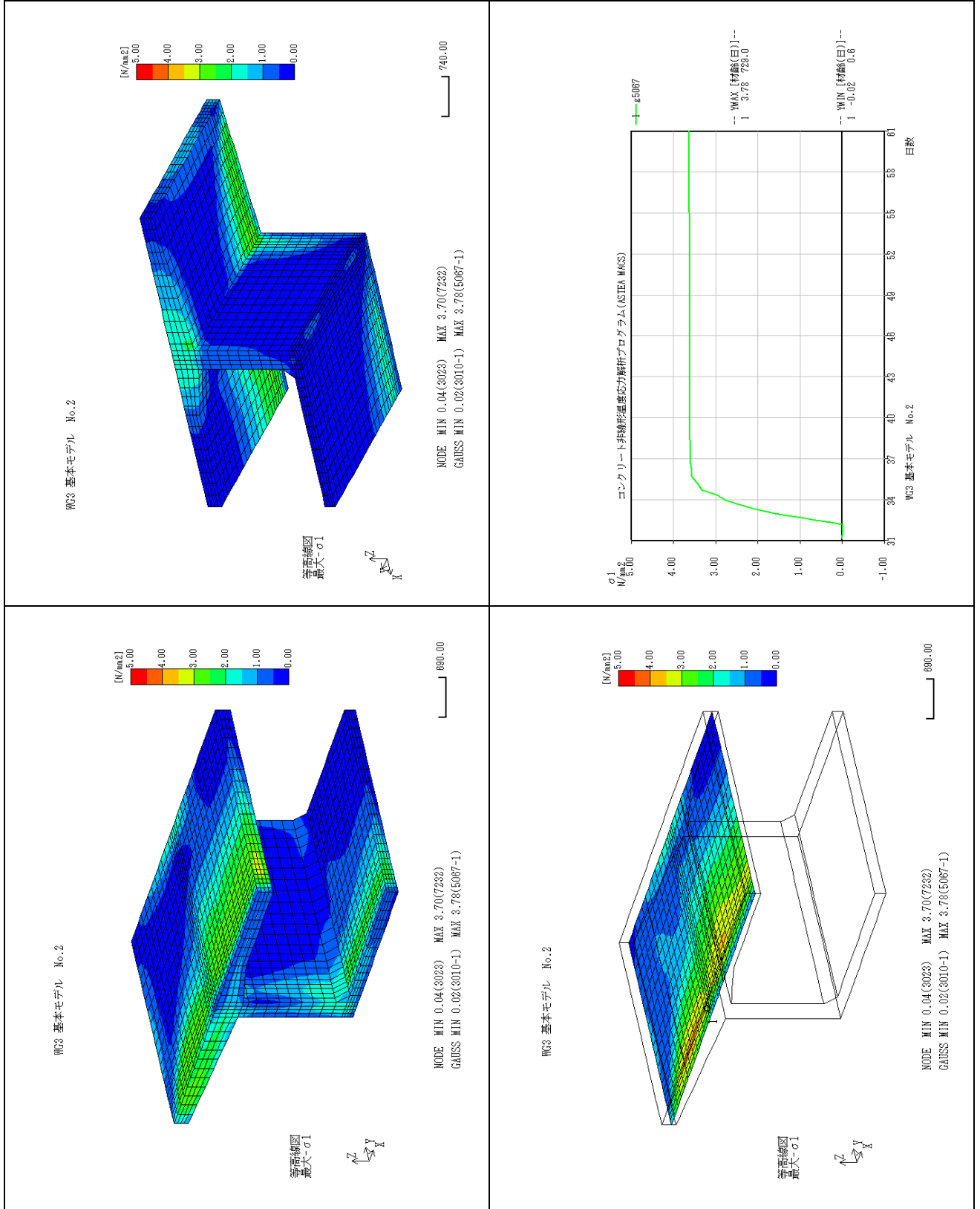


7. 基本モデル(d-0)

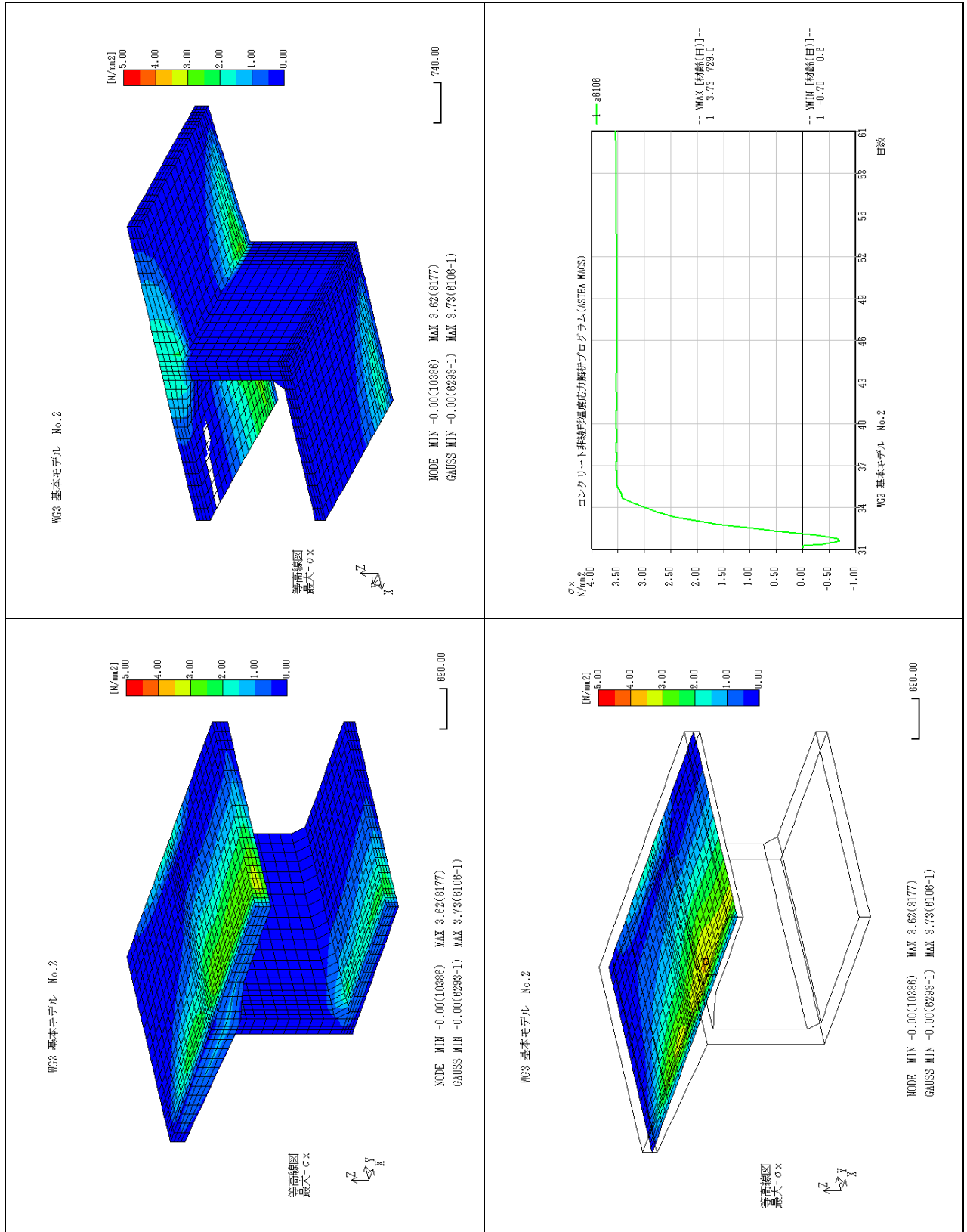
参表-3.7.1 温度結果



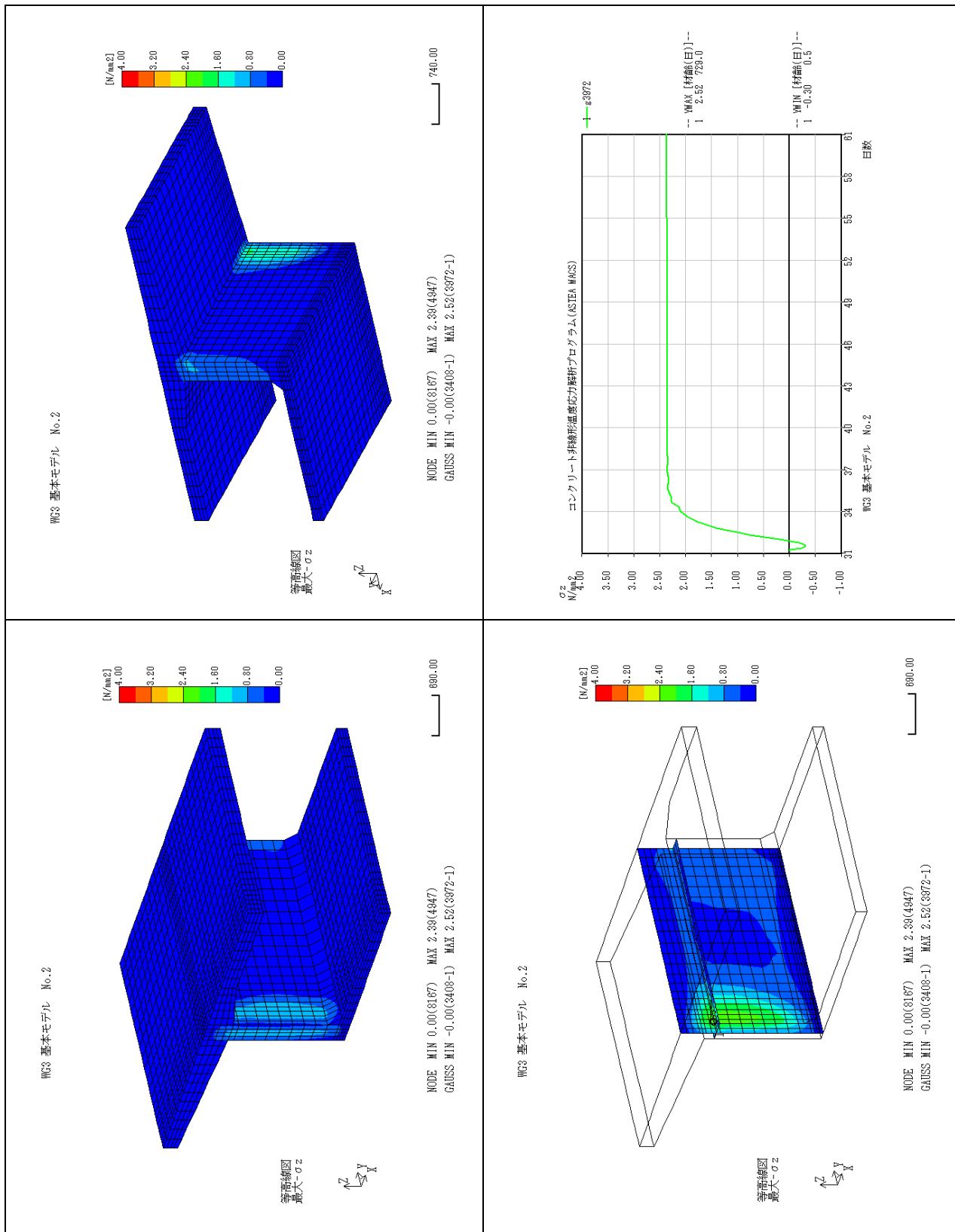
参表-3.7.3 主応力結果



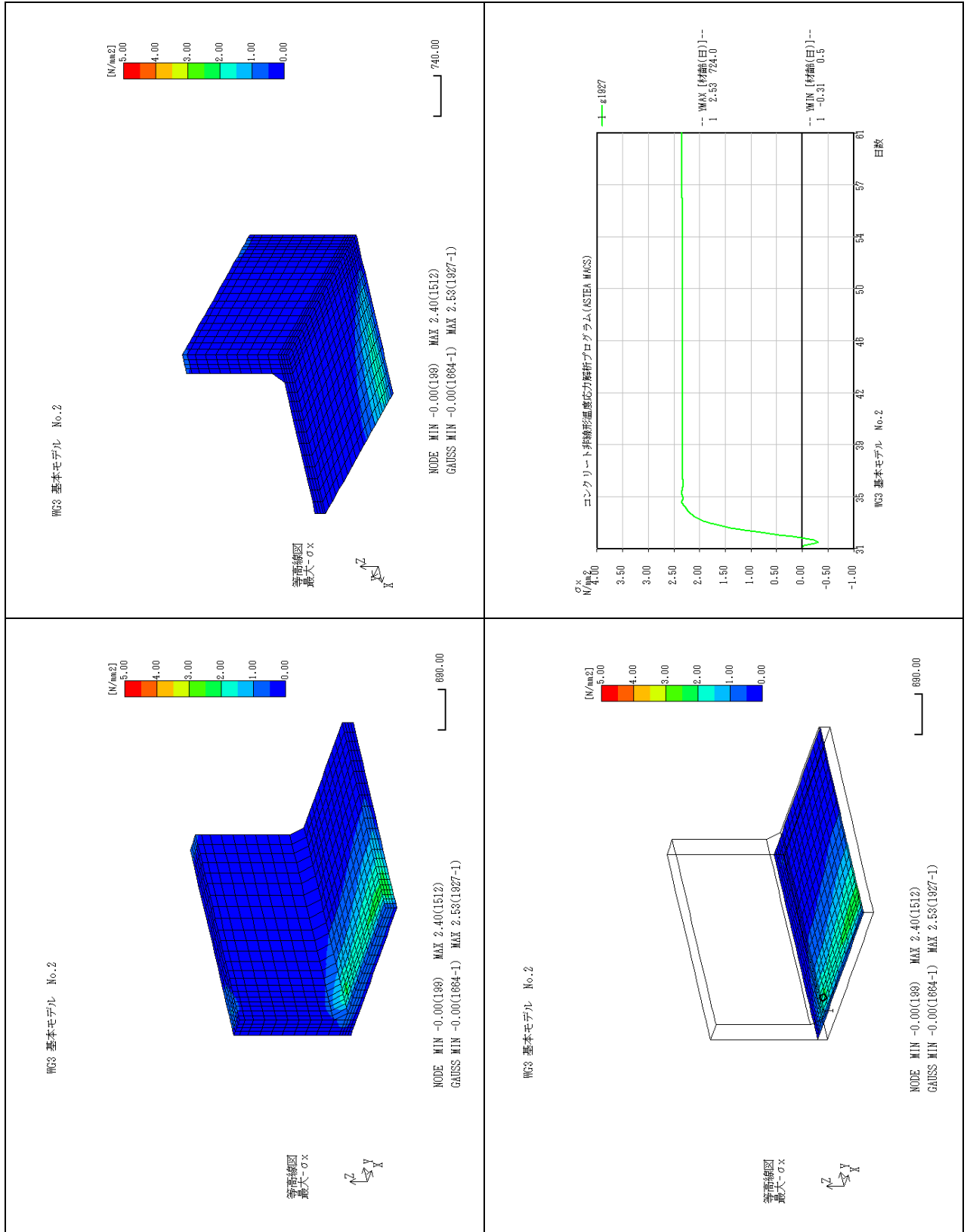
参表-3.7.4 上床版着目 成分応力 (σ_x) 結果



参表-3.7.5 ウェブ着目 成分応力 (σ_z) 結果

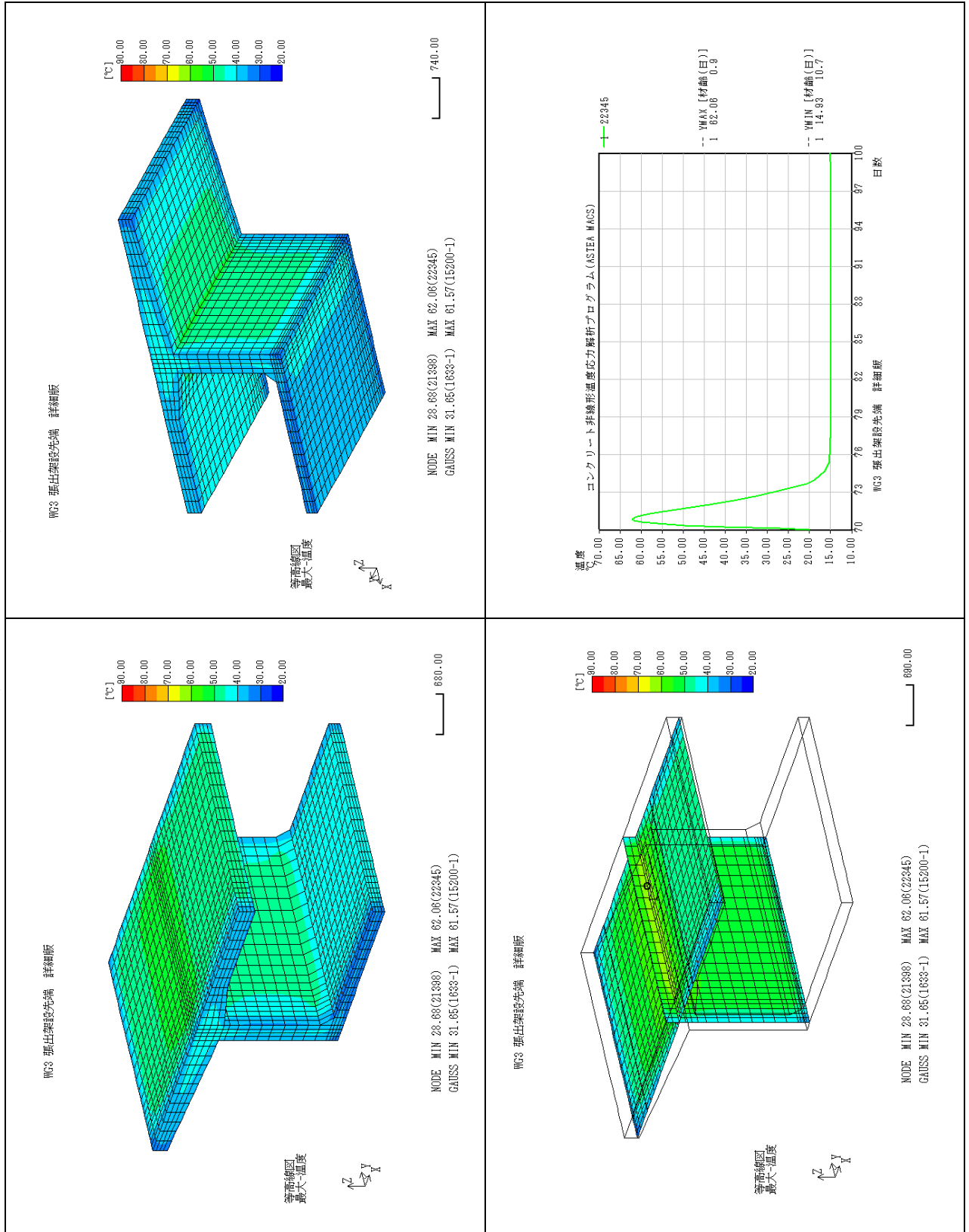


参表-3.7.6 下床版着目 成分応力 (σ_x) 結果

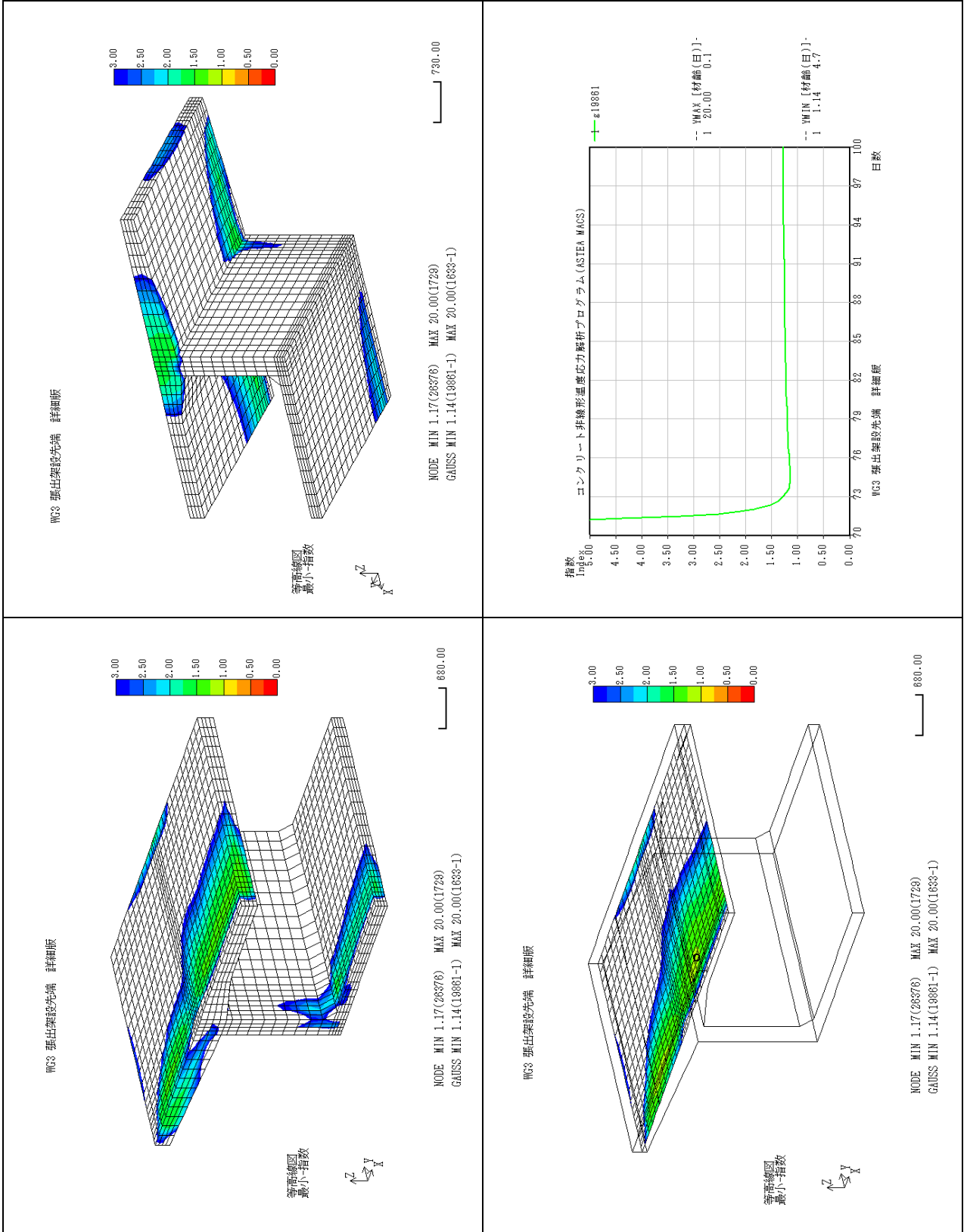


8. 張出先端モデル(d-1-1)

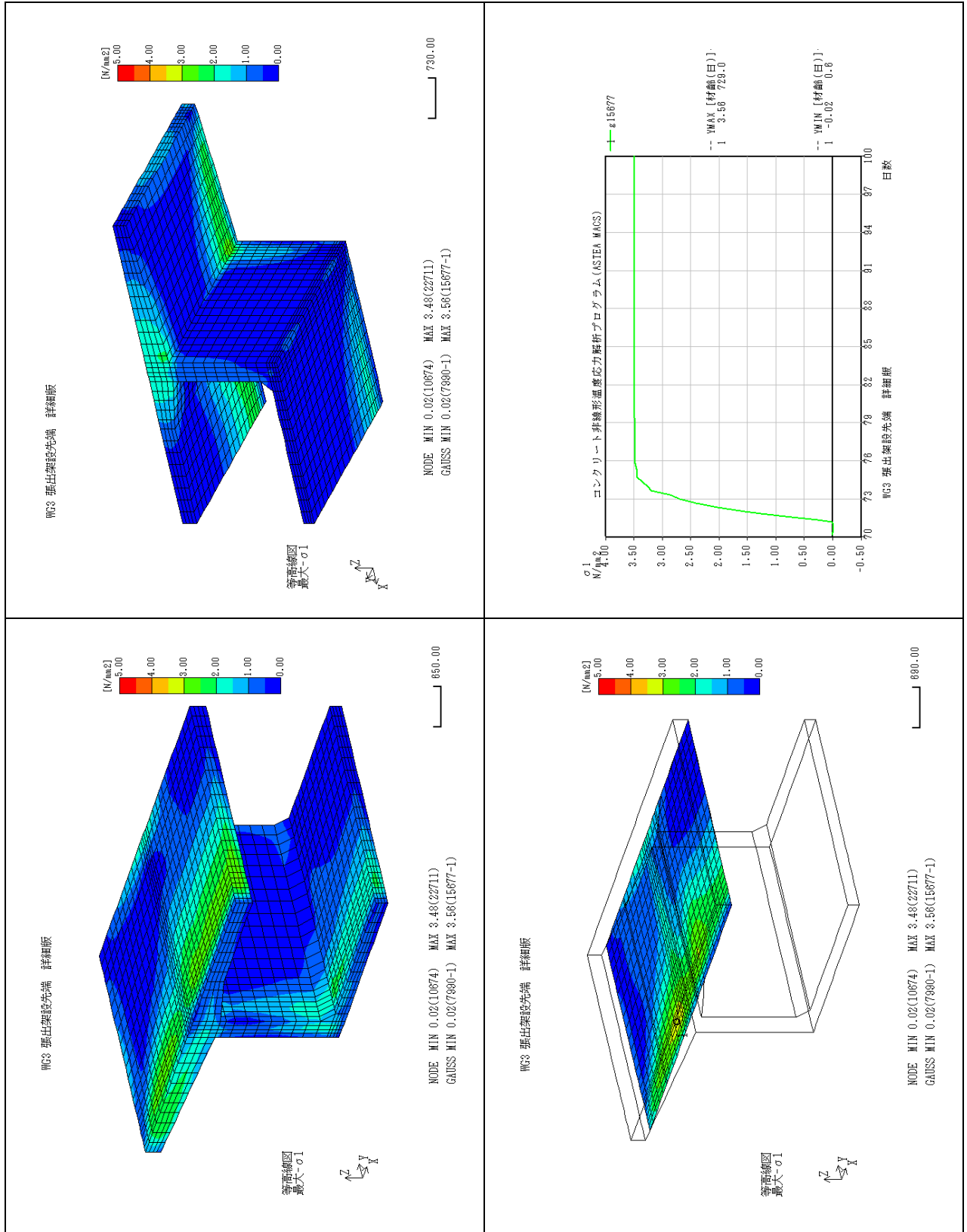
参表-3.8.1 温度結果



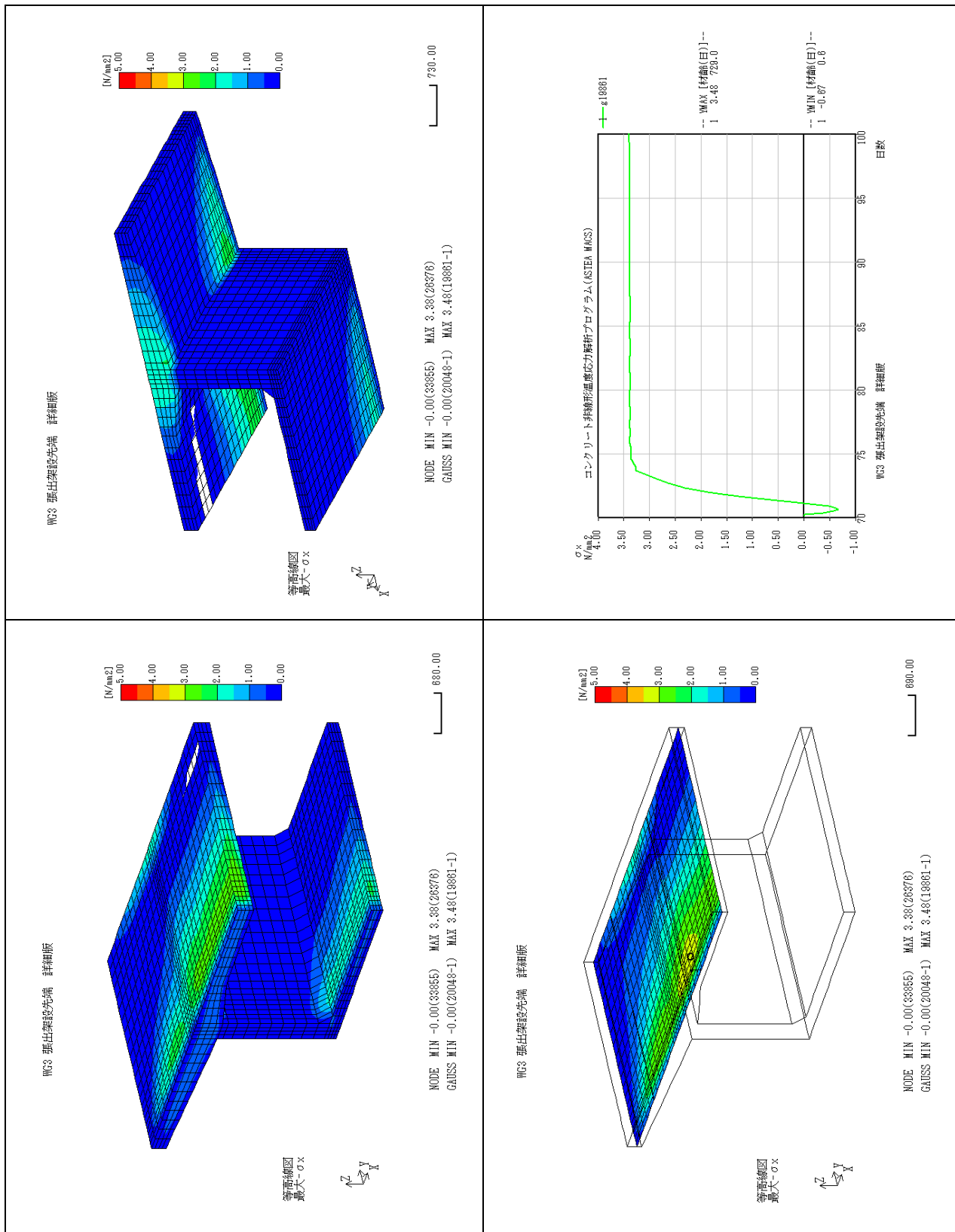
参表-3.8.2 指数結果



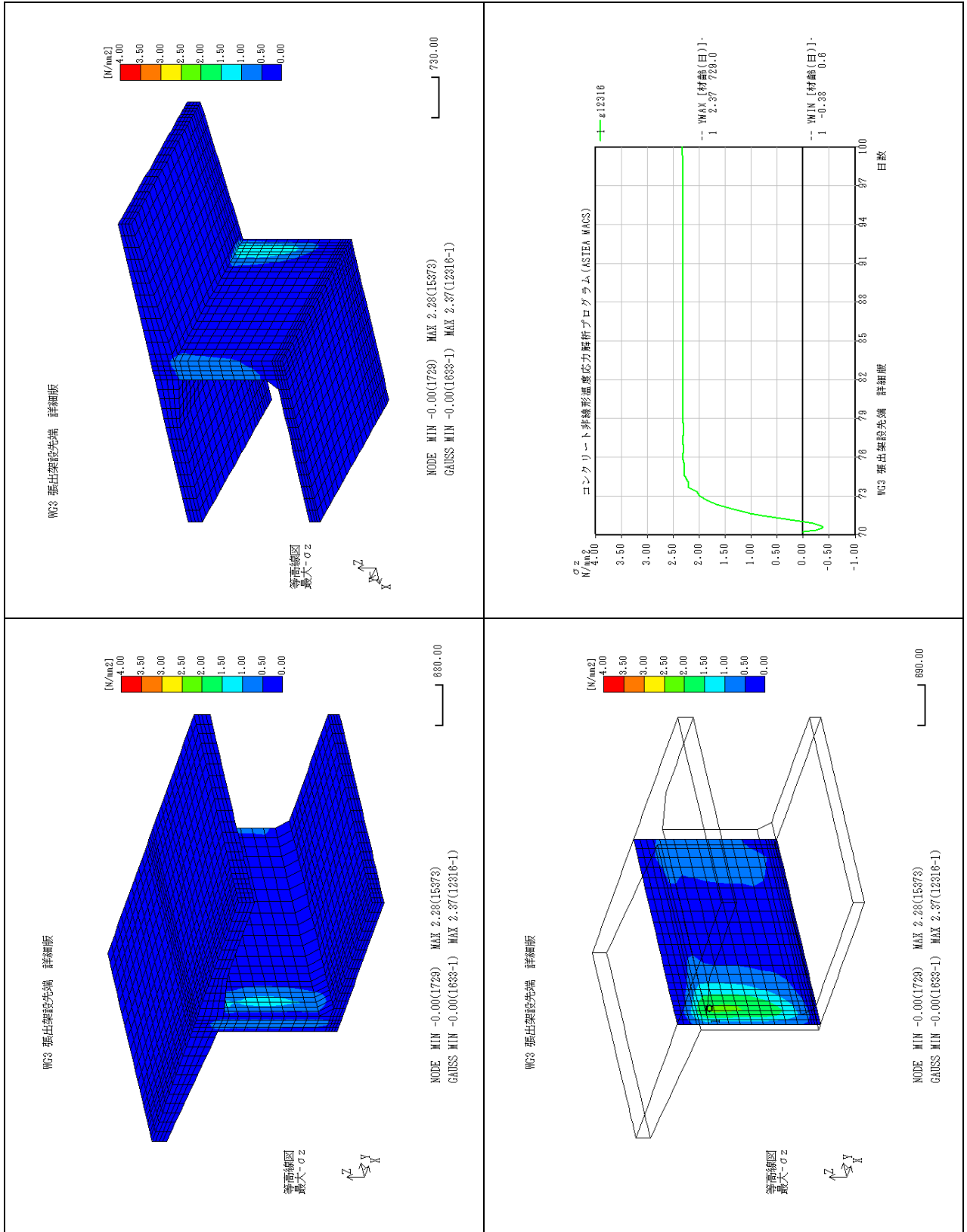
参表-3.8.3 主応力結果



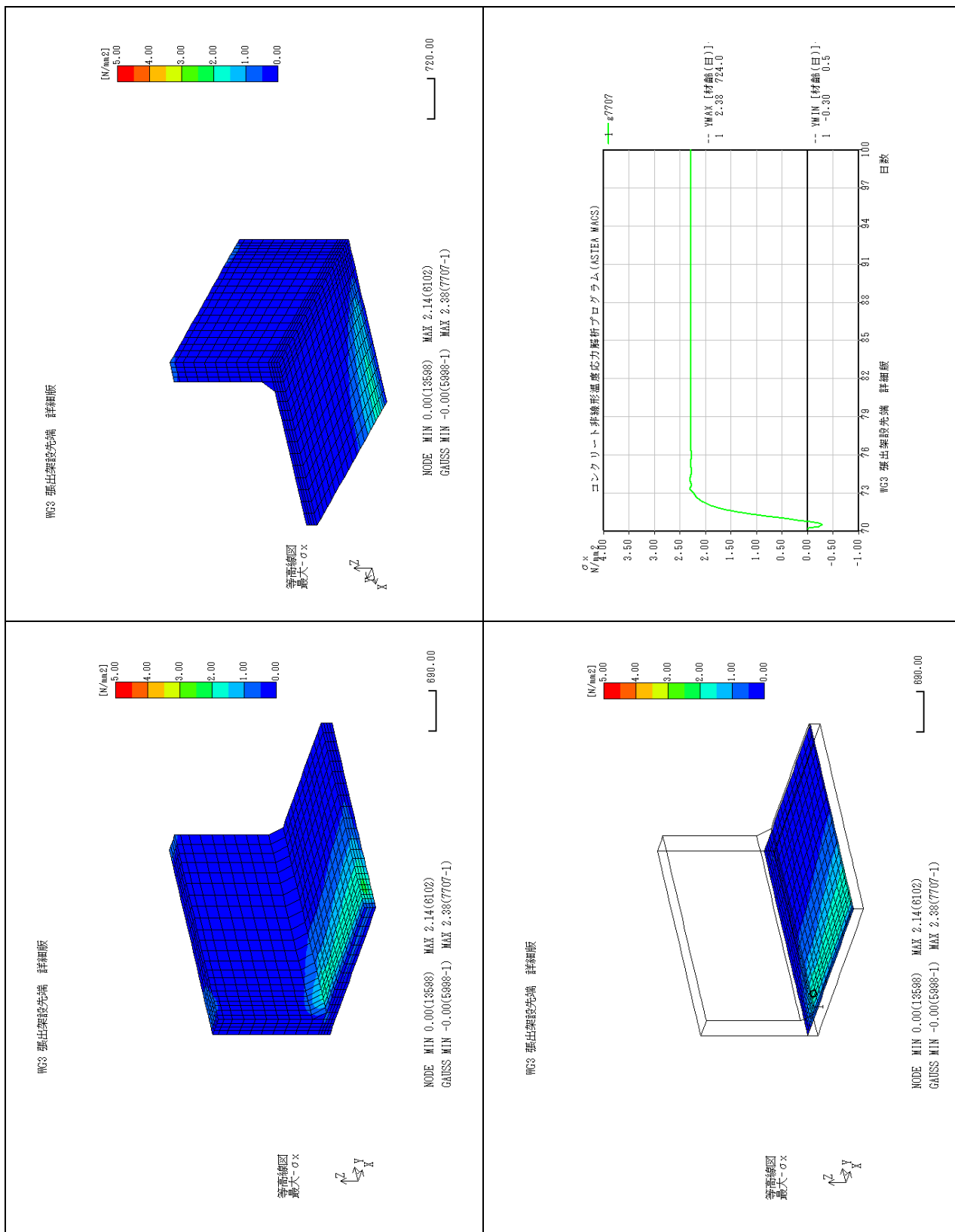
参表-3.8.4 上床版着目 成分応力 (σ_x) 結果



参表-3.8.5 ウェブ着目 成分応力 (σ_z) 結果

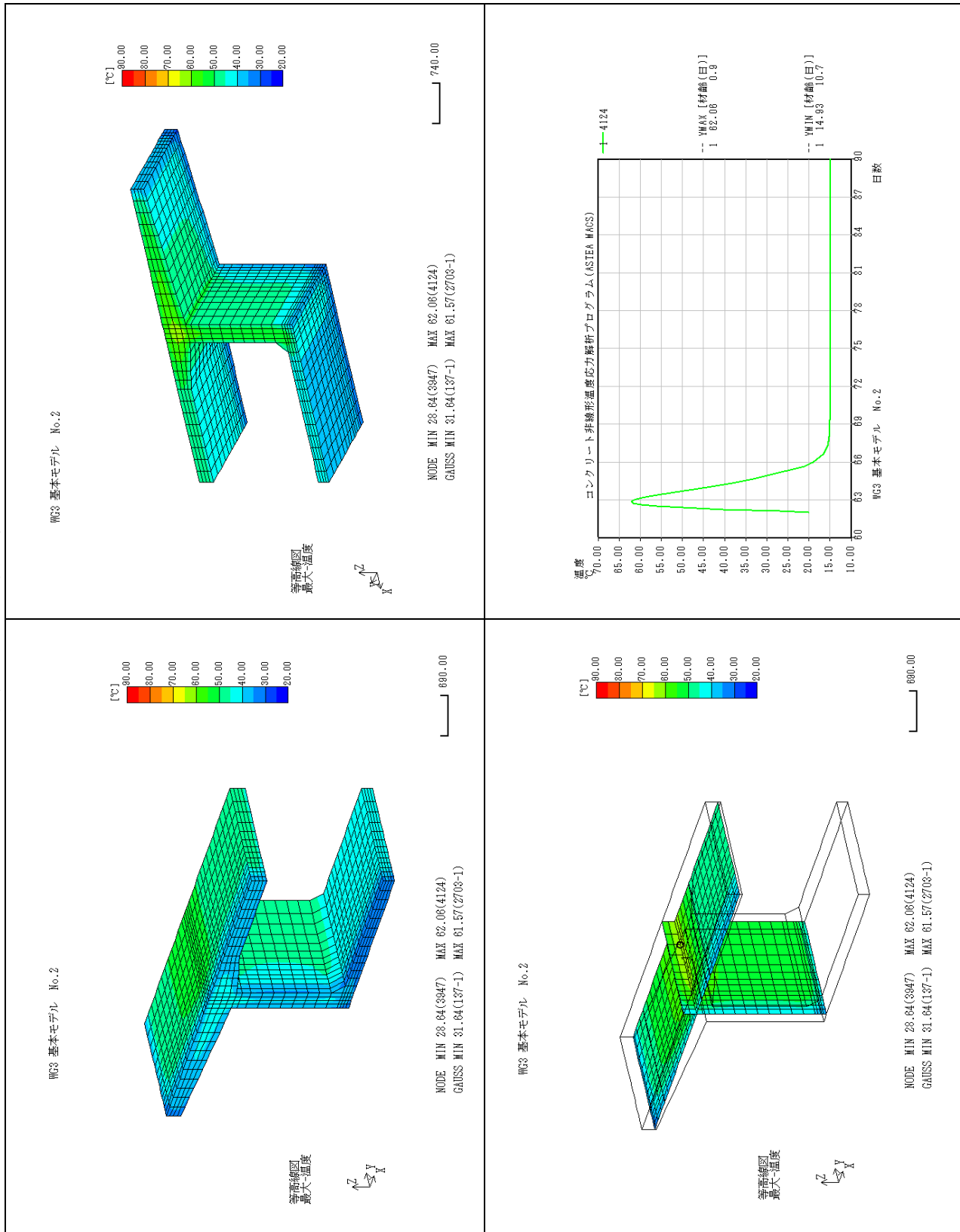


参表-3.8.6 下床版着目 成分応力 (σ_x) 結果

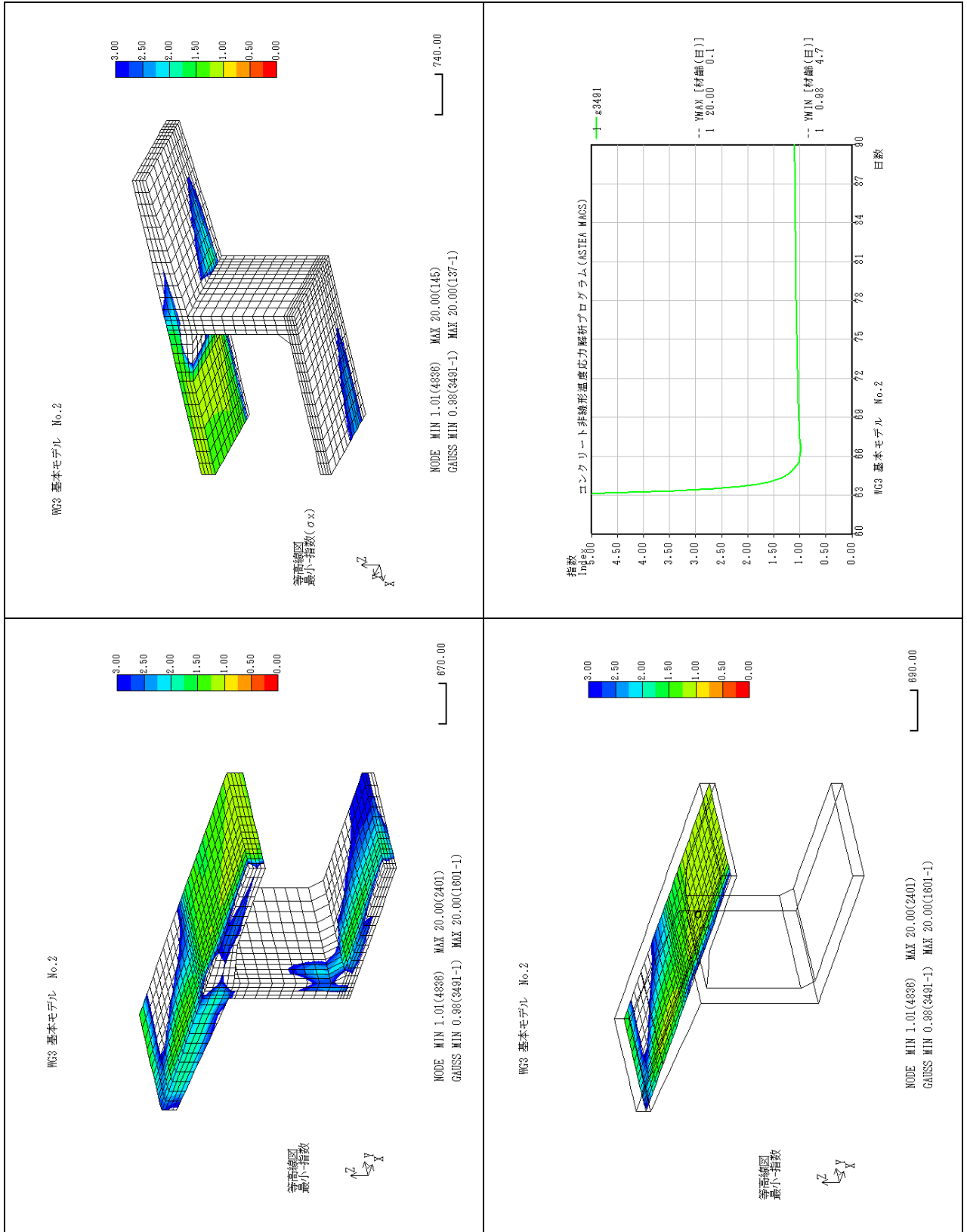


9. 中央閉合モデル(d-1-2)

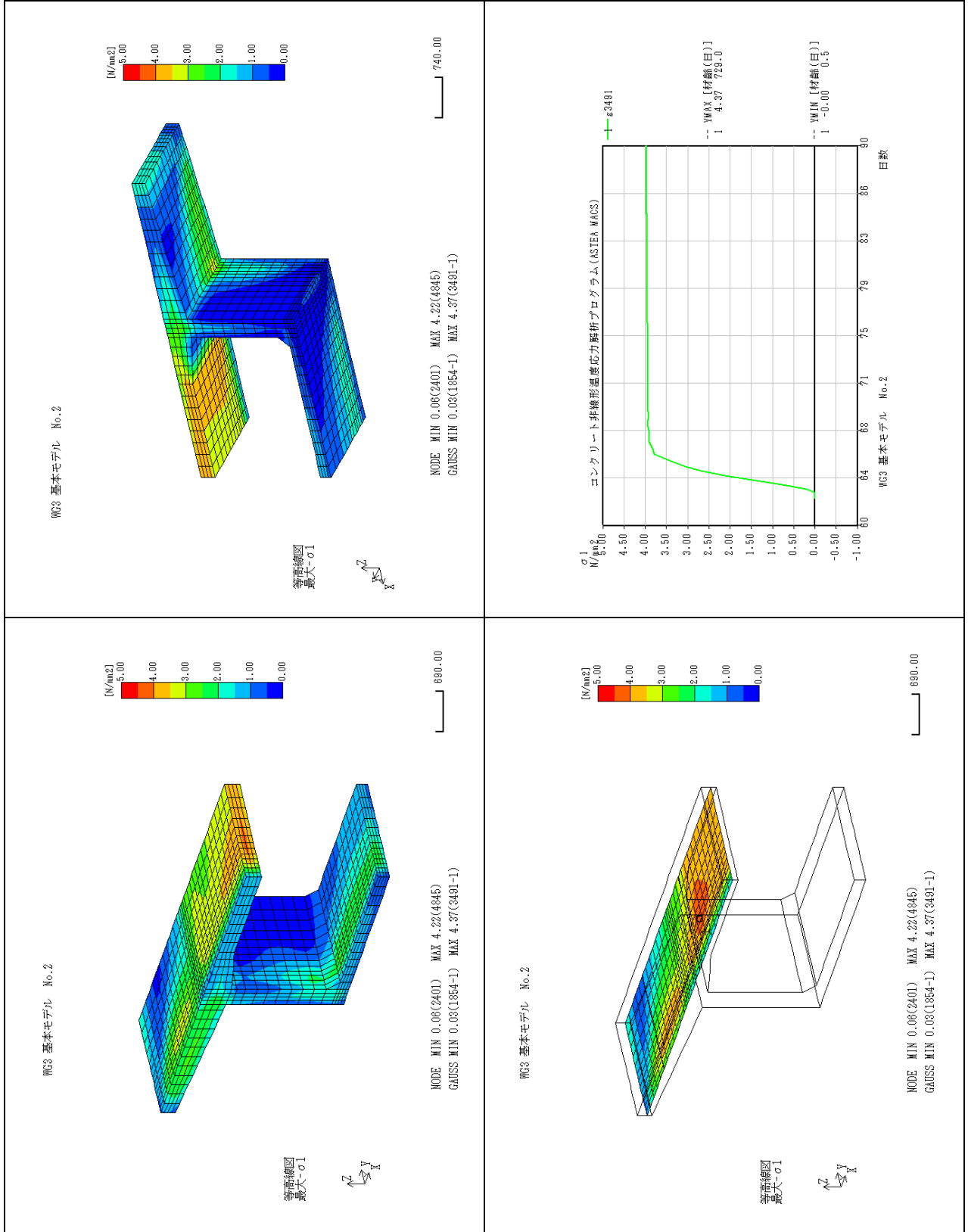
参表-3.9.1 温度結果



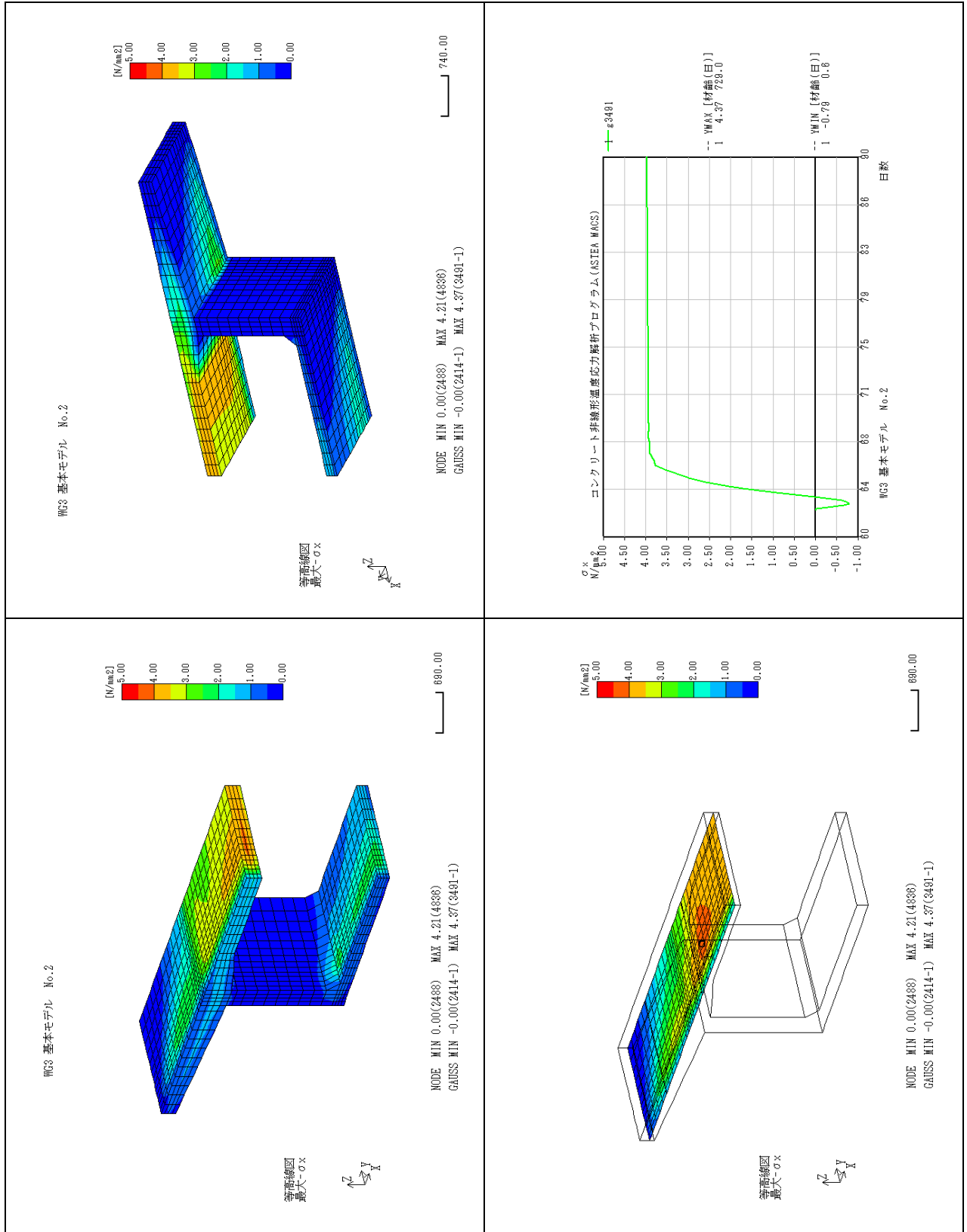
参表-3.9.2 指数結果



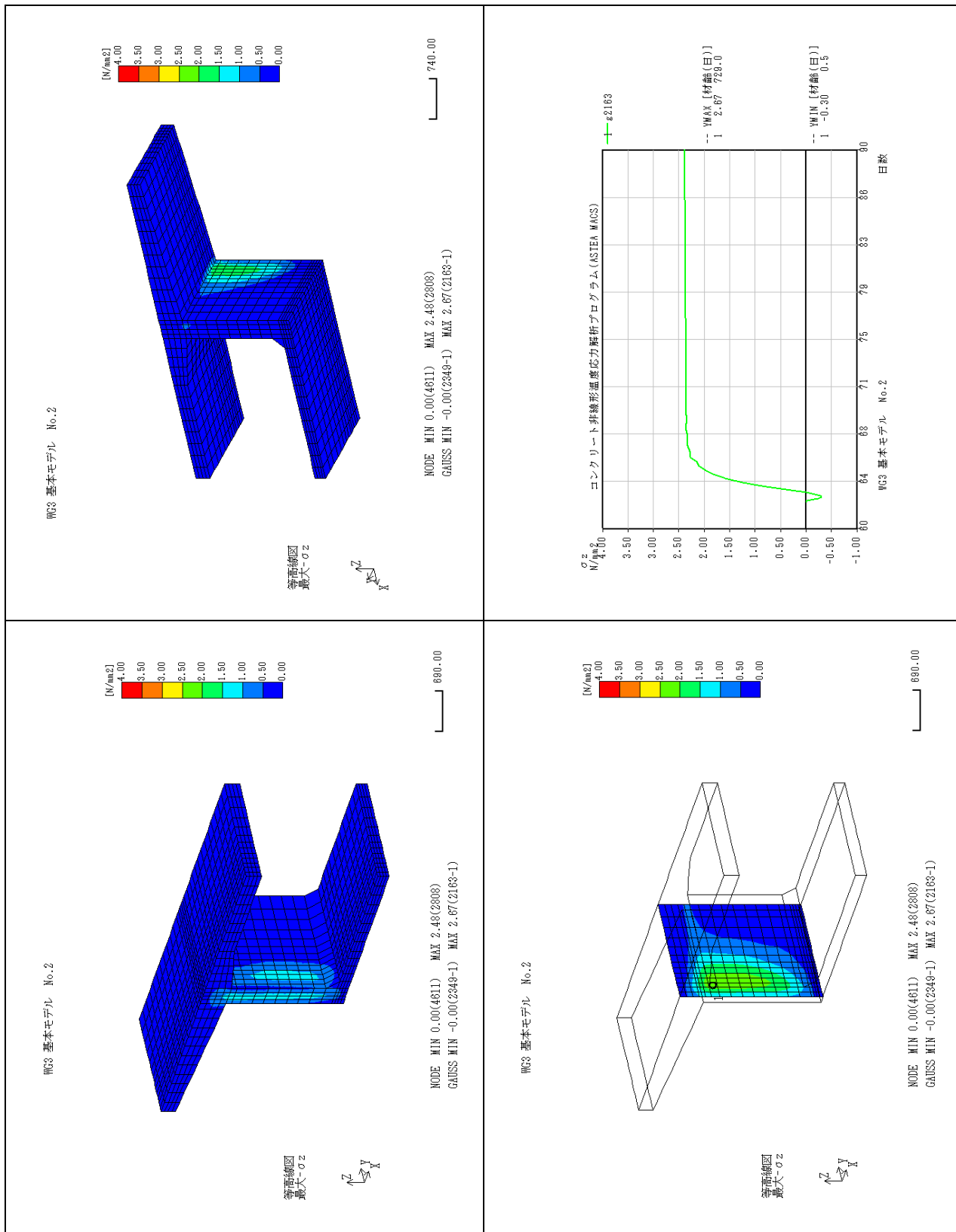
参表-3.9.3 主応力結果



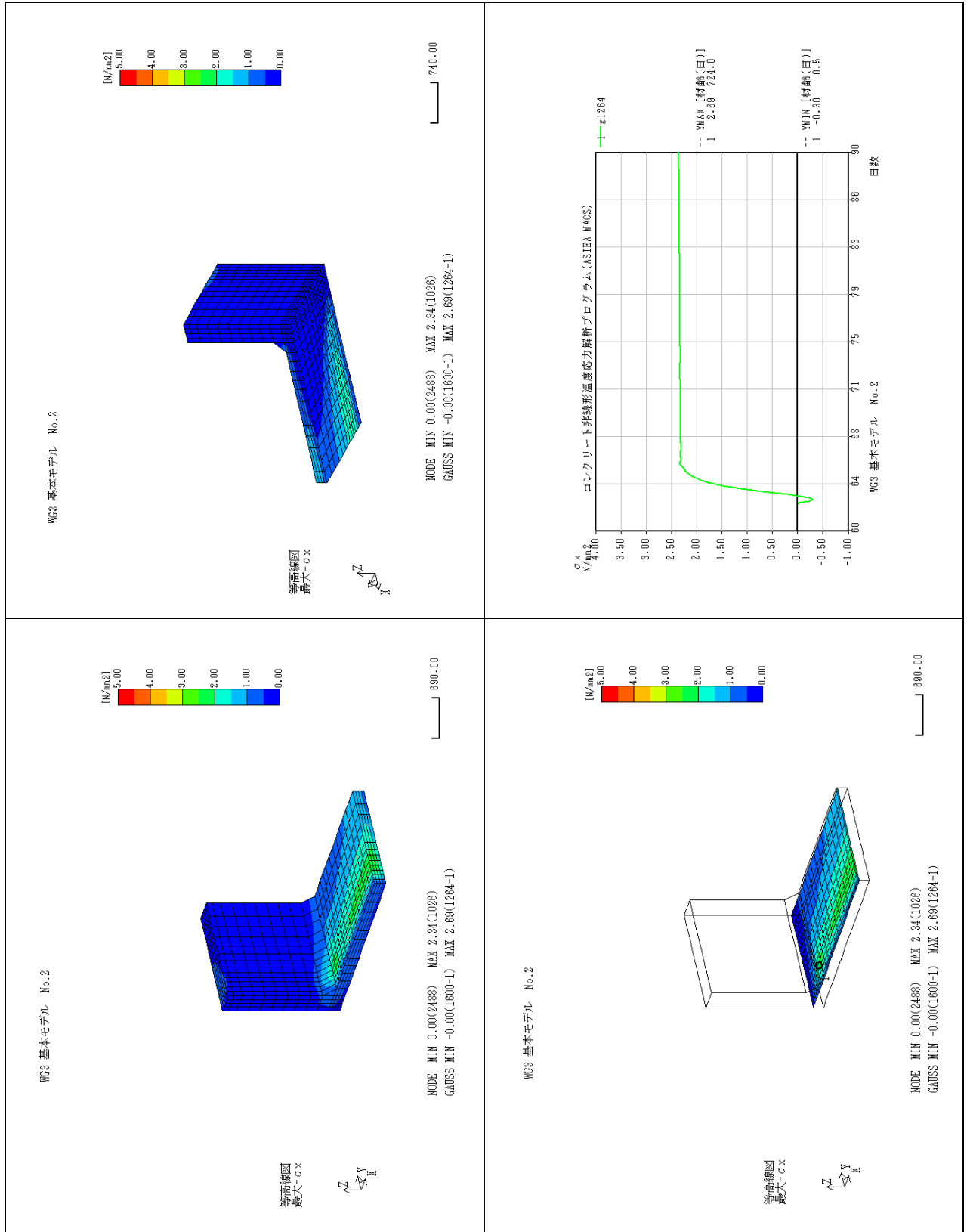
参表-3.9.4 上床版着目 成分応力 (σ_x) 結果



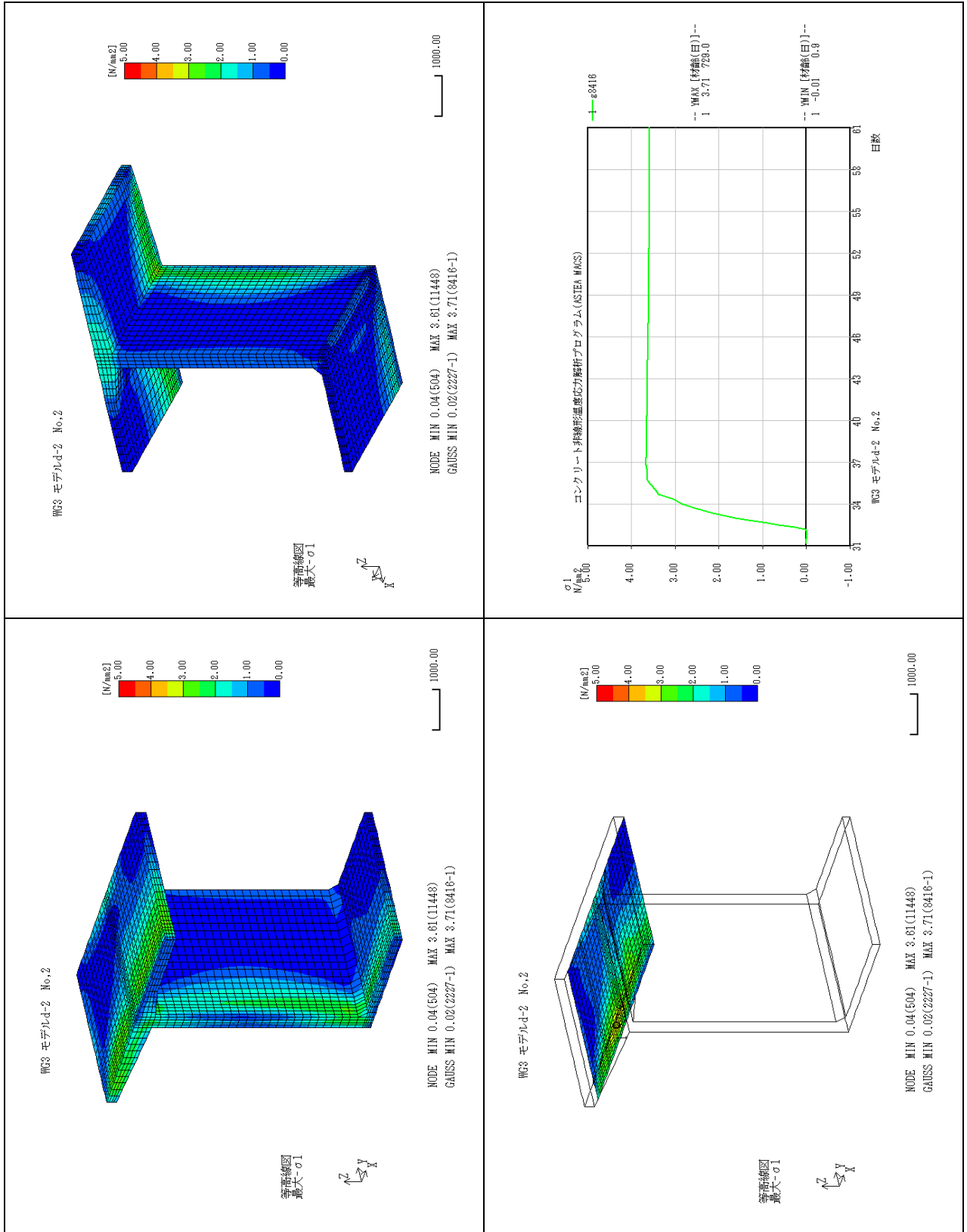
参表-3.9.5 ウェブ着目 成分応力 (σ_z) 結果



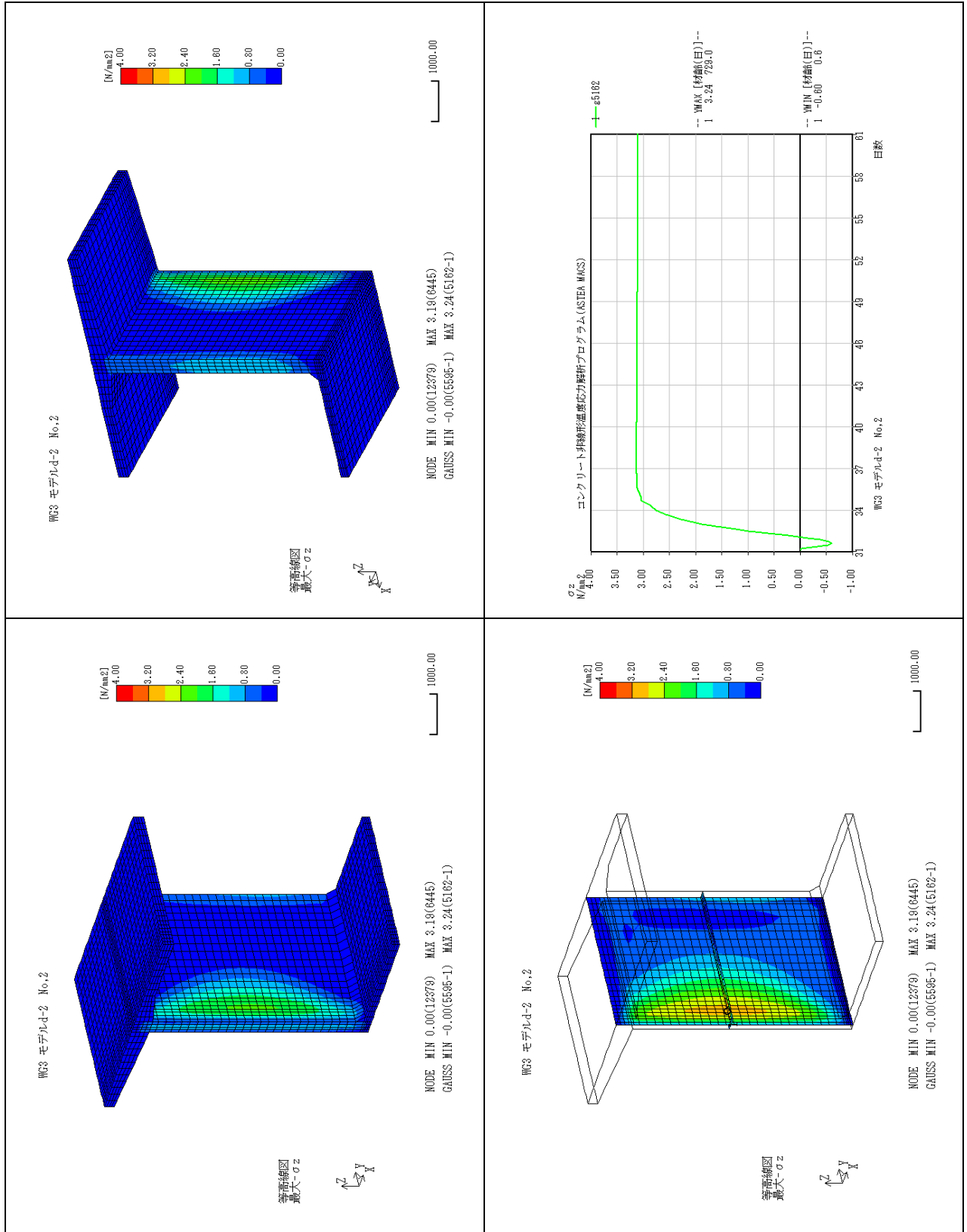
参表-3.9.6 下床版着目 成分応力 (σ_x) 結果



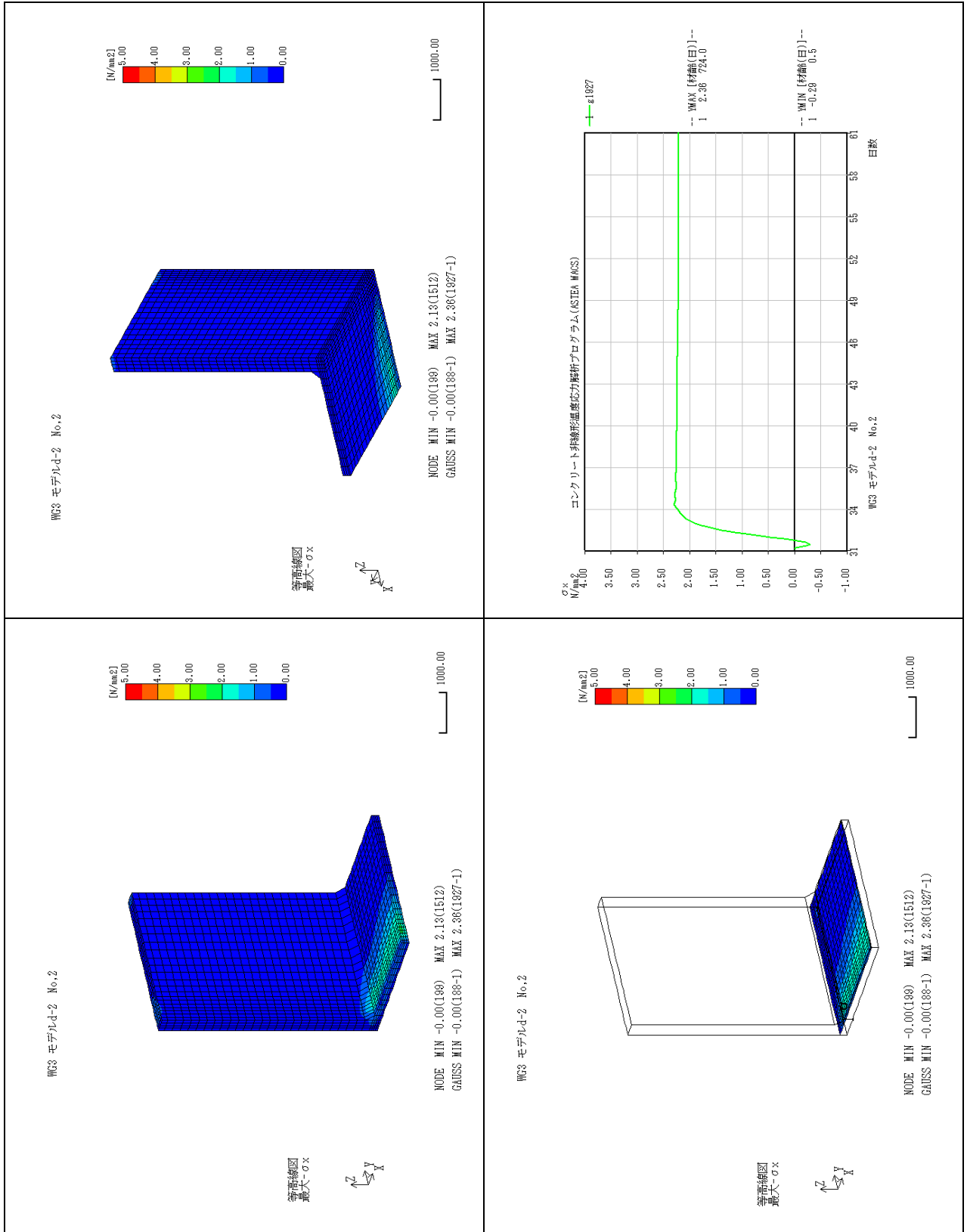
参表-3.10.3 主応力結果



参考-3.10.5 ウェブ着目 成分応力 (σ_z) 結果

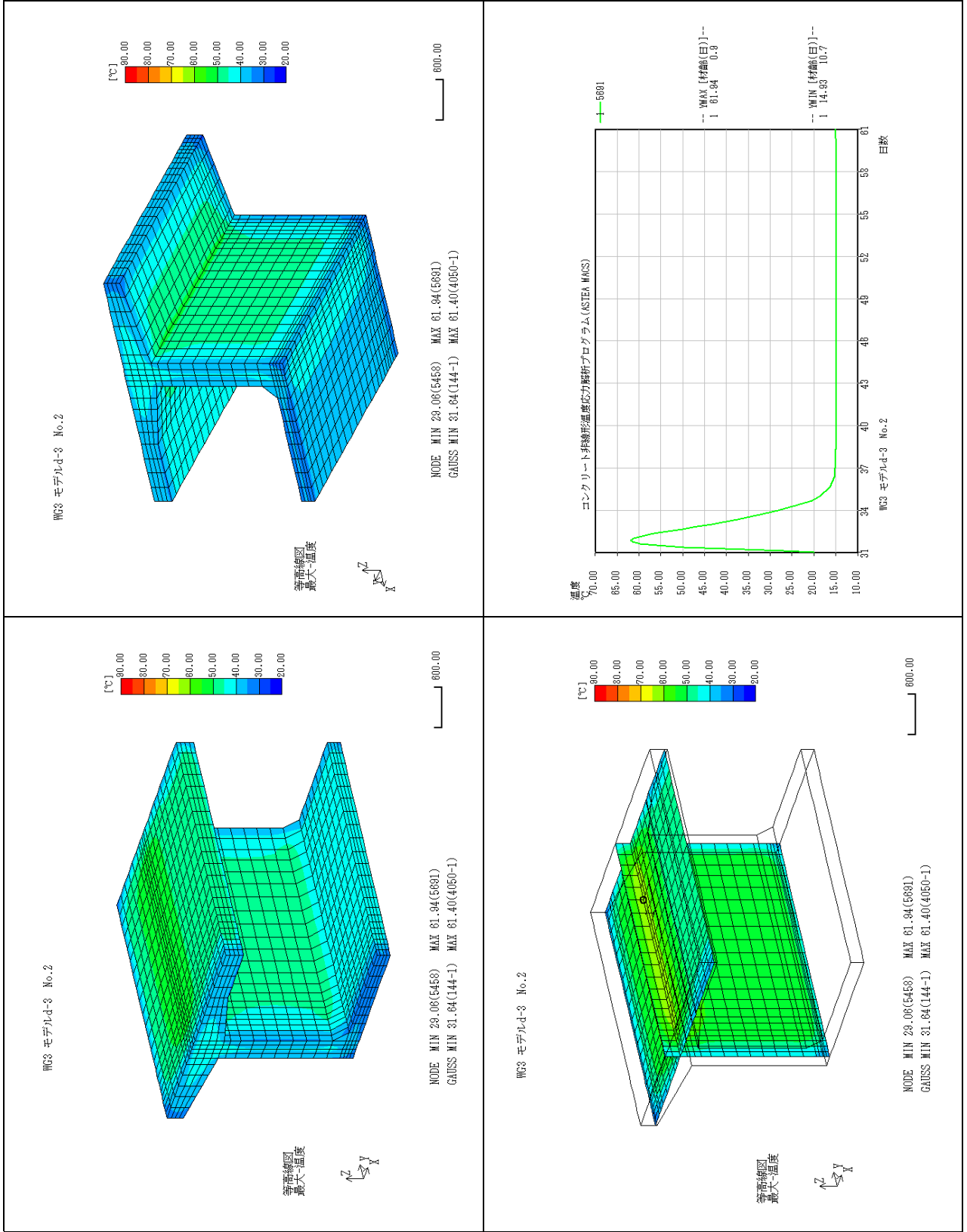


参表-3.10.6 下床版着目 成分応力 (σ_x) 結果

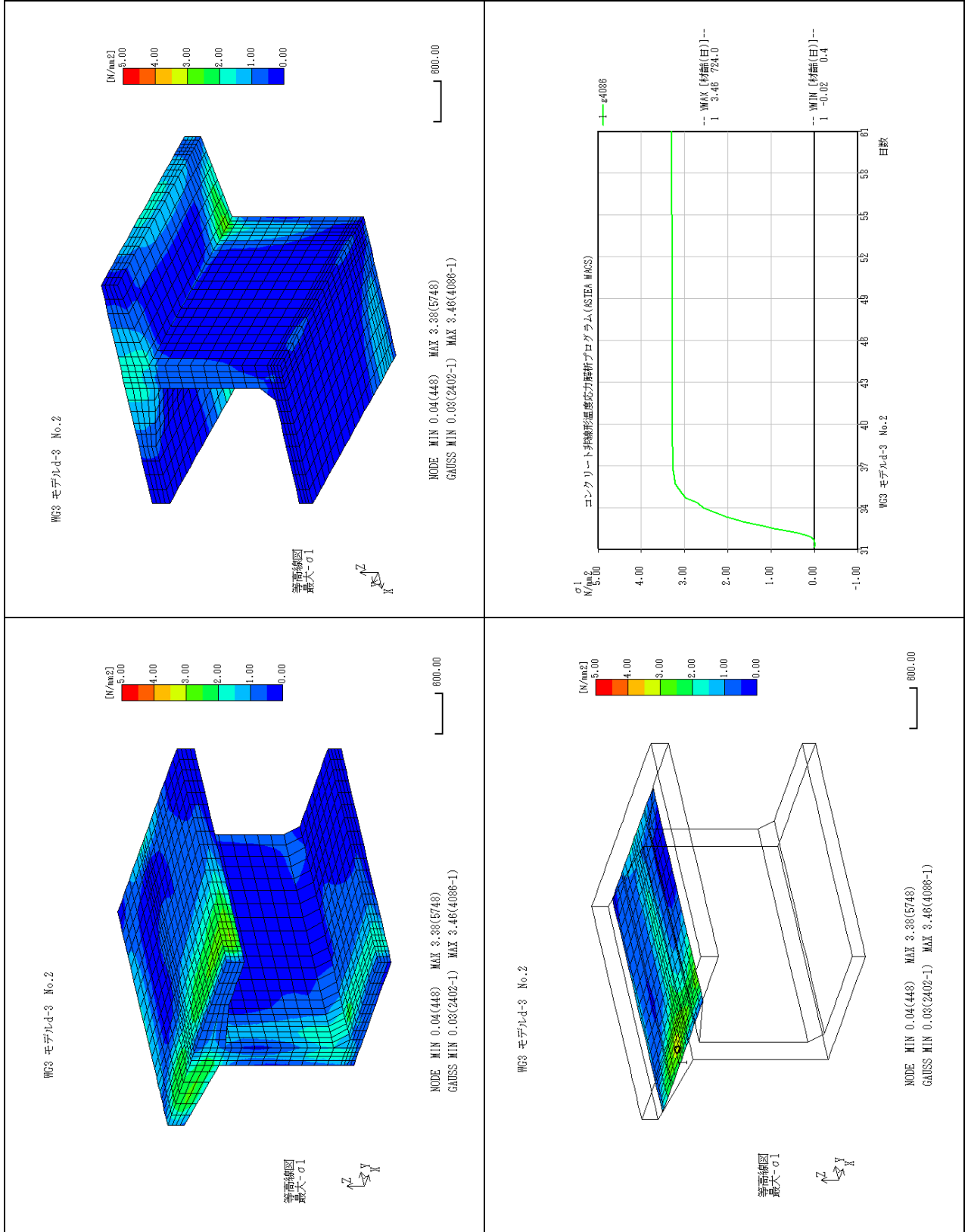


11. モデル3 幅員7.6m(d-3)

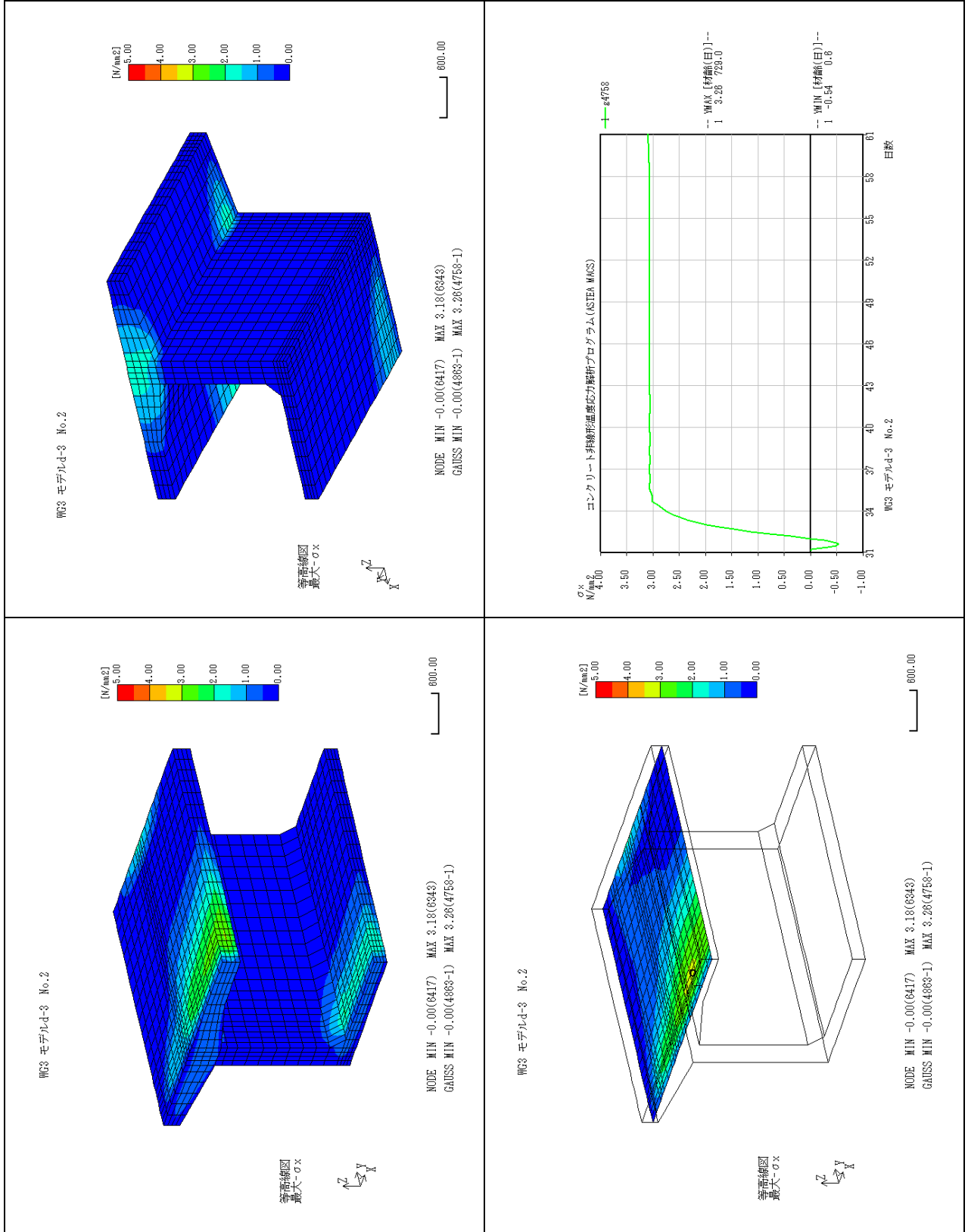
参表-3.11.1 温度結果



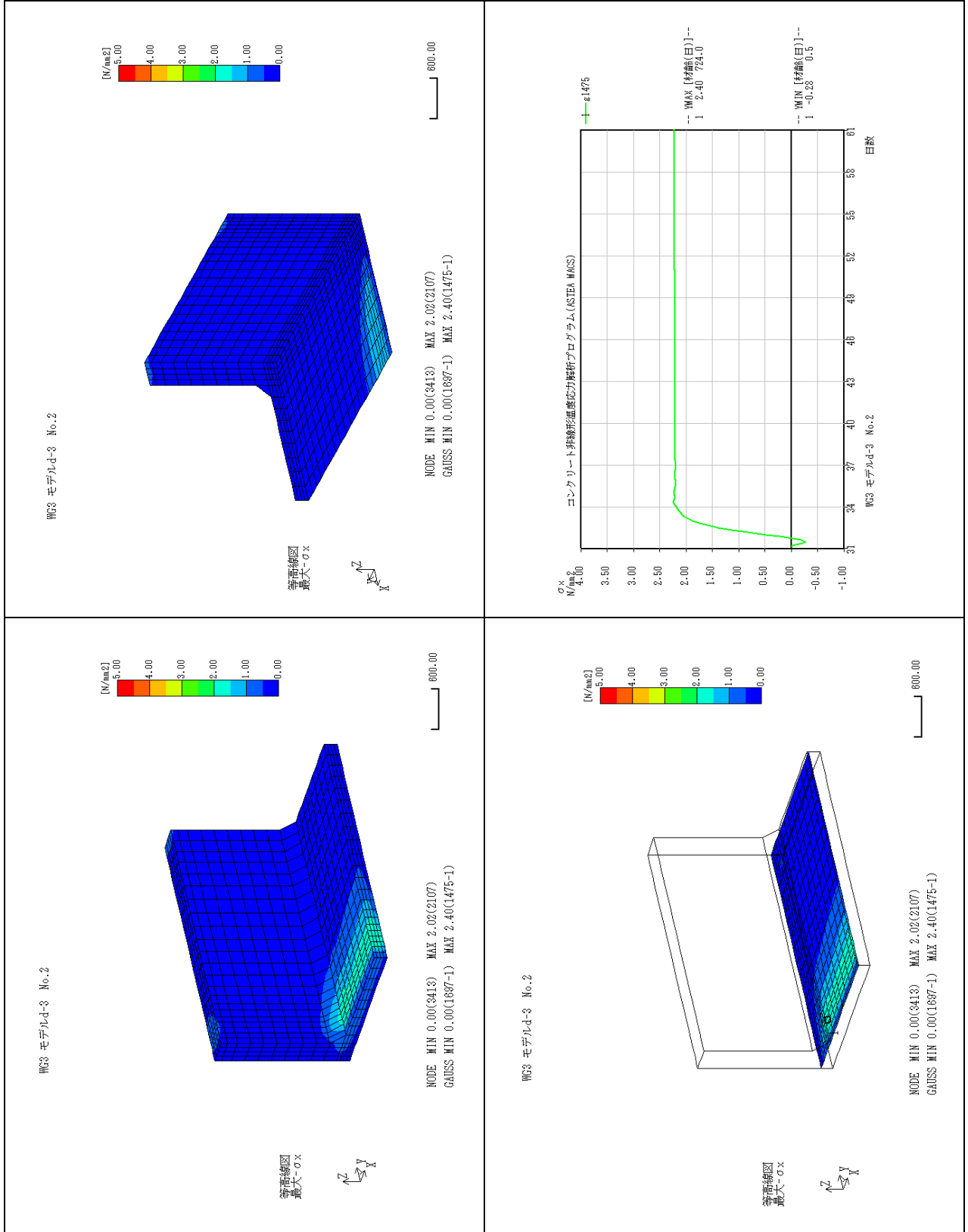
参表-3.11.3 主応力結果



参表-3.11.4 上床版着目 成分応力 (σ_x) 結果

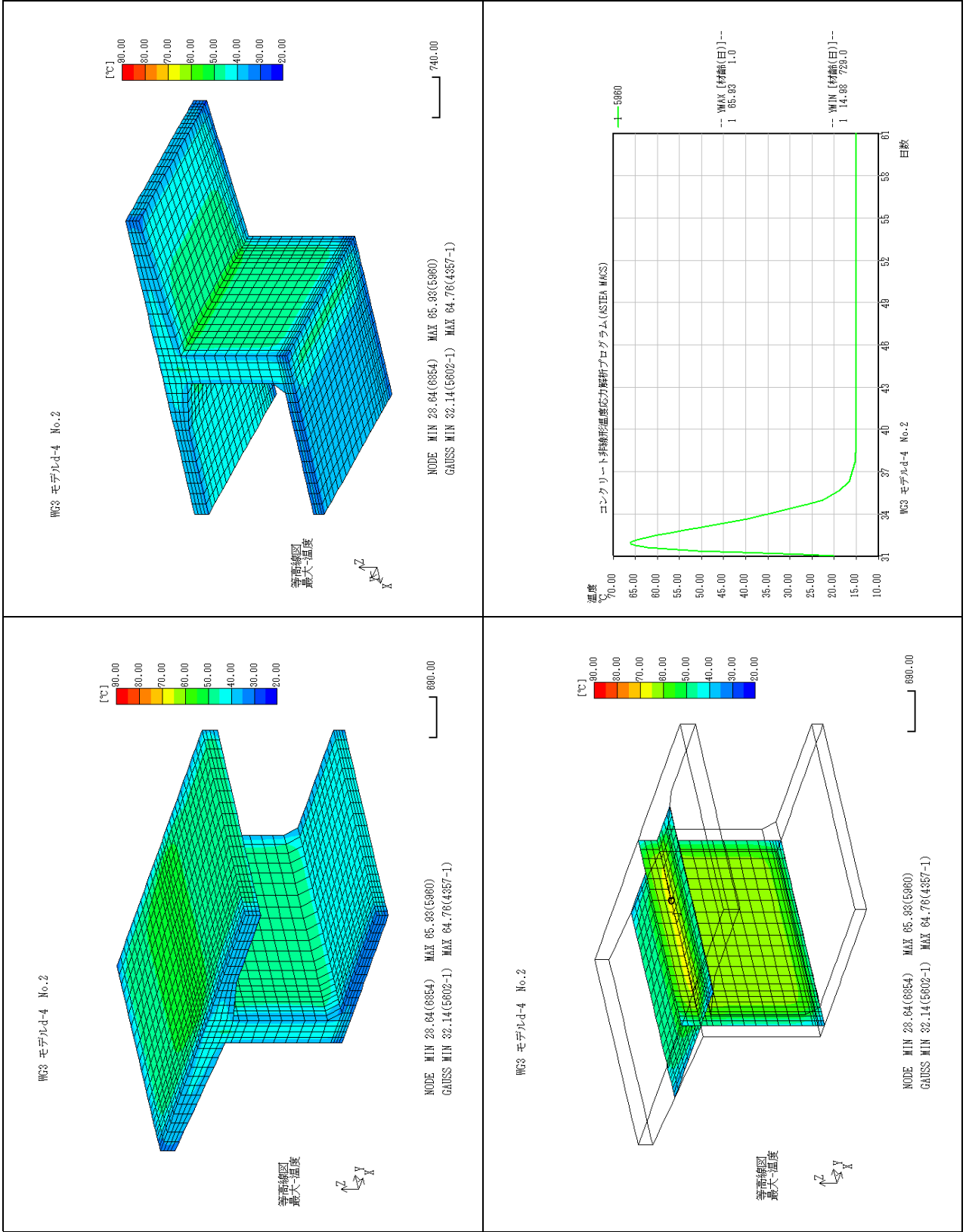


参表-3.11.6 下床版着目 成分応力 (σ_x) 結果

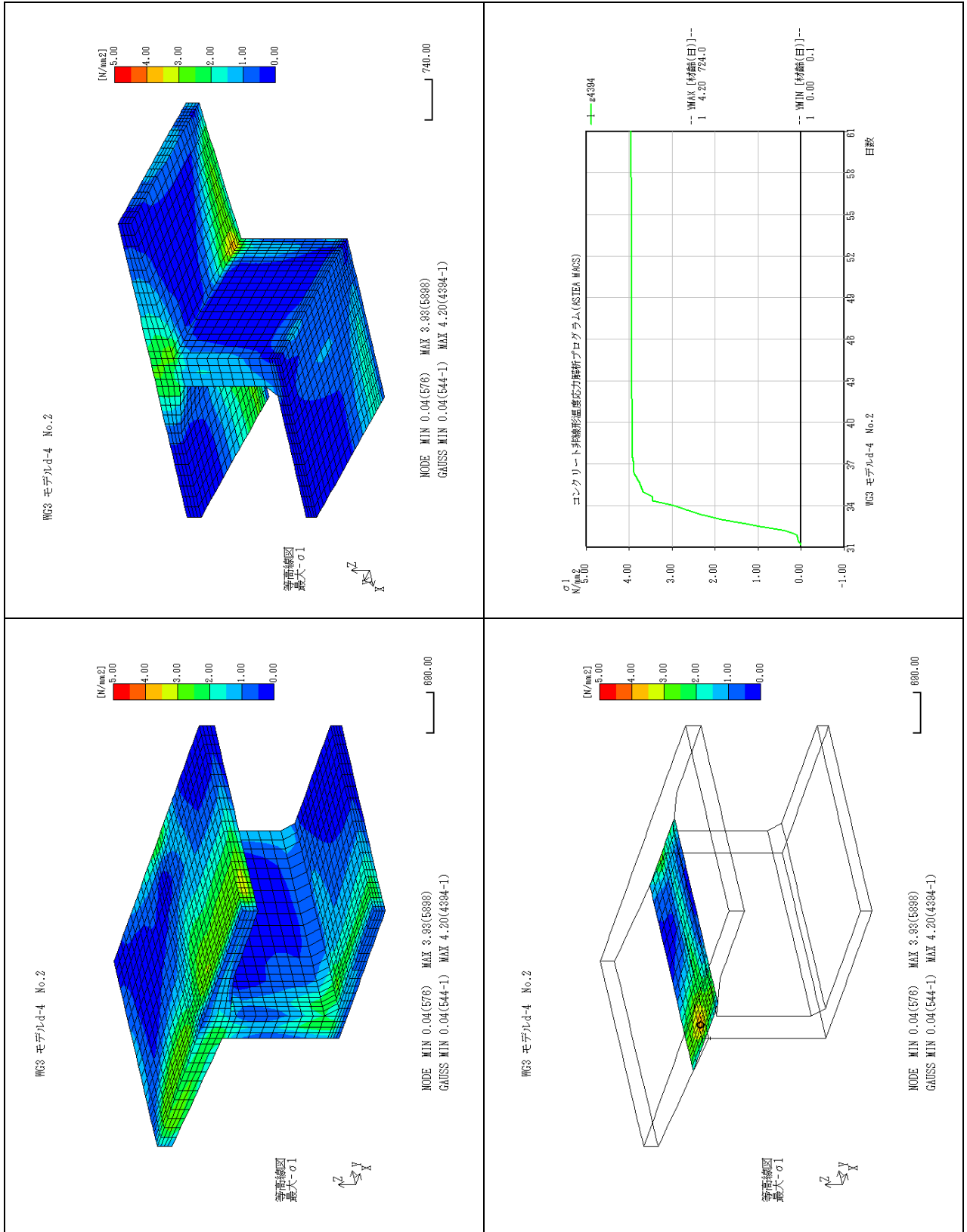


12. モデル4 ウェブ厚0.6m(d-4)

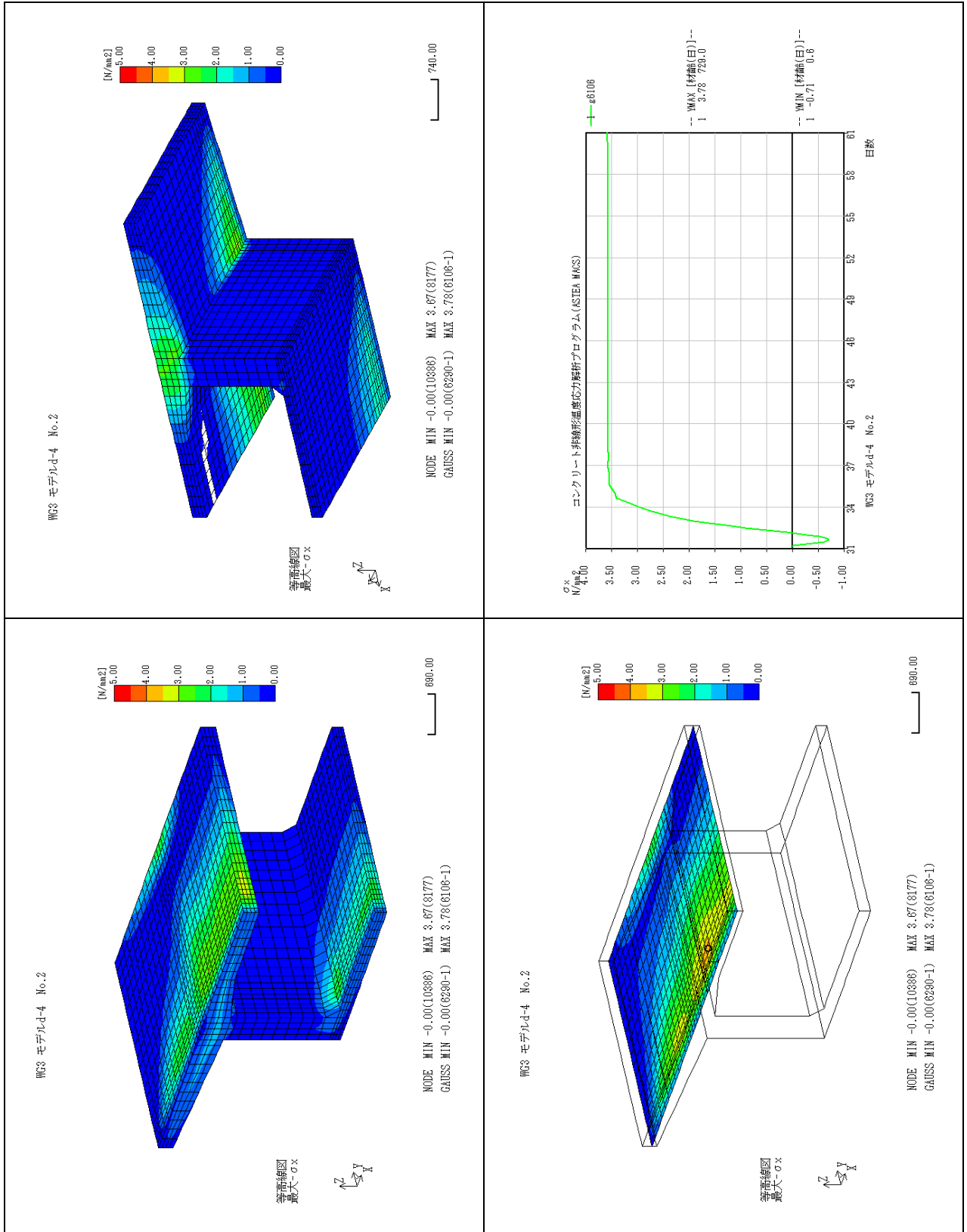
参表-3. 12.1 温度結果



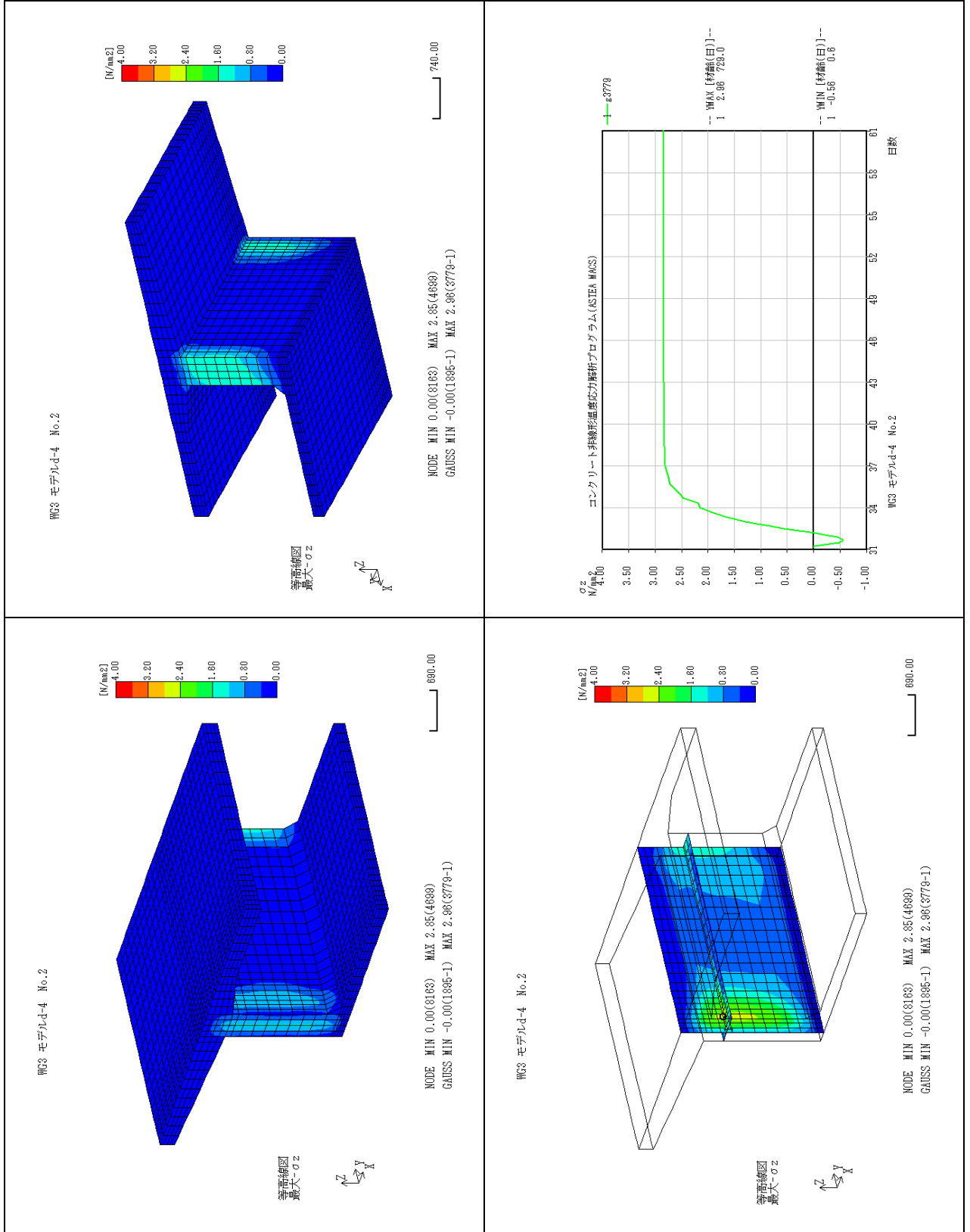
参考-3.12.3 主応力結果



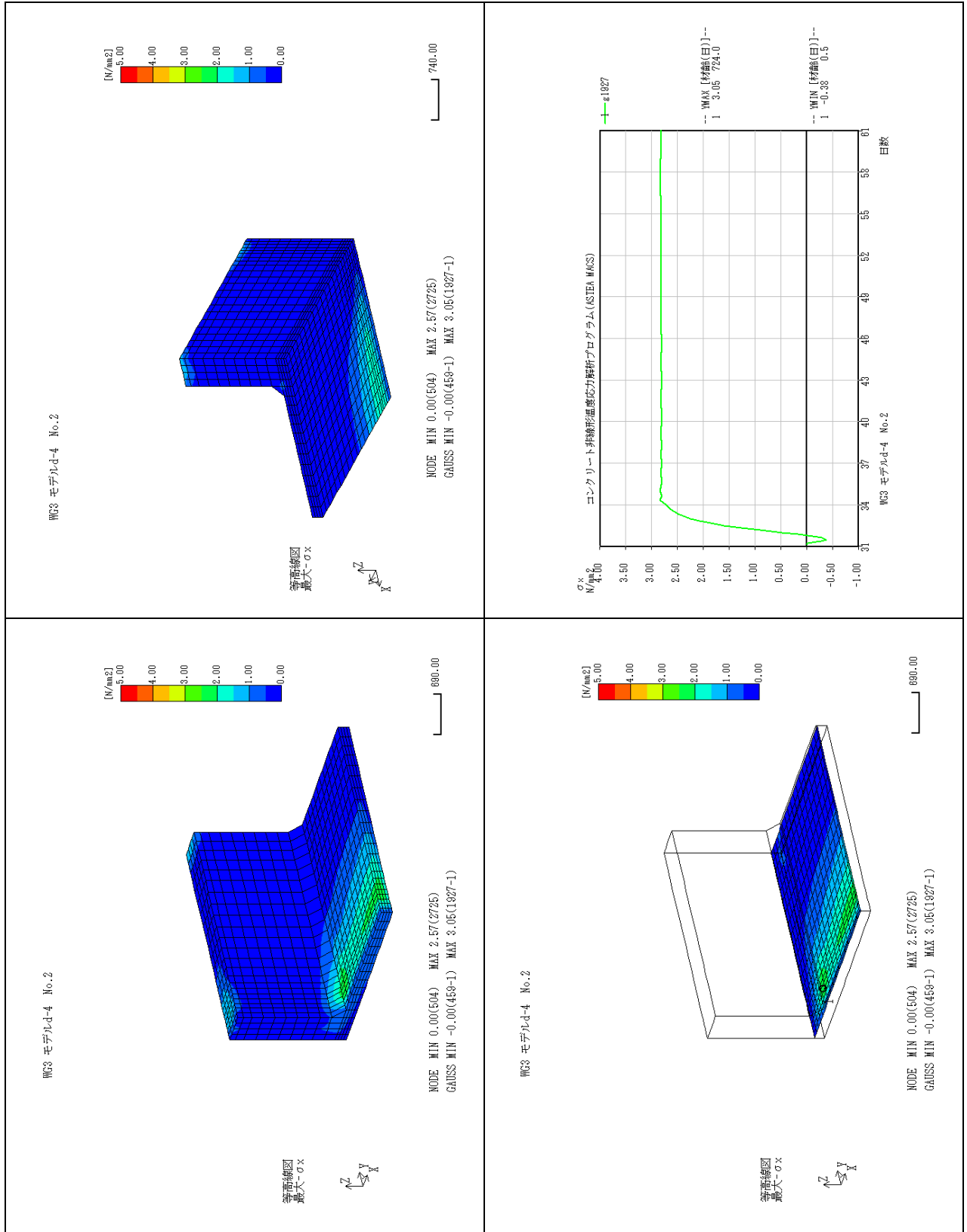
参表-3.12.4 上床版着目 成分応力 (σ_x) 結果



参考-3.12.5 ウェブ着目 成分応力 (σ_z) 結果

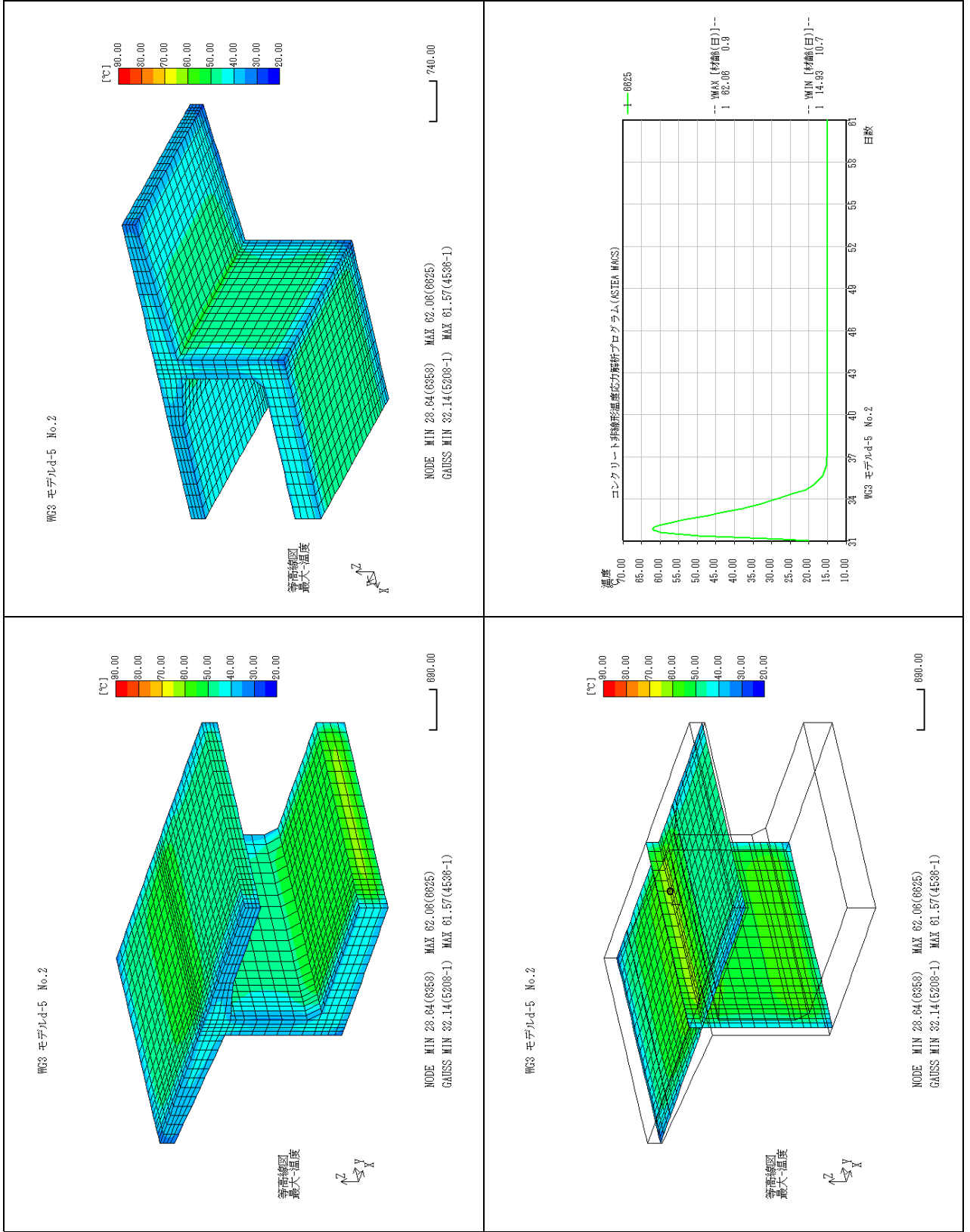


参表-3.12.6 下床版着目 成分応力 (σ_x) 結果

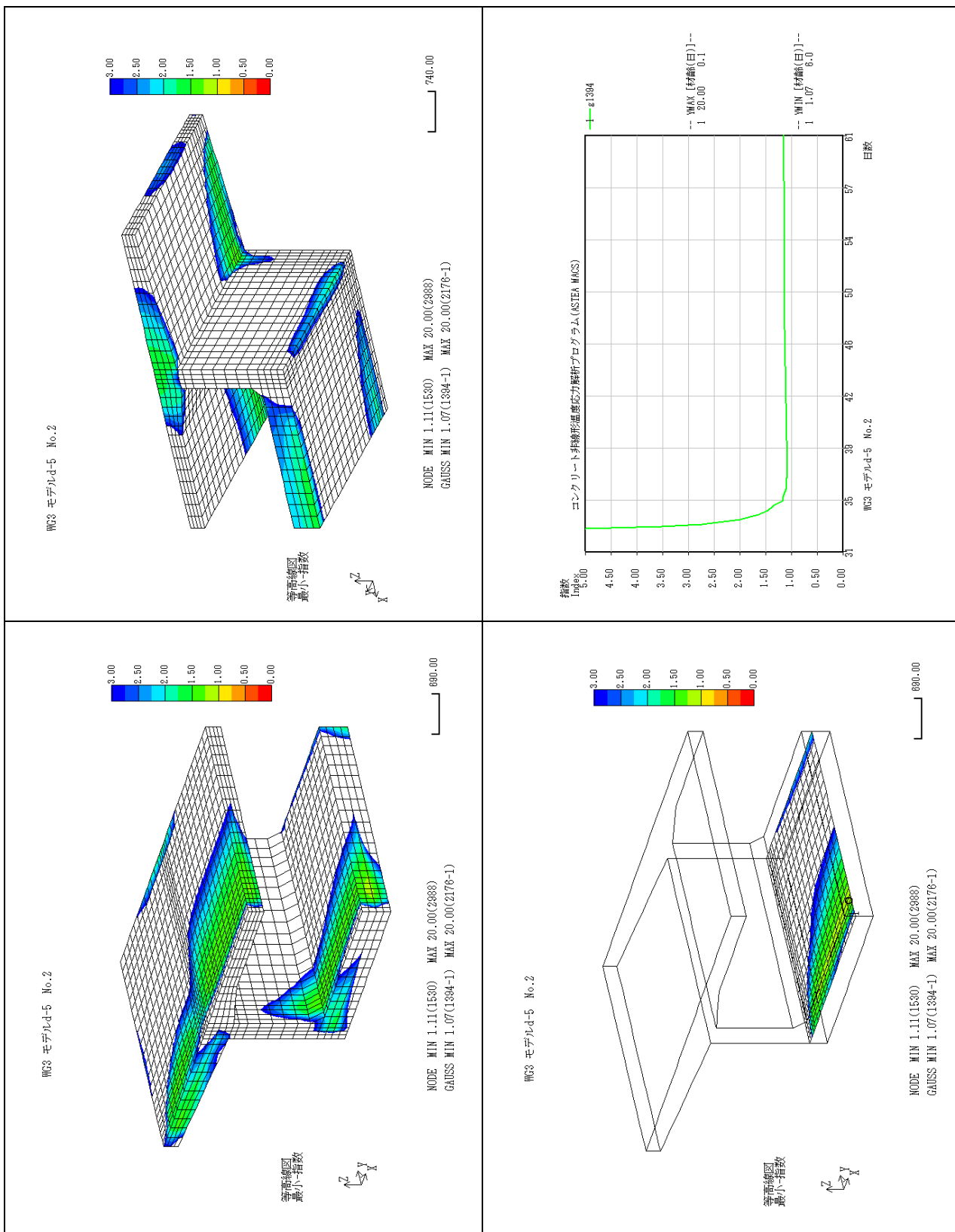


13. モデル5 下床板厚0.5m(d-5)

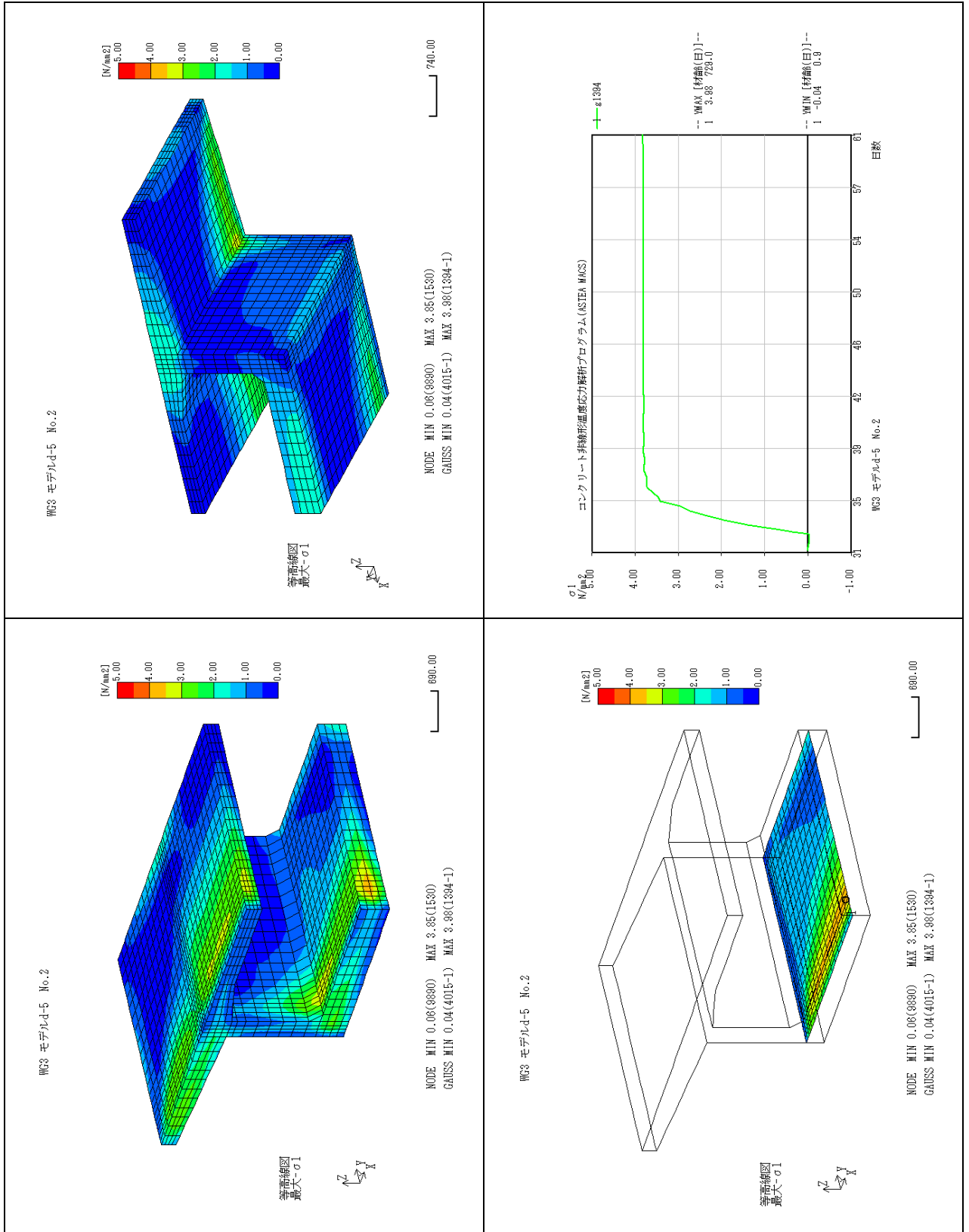
参表-3. 13.1 温度結果



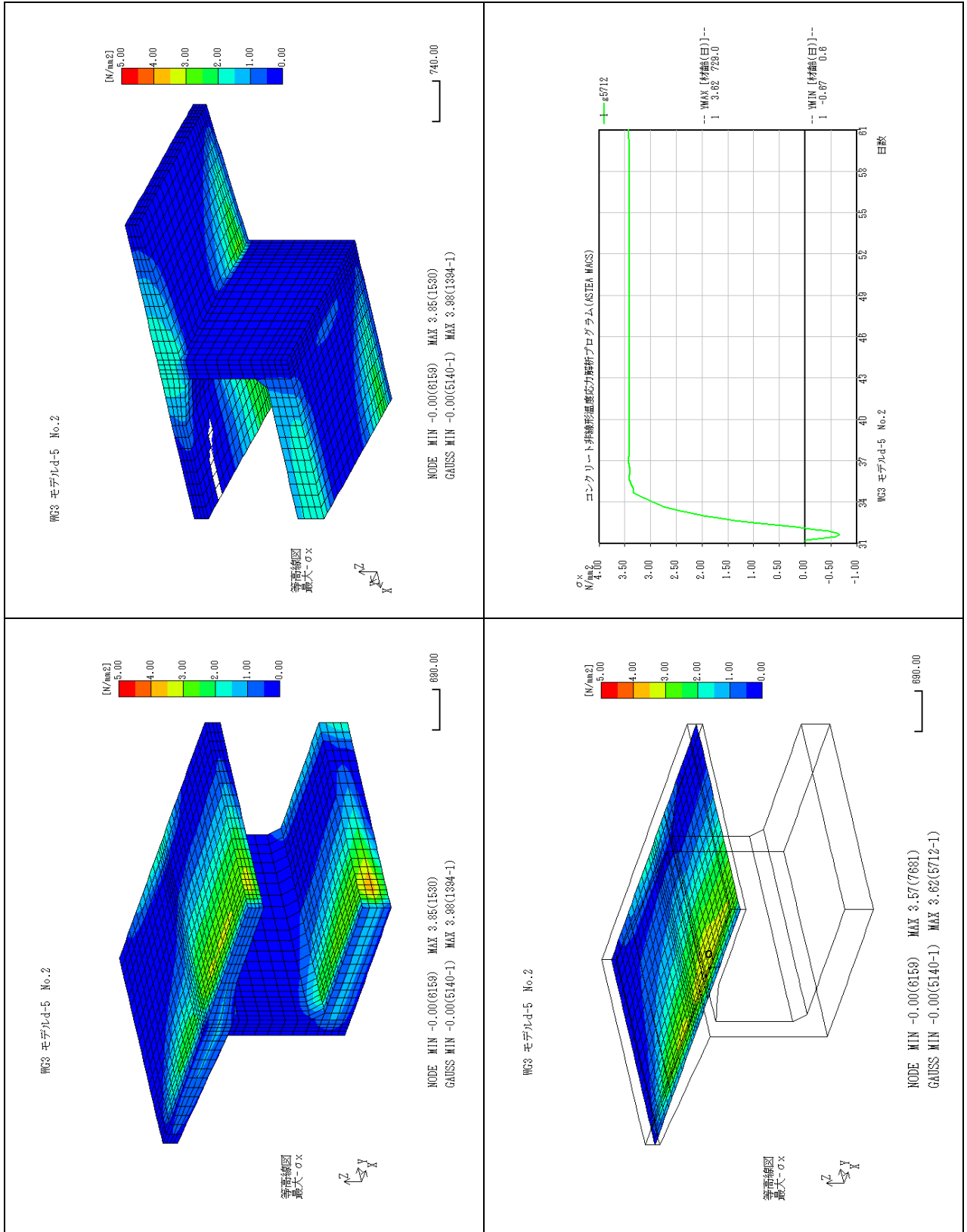
参表-3.13.2 指数結果



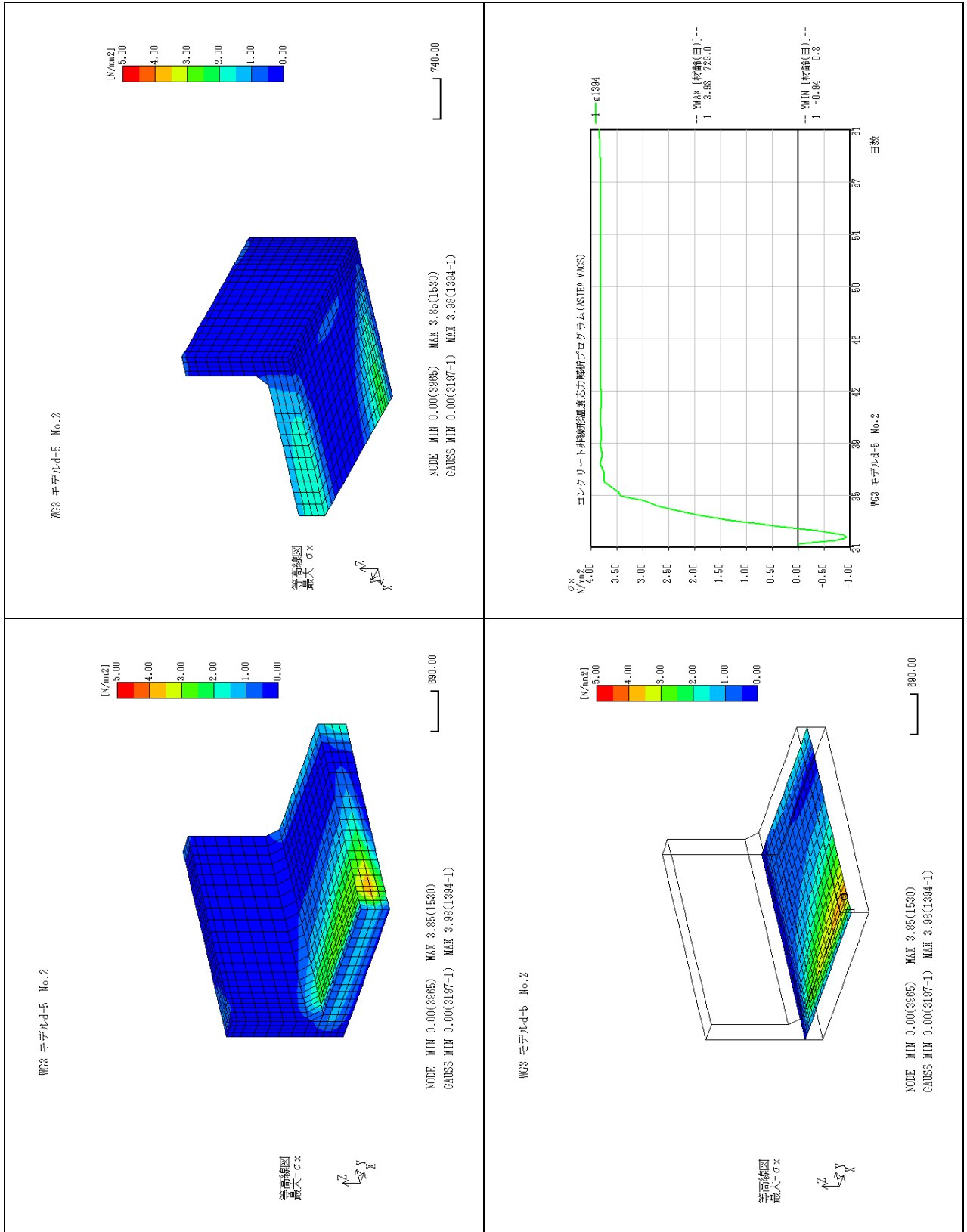
参表-3.13.3 主応力結果



参表-3.13.4 上床版着目 成分応力 (σ_x) 結果

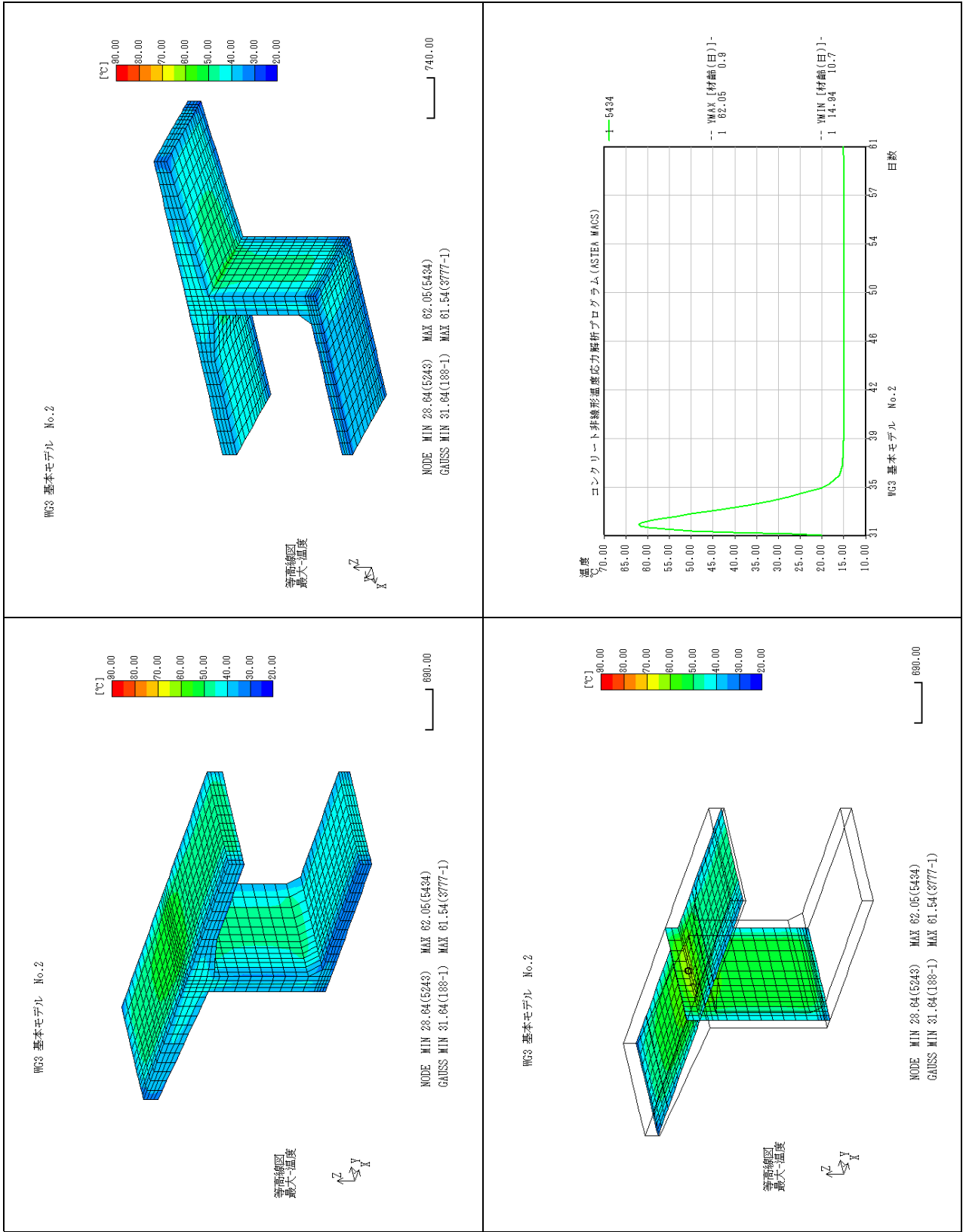


参表-3.13.6 下床版着目 成分応力 (σ_x) 結果

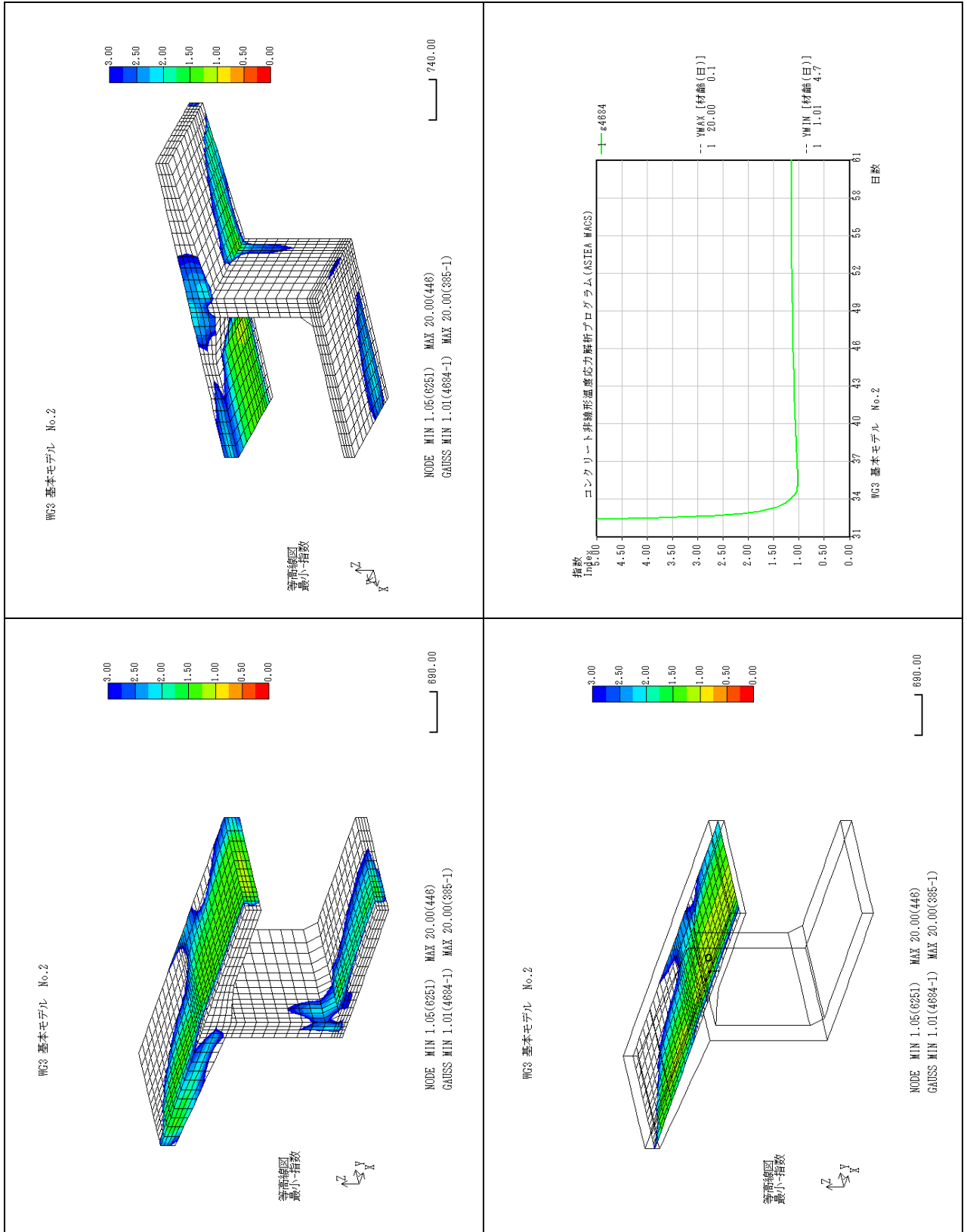


14. モデル6 ブロック長2.0m(d-6)

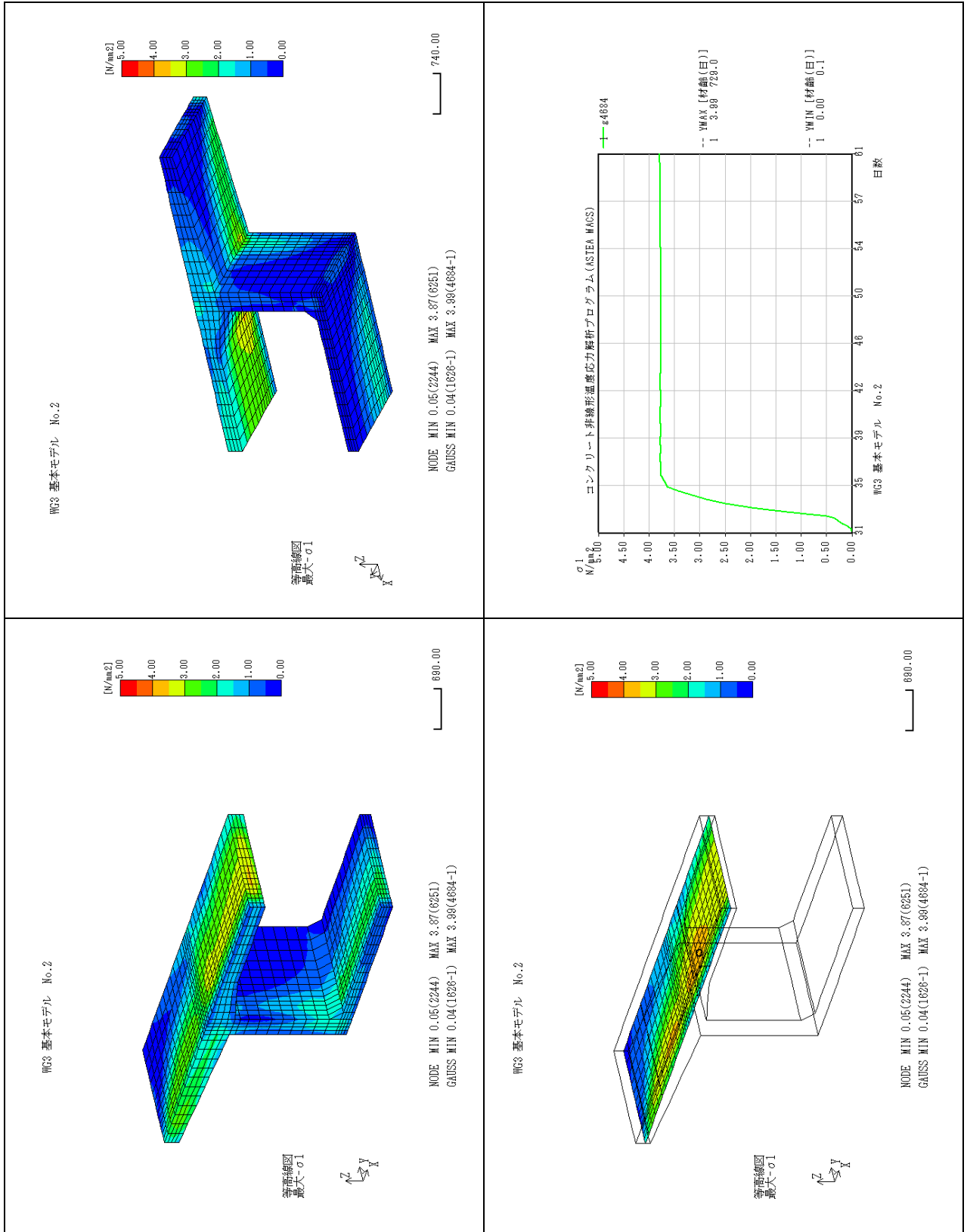
参表-3. 14.1 温度結果



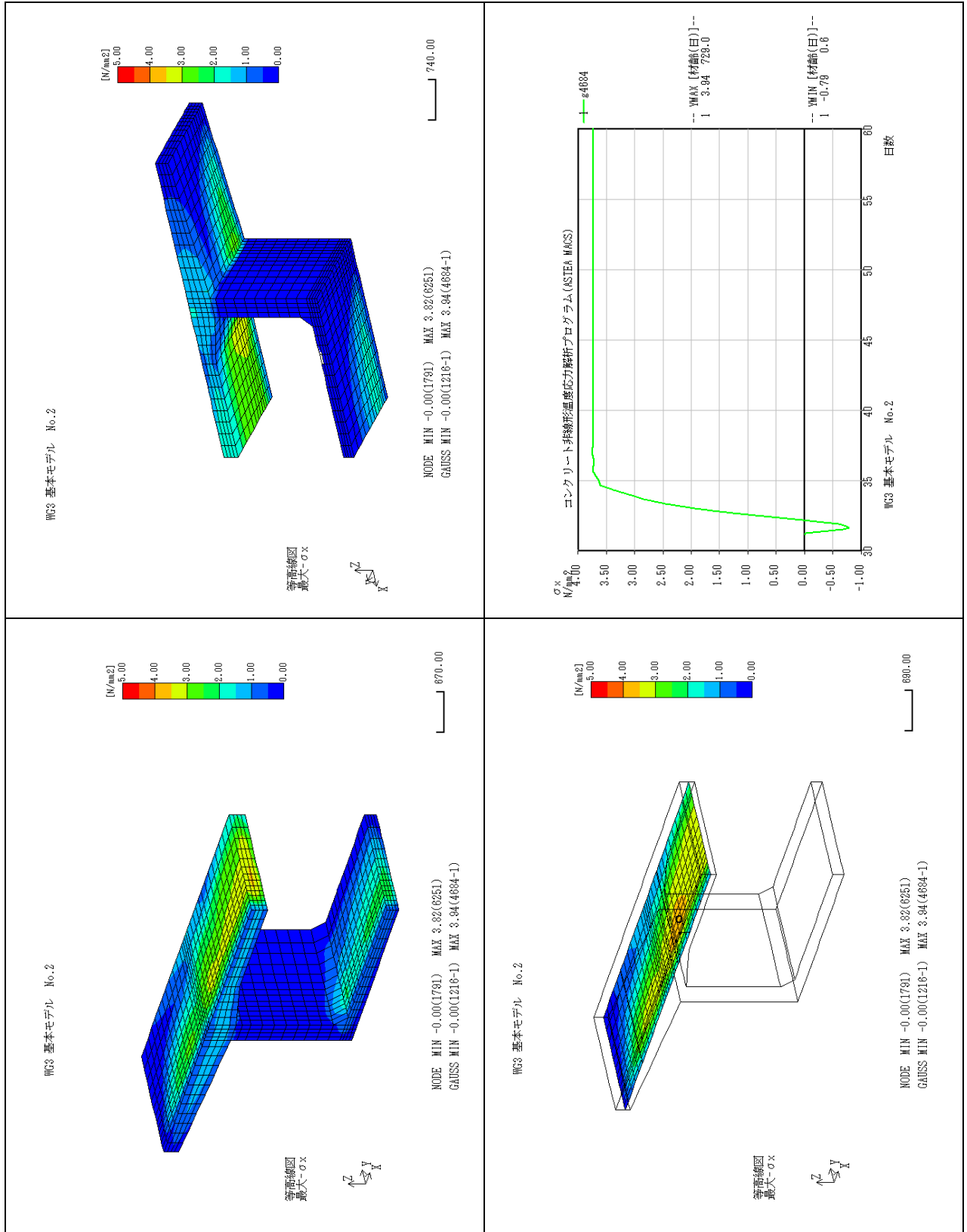
参表-3.14.2 指数結果



参表-3.14.3 主応力結果



参表-3.14.4 上床版着目 成分応力 (σ_x) 結果



参表-3.14.6 下床版着目 成分応力 (σ_x) 結果

